



# COMUNE DI ASCOLI SATRIANO



## PROGETTO DEFINITIVO

**- PROGETTO AGRIVOLTAICO -**  
**IMPIANTO DI PRODUZIONE DI ENERGIA ELETTRICA**  
**DA FONTE RINNOVABILE DI TIPO FOTOVOLTAICO**  
**INTEGRATO DA PROGETTO DI RIQUALIFICAZIONE AGRICOLA**

Committente:

**Green Genius Italy Utility 6 srl**

Corso Giuseppe Garibaldi, 49  
 20121 Milano (MI)



**StudioTECNICO**  
**Ing. Marco G Balzano**

Via Canello Rotto, 3  
 70125 BARI | Italy  
 +39 331.6794367  
[www.ingbalzano.com](http://www.ingbalzano.com)



Spazio Riservato agli Enti:

REV	DATA	ESEGUITO	VERIFICA	APPROV	DESCRIZ
R0	02/12/2022	Geol. De Giorgio	Geol. Gigante	MBG	Prima Emissione

Numero Commessa:

**SV634**

Data Elaborato:

**02/12/2022**

Revisione:

**R0**

Titolo Elaborato:

**Studio di compatibilità idrologico e idraulica**

Progettista:

**ing.MarcoG.Balzano**

Ordine degli Ingegneri della Provincia di Bari n.9341  
 Professionista Antincendio Elenco Ministero degli Interni BA09341101837  
 Consulente Tecnico d'Ufficio (CTU) Tribunale Bari

Elaborato:

**V.16**

## Sommario

1. PREMESSA.....	2
2. UBICAZIONE DELL'AREA DI PROGETTO .....	3
3. INQUADRAMENTO GEOLOGICO E IDROGEOMORFOLOGICO GENERALE .....	5
4. LINEAMENTI IDROGEOLOGICI GENERALI DELL'AREA .....	8
5. GEOMORFOLOGIA DELL'AREA DI STUDIO .....	11
6. ANALISI IDROLOGICA: METODOLOGIA UTILIZZATA .....	12
6.1 RICOSTRUZIONE L.S.P.P. CON METODO VA.PI. (VALUTAZIONE PIENE) .....	12
6.2 IL METODO SCS-CN .....	13
6.3 MODELLAZIONE IDROLOGICA .....	17
7. ANALISI IDRAULICA: METODOLOGIA UTILIZZATA.....	19
7.1 MODELLO IDRAULICO UTILIZZATO.....	19
7.2 MOTO PERMANENTE .....	19
7.3 MOTO VARIO .....	23
8. CARATTERISTICHE MORFOMETRICHE DEI BACINI INDIVIDUATI PER LA SIMULAZIONE.....	25
9. ANALISI IDROLOGICA DEI BACINI .....	30
10. DETERMINAZIONE DELLA PORTATA DI PIENA .....	31
11. RISULTATI DELL'ANALISI IDRAULICA.....	32
11.1 ATTRAVERSAMENTI IN TOC DEL RETICOLO IDROGRAFICO.....	36
11.1.1 Attraversamento n.01 .....	37
11.1.2 Attraversamento n.02 .....	38
11.1.3 Attraversamento n.03 .....	39
12. CONCLUSIONI.....	40

Allegato

SEZIONI IDRAULICHE

## 1. PREMESSA

Il presente studio di compatibilità idrologico-idraulica, redatto dal sottoscritto dott. Geol. Giorgio De Giorgio a seguito dell'incarico conferito alla GeoMoniTek S.r.l. dallo STUDIO TECNICO Ing. Marco Balzano, integra la documentazione a corredo del *Progetto per la Realizzazione di impianto fotovoltaico Utility Scale* da realizzare su lotto posizionato nel territorio comunale di Ascoli Satriano, provincia di Foggia, su cui verranno installati pannelli fotovoltaici e denominato “**SV634 – Agro PV Piscitelli**”.

L'iniziativa nello specifico, prevede la realizzazione di un impianto fotovoltaico destinato alla produzione di energia elettrica da fonti rinnovabili e delle opere ad esso connesse, ossia il cavidotto e la sottostazione di servizio.

Lo studio idrologico-idraulico condotto quindi sull'area di progetto nel suo complesso, intende caratterizzare gli aspetti connessi alla probabilità di allagamento per fenomeni di esondazione dei corsi d'acqua con tempo di ritorno di 200 anni, compresi nel reticolo idrografico d'interesse (aggiornamento dall'Autorità di Distretto dell'Appennino Meridionale dell'8.02.2022 - <https://www.distrettoappenninomeridionale.it/index.php/elaborati-di-piano-menu/ex-adb-puglia-menu/piano-assetto-idrogeologico-pericolosita-idraulica-menu>), in relazione a quanto riportato nella Carta idrogeomorfologica e nella cartografia PAI dell'Autorità di Distretto dell'Appennino Meridionale.

A tal fine la base cartografica di riferimento utilizzata per il presente studio è stata quella derivante dalla CTR della Regione Puglia integrata dove possibile da un rilievo LIDAR delle aree di impianto.

Lo studio si è articolato nelle seguenti fasi:

- *Fase 1:* individuazione del bacino idrografico di riferimento entro cui ricade l'area di progetto; georeferenziazione degli elementi ad esso connessi, individuazione delle criticità e pianificazione dei rilievi da effettuarsi;
- *Fase 2:* analisi idrologica applicando le indicazioni delle Norme Tecniche di Attuazione del PAI;
- *Fase 3:* determinazioni dei parametri morfometrici del bacino idrografico e determinazione dei coefficienti CN in condizione II e III mediante l'analisi della carta idrogeomorfologica e della Carta dell'uso del suolo presente sul SIT della Regione Puglia dei terreni ricadenti nel bacino idrografico;
- *Fase 4:* determinazione della Portata di piena con tempi di ritorno a 200 anni;
- *Fase 5:* sviluppo ed elaborazione del modello idrologico ed idraulico per lo specifico caso di studio;
- *Fase 6:* sintesi dei risultati ottenuti ed elaborazione della cartografia specifica.

Per quanto concerne il cavidotto a servizio dell'impianto in progetto invece, poichè sarà completamente interrato per l'intero sviluppo del suo tracciato, al fine di aumentare il grado di sicurezza dell'intervento di posa saranno osservati i seguenti accorgimenti:

1. Lo scavo sarà eseguito a lotti di lunghezza limitata per ridurre al minimo i tempi in cui lo scavo risulta aperto;
2. Il riempimento sarà realizzato con gli stessi materiali rinvenuti dallo scavo;
3. Nella fase di riempimento sarà ripristinata l'orografia presente *ante operam* al fine di non modificare le attuali condizioni di deflusso superficiale delle acque;
4. In corrispondenza di attraversamenti di corsi d'acqua la profondità di posa del cavidotto sarà attestata a 2.5 metri dalla quota minima dell'alveo;
5. Tale profondità di attestazione del cavidotto sarà mantenuta anche in corrispondenza dei tratti del tracciato in area PAI.

Le suddette modalità operative per la realizzazione del cavidotto si ritengono idonee ad assicurare un elevato grado di sicurezza in fase di realizzazione dell'opera ed il ripristino dell'orografia *ante operam* non permetterà l'aumento della pericolosità a valle perché le condizioni di deflusso superficiale delle acque saranno preservate e modificate solo ed esclusivamente nel corso, temporalmente limitato, della realizzazione dello scavo e la posa del cavidotto.

## 2. UBICAZIONE DELL'AREA DI PROGETTO

L'area interessata dall'opera è situata nel territorio comunale di Ascoli Satriano (Fg), nell'area interna del Tavoliere delle Puglie.

Nelle seguenti immagini si riporta la cartografia di riferimento con ubicazione dell'area interessata dalle opere:

- Stralcio della Carta Topografica d'Italia IGMI: F°175 III NE "Canestrello": fonte: [www.pcn.minambiente.it](http://www.pcn.minambiente.it) (fig.1);
- Immagine satellitare anno 2016; fonte: [www.sit.puglia.it](http://www.sit.puglia.it) (fig.2);
- Stralcio CTR della Regione Puglia: fonte: [www.sit.puglia.it](http://www.sit.puglia.it) (fig.3).

Inoltre il sito ricade nel Foglio 175 "Cerignola" della Carta Geologica d'Italia alla scala 1:100.000.

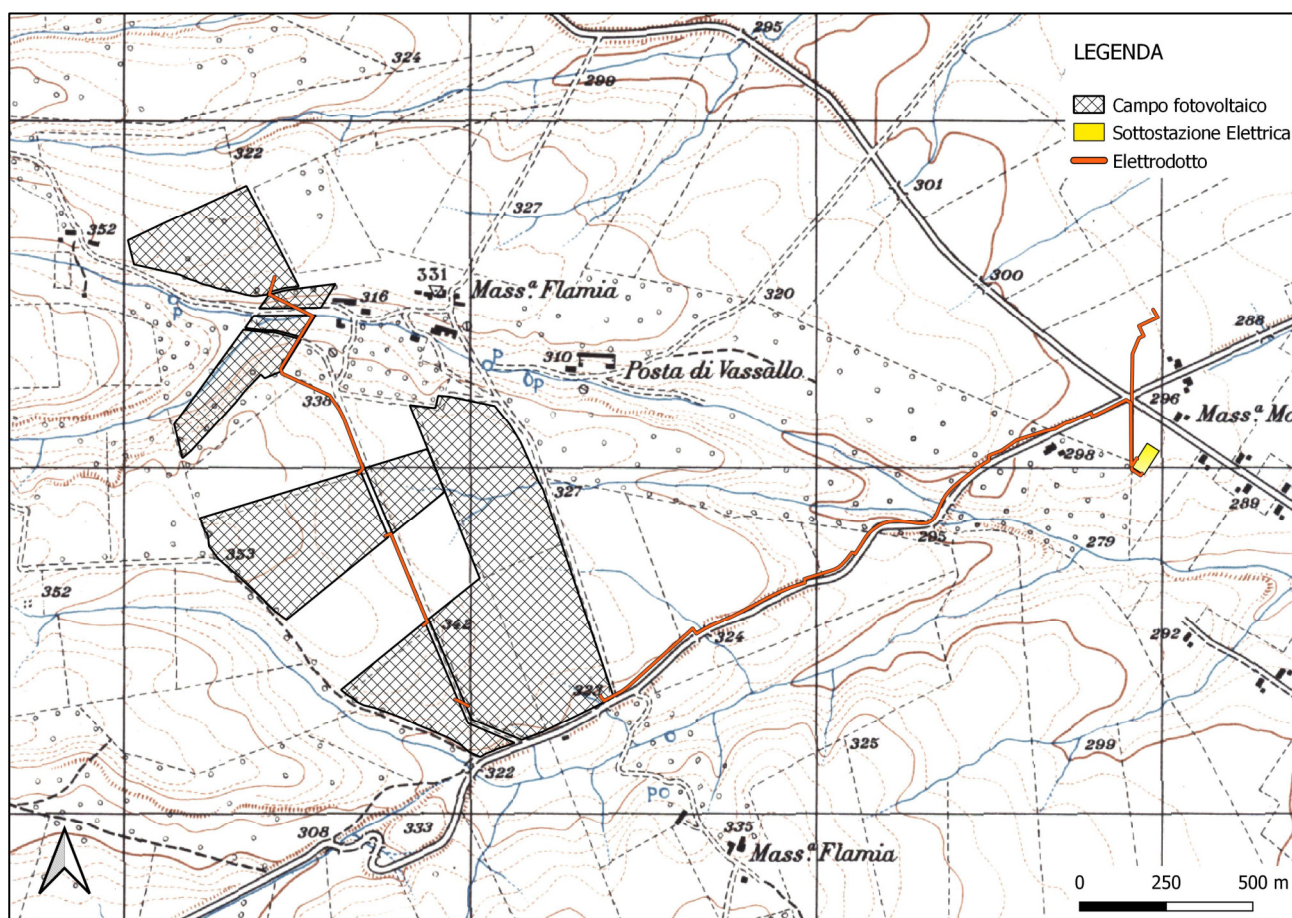


Figura 1 - Stralcio delle Tavole IGMI F°175 I SO "Borgo Libertà" e F°175 II NO "San Carlo". Fonte: [www.pcn.minambiente.it](http://www.pcn.minambiente.it).



Figura 2 - Ubicazione del sito su Immagine satellitare del 2015. Fonte: [www.sit.puglia.it](http://www.sit.puglia.it)

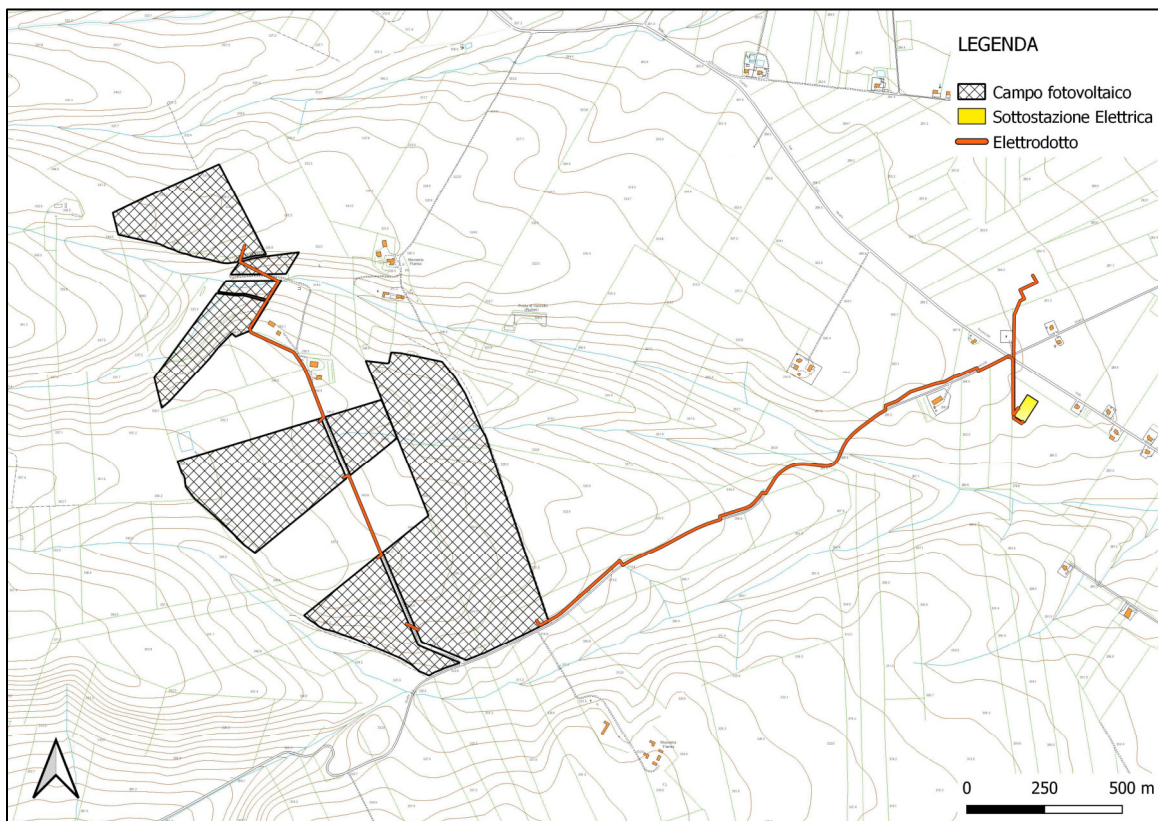


Figura 3 - Ubicazione del sito su CTR della Regione Puglia. Fonte: [www.sit.puglia.it](http://www.sit.puglia.it)

### 3. INQUADRAMENTO GEOLOGICO E IDROGEOLOGICO GENERALE

L'area in esame risulta inserita nella piana del Tavoliere delle Puglia, unità geografica appartenente al dominio geostrutturale dell'avanfossa bradanica, e costituita da depositi silicoclastici di riempimento di età pliocenica e infrapleistocenica e da depositi marini e alluvionali delle coperture medio-supra pleistoceniche e oloceniche della piana. Tali depositi, rinvenuti nel sottosuolo nel corso delle numerose perforazioni eseguite per la ricerca di idrocarburi, sono il prodotto dell'intensa attività sedimentaria, tipica di un bacino subsidente, che ha interessato l'Avanfossa appenninica a partire dal Pliocene inferiore. Si tratta di argille indicate con il generico termine di "Argille grigio azzurre" per via del loro colore tipico che, nella parte più superficiale, tende al giallastro a causa dei fenomeni di alterazione. All'interno della successione argillosa, sono presenti, a diverse altezze stratigrafiche, interstrati sabbiosi formanti corpi lenticolari di modesto spessore. La deposizione di questa unità litologica ha avuto inizio nel Pliocene e si è conclusa nel Pleistocene Superiore, ed il suo spessore risulta particolarmente elevato spingendosi fino a raggiungere diverse centinaia di metri. Al di sopra dell'unità delle Argille grigio azzurre si rinvencono i depositi Quaternari che vanno a costituire un'estesa copertura in grado di raggiungere o superare le decine di metri in potenza e sono rappresentati da un'alternanza lenticolare di sedimenti alluvionali ghiaiosi, sabbiosi e argillosi, in parte limosi, di facies continentale che si incrociano e anastomizzano di frequente. Questi rappresentano il risultato dei numerosi episodi deposizionali che hanno interessato il Tavoliere. Le alluvioni del Tavoliere contengono, nella parte più superficiale, una crosta evaporitica di natura calcarea, il cui spessore può raggiungere anche gli 8 o 10 metri e la cui genesi sarebbe riconducibile al fenomeno della risalita capillare e al clima fortemente arido che in passato ha caratterizzato l'area. Verso la costa, affiorano i depositi palustri e di colmata olocenici, costituiti essenzialmente da limi. Il quadro stratigrafico si completa con i depositi costieri, anch'essi dell'Olocene, costituiti da sabbie e ghiaie formanti una stretta spiaggia delimitata verso terra da cordoni dunari.

L'area oggetto di studio ricade, come detto in precedenza, nella zona meridionale del Tavoliere, in corrispondenza della zona centrale del Foglio 175 "Cerignola", area caratterizzata dalla presenza di sedimenti silicoclastici la cui locale successione stratigrafica, desunta dall'analisi bibliografica e dalla lettura della Carta geologica di riferimento, risulta così costituita:

QC<sub>1</sub> – Conglomerati poligenici con ciottoli di medie e grandi dimensioni a volte fortemente cementati e con intercalazioni di sabbie e arenarie;

PQ<sub>S</sub> – Sabbie e sabbie argillose con livelli arenaici di colore giallastro e lenti ciottolose fossilifere;

PQ<sub>a</sub> – Argille e argille marnose grigio-azzurrognole, localmente sabbiose microfossilifere.

Le prime due unità, QC<sub>1</sub> e PQ<sub>S</sub>, risultano affioranti in contatto eteropico, e poggiano in contatto erosivo con la sottostante unità PQ<sub>a</sub>, localmente non affiorante.

**Il campo fotovoltaico, l'elettrodotto e la sottostazione** insistono per la maggior parte della loro estensione sui depositi conglomeratici QC<sub>1</sub> e solo il cavidotto interessa i depositi PQ<sub>S</sub> in alcune zone corrispondenti a quelle di attraversamento dei reticoli idrografici.

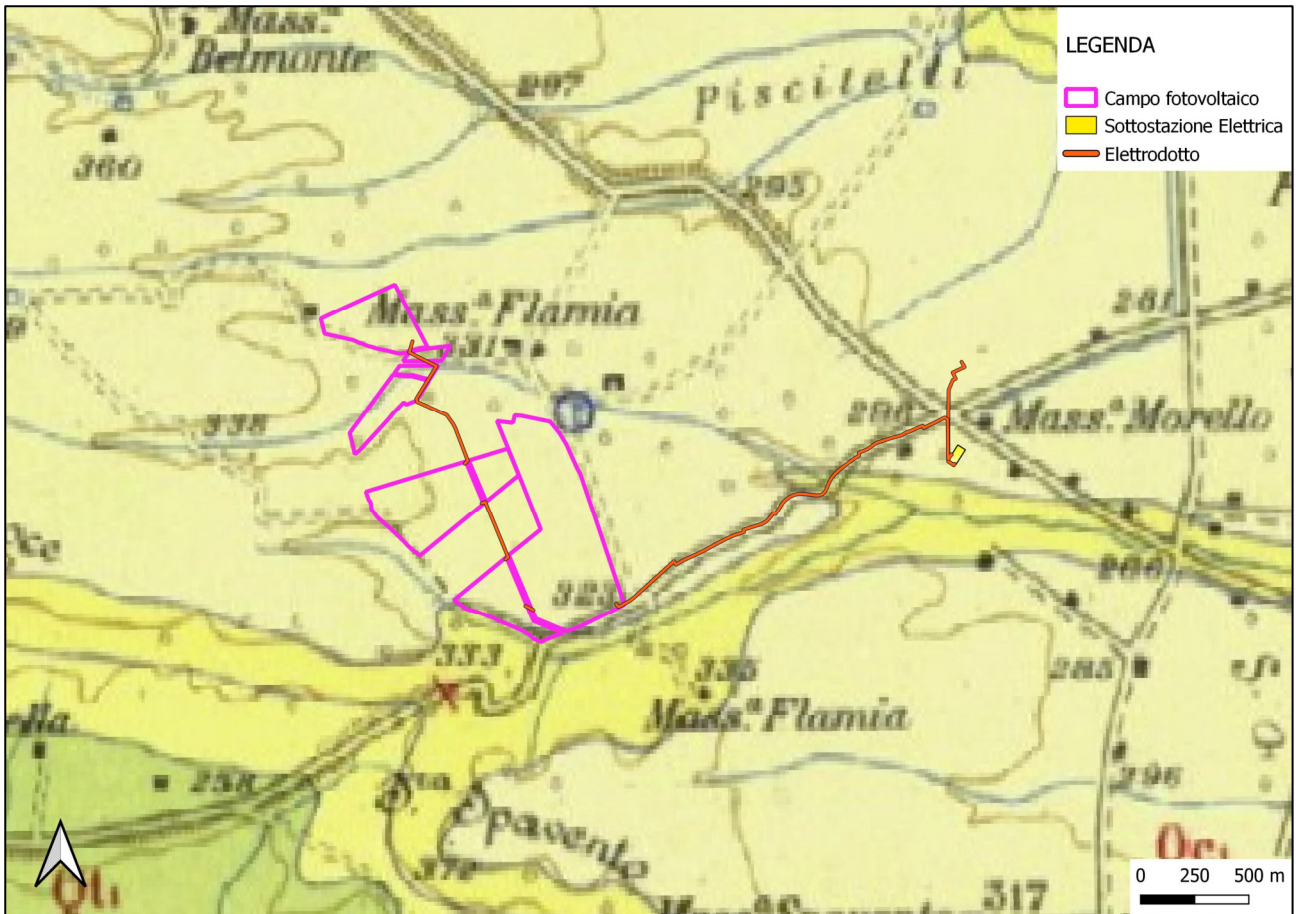


Figura 4 – Stralcio del Foglio 175 “Cerignola” con indicazione dell’area in cui saranno installati i pannelli fotovoltaici e dell’elettrodotto  
 Fonte: [www.isprambiente.gov.it](http://www.isprambiente.gov.it)

### 3.2 Geomorfologia e idrografia

I caratteri morfologici e idrografici del sito di studio sono quelli tipici del Tavoliere delle Puglie, caratterizzato da una serie di superfici pianeggianti, più o meno estese, interrotte dai principali corsi d'acqua e da locali canali e/o marane a deflusso spiccatamente stagionale. In tali aree l'evoluzione dei caratteri morfologici è stata evidentemente condizionata dalla natura del substrato geologico presente; gli affioramenti topograficamente più elevati, in corrispondenza dei quali spesso sorgono i centri urbani, sono caratterizzati dalla presenza di una litologia più resistente all'azione modellatrice degli agenti esogeni, al contrario le aree più depresse sono la testimonianza di una litologia meno competente e quindi più facilmente modellabile. Nel complesso l'area di progetto non è interessata dalla presenza di fenomeni erosivi in senso lato né è soggetta a rapida evoluzione e rimodellamento morfologico (inteso esclusivamente in termini di agenti esogeni naturali), in quanto questo si esercita in forma marginale ed attenuata e del tutto trascurabile ai fini degli interventi previsti.

**Il sito dove saranno installati i pannelli fotovoltaici** è posizionato lungo un versante solcato da numerosi impluvi e digradante verso la zona orientale con pendenze non molto elevate.

**Il tracciato dell'elettrodotto** invece interesserà quasi esclusivamente i depositi conglomeratici QC<sub>1</sub> e solo in un tratto, quello dell'attraversamento del reticolo, interesserà i depositi PQ<sub>s</sub>, formati da sabbie e sabbie argillose.

In quest'area l'idrografia superficiale presenta un regime tipicamente torrentizio, caratterizzato da lunghi periodi di magra interrotti da piene in occasione di eventi meteorici particolarmente intensi.

Per quanto attiene il reticolo idrografico inoltre, dall'analisi delle perimetrazioni del PAI Puglia presenti e visionabili sul sito dell'Autorità di Distretto dell'Appennino Meridionale è possibile osservare quanto segue.

Nessuna delle aree di progetto è interessata da zone a pericolosità idraulica PAI, ma le zone in cui saranno installati i pannelli fotovoltaici e il cavidotto sono interessate da numerosi reticoli idrografici segnati sulla cartografia IGM e riportati nell'aggiornamento del reticolo effettuato dalla Unit of Management Regionale Puglia e interregionale Ofanto - euUoMCode ITR161I020 (<https://www.distrettoappenninomeridionale.it/index.php/elaborati-di-piano-menu/ex-adb-puglia-menu/piano-assetto-idrogeologico-pericolosita-idraulica-menu>), per i quali è stato realizzato uno studio di compatibilità idraulica al fine di delineare le zone a Pericolosità idraulica e delimitare i tratti in TOC per il superamento dell'alveo del cavidotto.

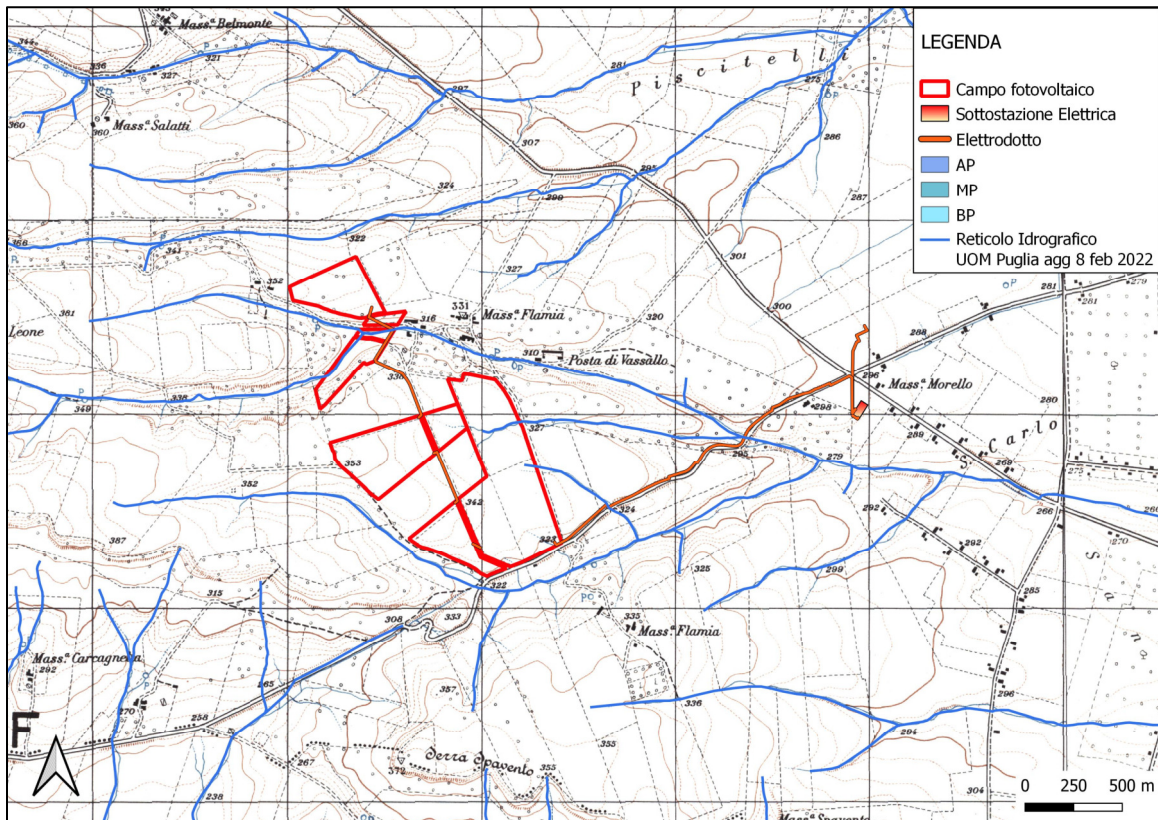
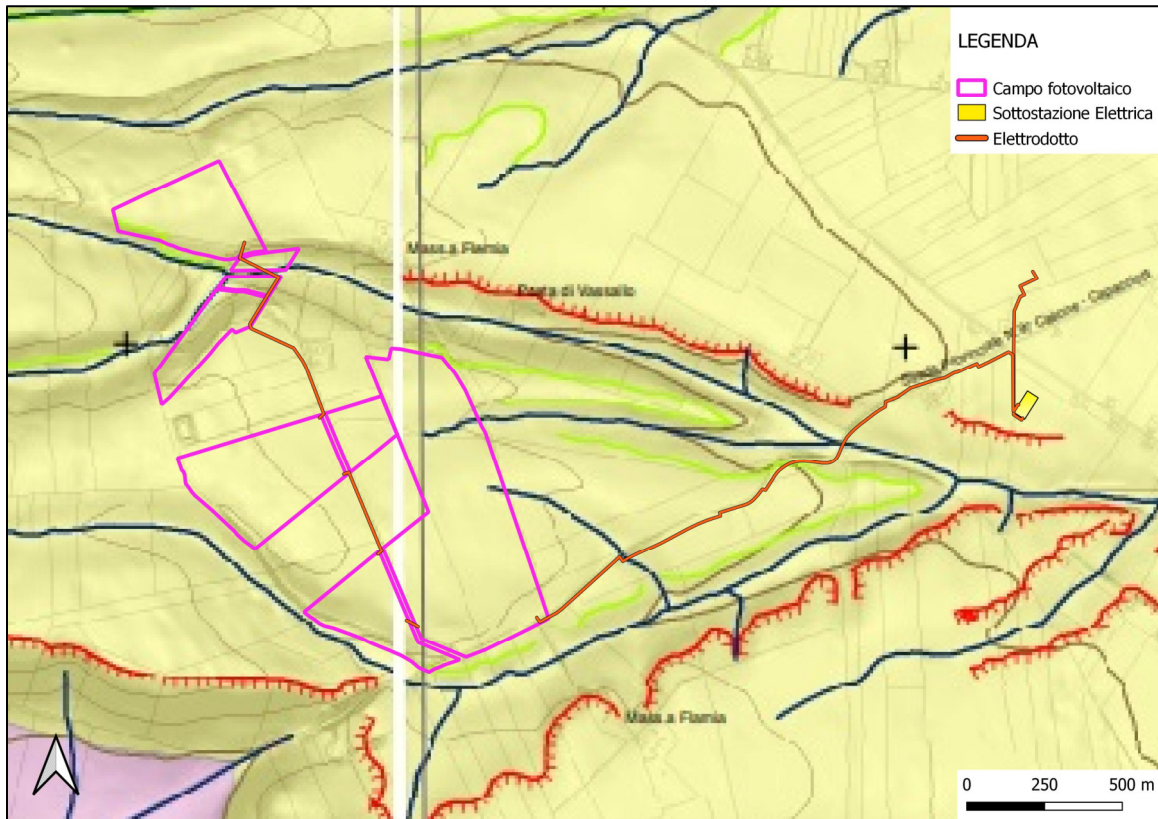


Fig. 5a,b – Carta idrogeomorfologica e Stralcio della Cartografia del PAI Puglia con indicazione delle aree di intervento e delle strutture connesse redatte dall’Autorità di Distretto dell’Appennino Meridionale

#### 4. LINEAMENTI IDROGEOLOGICI GENERALI DELL'AREA

Dal punto di vista idrogeologico, l'area di studio è interessata dalla presenza dell'acquifero poroso superficiale del Tavoliere, la cui falda è ospitata nei depositi quaternari di copertura di questa unità fisiografica.

Detti depositi, il cui spessore aumenta procedendo da SE verso NW, ospitano una estesa falda idrica generalmente frazionata su più livelli. Le stratigrafie dei numerosi pozzi per acqua realizzati in zona, evidenziano infatti l'esistenza di una successione di terreni sabbioso-ghiaioso, permeabili ed acquiferi, intercalati a livelli limo-argillosi a minore permeabilità, con ruolo di acquitardi.

La base della circolazione idrica è rappresentata dalle argille grigio-azzurre (argille subappennine) la cui profondità di rinvenimento risulta progressivamente maggiore procedendo da SE verso NW. I diversi livelli in cui l'acqua fluisce non costituiscono orizzonti separati ma idraulicamente interconnessi, dando luogo ad un unico sistema acquifero.

L'acqua si rinviene in condizioni di falda libera nei livelli idrici più superficiali e in pressione in quelli più profondi. A tale sistema acquifero, nel suo complesso, si dà il nome di falda superficiale del Tavoliere.

Trattandosi di un acquifero eterogeneo, sia in termini di spessore che di granulometria, la potenzialità, come pure la trasmissività idraulica, variano sensibilmente da zona a zona. L'andamento delle isopieze, ricostruite sulla base dei dati raccolti in un recente monitoraggio, mostra una generale corrispondenza con la topografia: le quote piezometriche, infatti, tendono a diminuire procedendo da SO verso NE consentendo di definire una direttrice di deflusso preferenziale in tal senso. Per le considerazioni su menzionate e per le caratteristiche dei litotipi che insistono nell'area oggetto di studio, questi ultimi rientrano nell'”**Acquifero poroso superficiale**”.

Nell'area di interesse, attualmente, sulla base delle indicazioni e delle cartografie redatte per il PTA. Il Piano di Tutela delle Acque, la superficie piezometrica della falda acquifera, in stato di quiete, è compreso tra 200 m slm e 250 m slm (Fig.6).

In corrispondenza del sito di progetto, la falda, sulla base delle informazioni desunte da alcuni pozzi per il prelievo idrico presenti nel database dell'ISPRA, è posizionata a circa 30 metri di profondità dal piano campagna, e pertanto non dovrebbe interessare le strutture di fondazione su cui saranno installati i tracker dei pannelli fotovoltaici.

Tuttavia è possibile il rinvenimento di acquiferi sospesi sostenuti alla base da orizzonti a permeabilità bassa, a profondità inferiori dal piano campagna, a cui si dovrà prestare attenzione in fase di installazione dei moduli fotovoltaici.

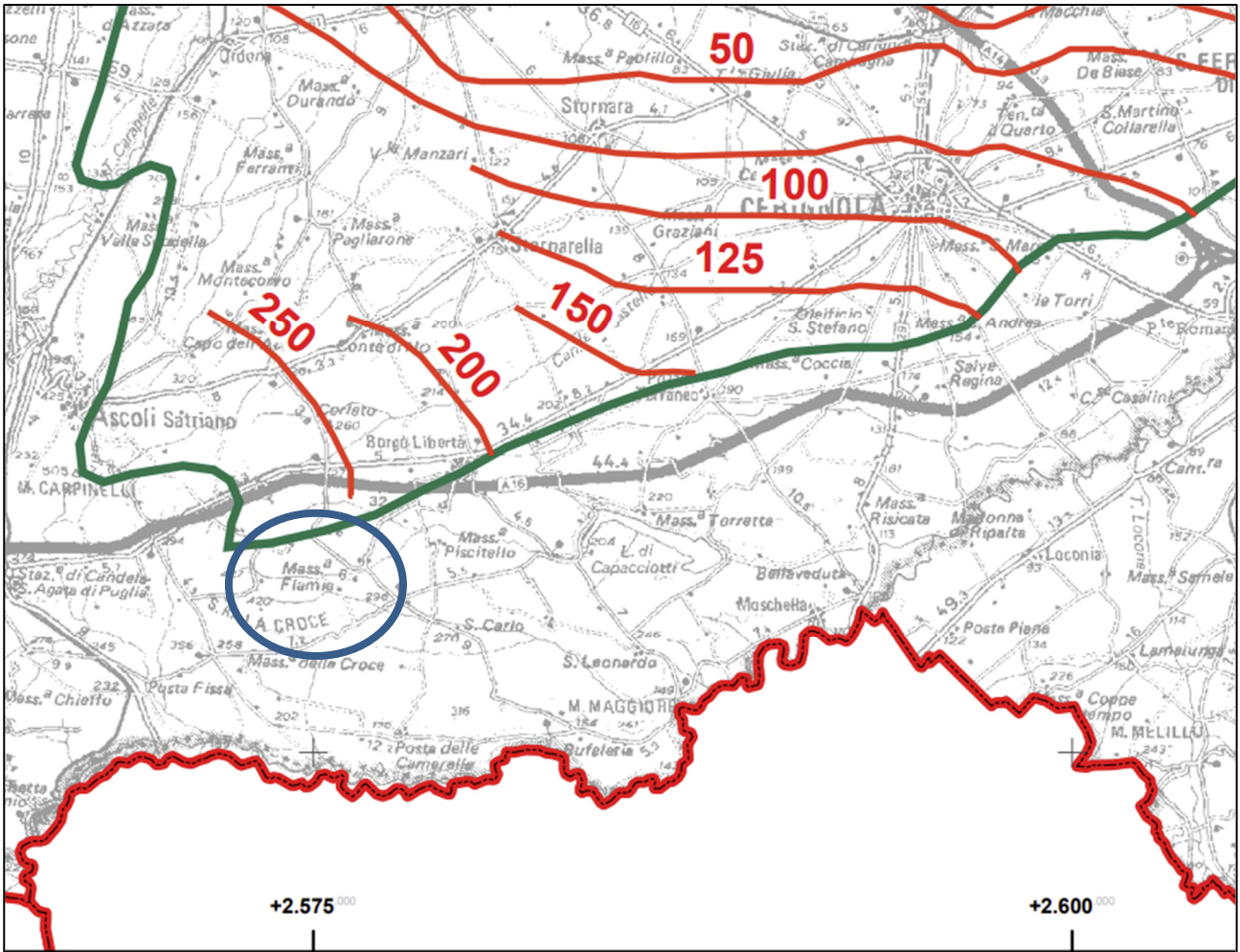


Figura 6 – Stralcio della carta dei carichi piezometri dell’acquifero poroso superficiale del Tavoliere delle Puglia.  
 (Fonte: Piano di Tutela delle Acque della Regione Puglia)

## 5. GEOMORFOLOGIA DELL'AREA DI STUDIO

L'area di studio, come ampiamente accennato nei capitoli precedenti, è situata nella zona territoriale di Ascoli Satriano in provincia di Foggia, lungo un versante che digrada con pendenze medie verso la zona orientale, solcato da numerosi impluvi che interessano in varia misura i lotti in cui si articola il complessivo impianto come rappresentato in figura.

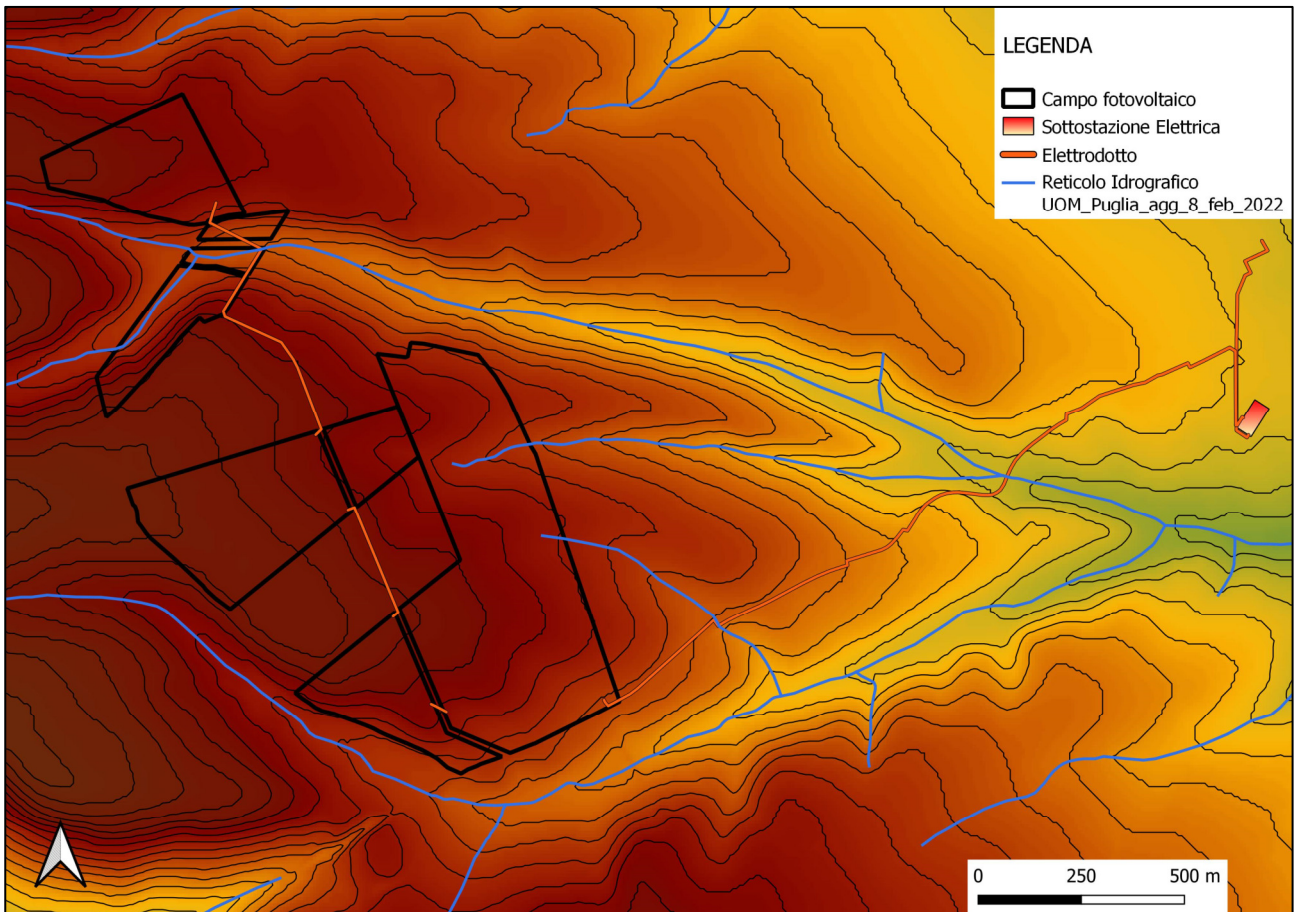


Figura 7 – Bacino idrografico individuato nel presente studio

Per la simulazione idraulica sono stati individuati 8 bacini e condotta la simulazione idraulica in corrispondenza dei siti di studio calcolando le portate di piene con un tempo di ritorno di 200 anni.

## 6. ANALISI IDROLOGICA: METODOLOGIA UTILIZZATA

### 6.1 Ricostruzione L.S.P.P. con Metodo VA.PI. (VALutazione Plene)

Per la stima della precipitazione critica nel bacino in esame, si è fatto ricorso alla procedura di analisi regionale VAPI che consente di valutare l'altezza di pioggia anche in bacini carenti di strumentazioni per la misurazione delle piogge e/o lì dove i dati misurati risultino insufficienti.

Il metodo VA.PI. fa riferimento ad un approccio di tipo probabilistico al fine di valutare gli estremi idrologici. Non esiste, quindi, un valore massimo assoluto, ma ad ogni valore di altezza di pioggia e/o di portata è associata una probabilità che si verifichino eventi con valori superiori. Con questo metodo, infatti, è adottata una distribuzione delle probabilità a doppia componente (T.C.E.V. - "Two Component Extreme Value Distribution") che traduce, in termini statistici, la differente provenienza degli estremi idrologici interpretando così, gli eventi massimi annuali come il valore estratto da una miscela di due popolazioni distinte: la prima produce gli eventi massimi ordinari, componente ordinaria, più frequenti e meno intensi in media; la seconda produce gli eventi massimi straordinari, componente straordinaria, meno frequenti e più intensi (Rossi et al., 1984).

Per ciò che concerne la Regione Puglia, al primo livello di regionalizzazione è stata evidenziata un'unica regione pluviometrica omogenea mentre, per quanto concerne il secondo livello di analisi, sono state distinte due zone: la Puglia Settentrionale e la Puglia centro-meridionale. L'analisi di terzo livello, condotta successivamente, ha permesso di evidenziare 6 zone pluviometriche distinte e omogenee (Figura 8). Tale analisi è stata condotta operando una regressione delle precipitazioni di diversa durata con una quota Z.

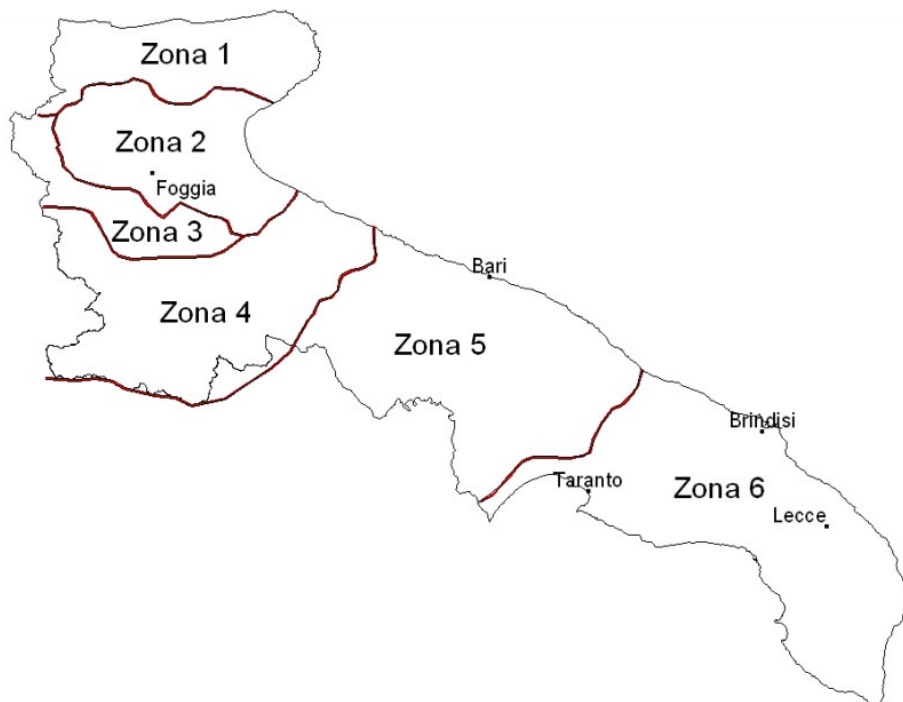


Figura 8 - Zone pluviometriche omogenee per la Regione Puglia

A ciascuna delle zone è associata una curva di possibilità pluviometrica, solitamente funzione della quota assoluta sul livello del mare. Attraverso questa curva, è possibile valutare l'altezza di pioggia critica per i differenti intervalli di precipitazione e per tempi di ritorno prescelti:

ZONA 1:	$X_{(t,z)} = 26,8 t^{[(0,720+0,00503 z)/3,178]}$
ZONA 2:	$X_{(t,z)} = 22,23 t^{0,247}$
ZONA 3:	$X_{(t,z)} = 23,325 t^{[(0,0696+0,00531 z)/3,178]}$
ZONA 4:	$X_{(t,z)} = 24,70 t^{0,256}$
ZONA 5:	$X_{(t,z)} = 28,2 t^{[(0,0628+0,0002 z)/3,178]}$
ZONA 6:	$X_{(t,z)} = 33,7 t^{[(0,488+0,00022 z)/3,178]}$

Ai valori così ottenuti, vanno applicati dei coefficienti moltiplicativi e cioè: il fattore di crescita (KT) relativo ai tempi di ritorno dell'evento (espresso in anni) e il fattore di riduzione areale (KA) relativo alla superficie del bacino (espressa in Km<sup>2</sup>) e alla durata dell'evento (espressa in ore).

Il valore di KT, invece, può essere calcolato in funzione del tempo di ritorno considerato attraverso la funzione:

$$KT = a + b \ln(T)$$

**Per le zone omogenee 1,2,3, e 4, i coefficienti da adottare sono i seguenti:**

$$a = 0,5648 \text{ e } b = 0,415$$

**Alla luce di quanto fin qui riportato, quindi, e considerando che l'area oggetto di studio ricade per la maggior parte della sua estensione in zona 4, si può scrivere quanto segue:**

$$x_{(t,z)} = 24.70 t^{[0,256]}$$

## 6.2 Il Metodo SCS-CN

Il modello di piena è stato realizzato considerando la formazione del deflusso e la propagazione dello stesso lungo il reticolo idrografico. Per quanto riguarda la formazione del deflusso nel presente lavoro è stato utilizzato il metodo CN-SCS sviluppato dal Soil Conservation Service americano consentendo di determinare sia il volume di piena o della sua portata al colmo che la ricostruzione dell'idrogramma di piena.

Per la determinazione del volume di piena il metodo si fonda sull'ipotesi che sia sempre valida (con tutte le grandezze espresse in mm) la relazione seguente: la loro morfologia, consentono l'accumulo di volumi idrici, all'intercettazione operata dalla copertura vegetale presente e all'infiltrazione prima della formazione del deflusso. La precipitazione netta si ripartisce completamente tra il volume di deflusso superficiale e l'invaso del suolo:

$$P_n = V + W \quad (6.2.1)$$

Sostituendo il valore di  $W$  ricavato dalla (6.2.2) nella (6.2.1), si ottiene:

$$P = \frac{Pn^2}{Pn+S} \quad (6.2.2)$$

Poiché le perdite iniziali possono essere correlate all'invaso massimo del suolo:

$$I_a = 0,2 * S \quad (6.2.3)$$

e tenendo conto che  $P_n = P - I_a$ , dalla (6.2.3) si ottiene:

$$V = \frac{(P - 0,2 * S)^2}{P + 0,8 * S} \quad (6.2.4)$$

Il valore di  $P$  (precipitazione totale) viene calcolata attraverso le curve di probabilità pluviometrica ( $L.S.P.P.$ ) mentre la valutazione di  $S$  viene condotta mediante la seguente relazione:

$$S = 25,4 \left( \frac{1000}{CN} - 10 \right) \quad (6.2.5)$$

in cui figura un parametro  $CN$ , denominato "curve number", che assume valori compresi tra 100 e 0. **Il  $CN$  rappresenta l'attitudine del bacino esaminato a produrre deflusso e si stima, sulla base dei valori riportati in un'apposita tabella (Tabella 1), in relazione alle caratteristiche idrologiche dei suoli e di uso e/o copertura vegetale presenti nel bacino.**

La stima del  $CN$  presuppone, inizialmente, la determinazione del gruppo idrologico (Tabella 2) di ciascun suolo ricadente nel bacino e, all'interno di ciascun gruppo, l'individuazione di aree omogenee per destinazione d'uso, sistemazione e condizione idrica. A ciascuna area omogenea, di nota superficie, viene attribuito l'appropriato  $CN$  sulla base di quelli riportati nella Tabella 1; il valore di  $CN_b$  dell'intero bacino si ottiene come media pesata, con peso la superficie, dei valori stimati per le singole aree omogenee.

Il metodo tiene conto anche delle condizioni di umidità del suolo antecedenti all'inizio dell'evento (*Antecedent Moisture Conditions, A.M.C.*) e a tal fine va precisato che i valori di  $CN$  riportati nella Tabella 1 si riferiscono a condizioni medie del parametro  $A.M.C.$  denominate *A.M.C. II*. La definizione di  $A.M.C.$  richiede la determinazione della precipitazione totale caduta nei cinque giorni precedenti l'evento in esame che, sulla base della Tabella 3, consente di definire la condizione di umidità antecedente l'evento (*A.M.C. I, A.M.C. II e A.M.C. III*). Nel caso in cui si ricada nella condizione *A.M.C. I* (secca) o in quella *A.M.C. III* (umida) i valori di  $CN$  della Tabella 1 devono essere corretti utilizzando i fattori ( $F_I$ ) e ( $F_{III}$ ), rispettivamente per la condizione secca e per quella umida, aventi le seguenti espressioni:

- ( $F_I$ )=  $0,3 + 0,00636 \cdot CN$
- ( $F_{III}$ )=  $3,4212 - 1,1999 \log CN$

Destinazione	Sistemazione	Condizione idrica	A	B	C	D
<b>Incolto</b>			77	86	91	94
<b>Coltivazioni in filari</b>	Rittocchino	Povera	72	81	88	91
		Buona	67	78	85	89
	Girapoggio	Povera	70	79	84	88
		Buona	65	75	82	86
	Terrazzo	Povera	66	74	80	82
		Buona	62	71	78	81
<b>Cereali da granella</b>	Rittocchino	Povera	65	76	84	88
		Buona	63	75	83	87
	Girapoggio	Povera	63	74	82	85
		Buona	61	73	81	84
	Terrazzo	Povera	61	72	79	82
		Buona	59	70	78	81
<b>Prati di leguminose o a rotazione</b>	Rittocchino	Povera	66	77	85	89
		Buona	58	72	81	85
	Girapoggio	Povera	64	75	83	85
		Buona	55	69	78	83
	Terrazzo	Povera	63	73	80	83
		Buona	51	67	76	80
<b>Prato permanente</b>		Buona	30	58	71	78
<b>Boschi</b>		Povera	45	66	77	83
		Discreta	36	60	73	79
		Buona	25	55	70	77
<b>Strade sterrate</b>			74	84	90	92
<b>Superfici impermeabili e superfici d'acqua</b>			100	100	100	100

**Tabella 1** – Valori del CN in funzione delle caratteristiche idrologiche dei suoli e di copertura vegetale e per condizioni medie di umidità antecedenti l'evento (A.M.C. II).

Gruppo	Descrizione
<b>Gruppo A</b>	Bassa capacità di formazione del deflusso. Suoli con elevata infiltrabilità anche in condizioni di completa saturazione. Si tratta di sabbie o ghiaie profonde molto ben drenate. La conducibilità idraulica alla saturazione è elevata.
<b>Gruppo B</b>	Suoli con modesta infiltrabilità se saturi. Discretamente drenati e profondi sono caratterizzati da una tessitura medio-grossolana e da una conducibilità idraulica non molto elevata.
<b>Gruppo C</b>	Suoli con bassa infiltrabilità se saturi. Sono per lo più suoli con uno strato che impedisce il movimento dell'acqua verso il basso (a drenaggio impedito) oppure suoli con tessitura medio-fine e bassa infiltrabilità. La conducibilità idraulica è bassa.
<b>Gruppo D</b>	Suoli a elevata capacità di formazione del flusso. Appartengono a questo gruppo i suoli ricchi di argilla con capacità rigonfianti, i suoli con uno strato di argilla presso la superficie, i suoli poco profondi su substrati impermeabili. La conducibilità idrica è estremamente bassa.

**Tabella 2** – Gruppi idrologici per la stima del CN.

Periodo vegetativo	Riposo vegetativo	A.M.C.
Altezza di precipitazione caduta nei cinque giorni precedenti l'evento minore di 35 mm	Altezza di precipitazione caduta nei cinque giorni precedenti l'evento minore di 13 mm	I
Altezza di precipitazione caduta nei cinque giorni precedenti l'evento tra 35 e 53 mm	Altezza di precipitazione caduta nei cinque giorni precedenti l'evento tra 13 e 28 mm	II
Altezza di precipitazione caduta nei cinque giorni precedenti l'evento maggiore di 53 mm	Altezza di precipitazione caduta nei cinque giorni precedenti l'evento maggiore di 28 mm	III

**Tabella 3** – Definizione delle condizioni di umidità antecedenti l'evento (A.M.C.).

**Nel presente lavoro si è scelto di utilizzare il parametro CN relativo a condizioni A.M.C. II.**

**Alle litologie affioranti nel bacino idrografico analizzato, sono stati i valori di permeabilità e quindi a tutte le litologie presenti sono stati assegnati i relativi gruppi idrologici.**

### 6.3 Modellazione Idrologica

La modellistica idrologica si prefigge di creare modelli matematici di tipo afflussi-deflussi, capaci di riprodurre l'andamento della portata in una o più sezioni del reticolo idrografico di un bacino, in funzione della distribuzione sia spaziale che temporale delle piogge. In letteratura sono descritti differenti tipi di modelli idrologici, che possono essere classificati in funzione della complessità della trattazione del problema (Maione, 1977). Tra questi, i più appropriati per gli scopi del presente studio sono i cosiddetti modelli di piena di tipo concettuale che utilizzano rappresentazioni semplificate dei processi fisici in gioco, che vengono comunque esplicitamente presi in considerazione. Inoltre, tali modelli incorporano parametri che sono fisicamente basati riducendo così l'arbitrarietà in fase di calibrazione del modello stesso. In particolare, essi rappresentano con semplicità le perdite, mentre cercano di descrivere in modo più dettagliato la trasformazione della pioggia netta in portata diretta. Quest'ultima viene assunta pari alla portata totale, poiché in eventi salienti di piena il deflusso di base è tipicamente trascurabile.

Possono essere sviluppati modelli aventi diversi gradi di complessità, da particolarmente semplici a molto dettagliati; tuttavia, per scopi di tipo ingegneristico, è consigliabile l'uso di modelli che rispondano ad alcune particolari esigenze, quali:

- la dipendenza da un numero limitato di parametri, che ne consenta il controllo in fase di calibrazione;
- la semplicità di schematizzazione dei processi fisici, che permetta un'agevole implementazione;
- la sensibilità sufficientemente limitata alla variabilità dei parametri stessi.

I modelli semi-distribuiti consentono di soddisfare l'esigenza di impiegare un numero limitato di parametri che ne permetta il controllo in fase di calibrazione e nello stesso tempo utilizzano l'informazione geomorfologica distribuita, la variabilità spaziale delle piogge e delle caratteristiche del suolo, che costituiscono gli aspetti fondamentali nell'analisi della risposta idrologica a scala di bacino. I modelli semi-distribuiti si possono, quindi, considerare come una valida alternativa sia ai modelli a parametri concentrati che incorporano un numero ridotto di parametri a scapito della descrizione dei processi fisici, sia ai modelli distribuiti che, pur effettuando una schematizzazione dettagliata dei fenomeni, restano vincolati a troppi parametri. La scelta è stata quindi dettata dalla necessità di utilizzare un numero limitato di parametri, da stimare attraverso pochi eventi di piena deducibili da bacini "simili" appartenenti alla stessa area geografica, e che sia in grado di fornire gli idrogrammi di piena in qualsiasi sezione del tratto fluviale investigato.

Nel presente studio è stato utilizzato un modello idrologico di tipo concettuale e semidistribuito. Le caratteristiche dei bacini per le analisi idrologiche sono state estratte dal CTR ufficiale della Regione Puglia e dai dati G.I.S. di litologia ed uso del suolo, per ottenere la carta del CN (Curve Number) delle aree di drenaggio.

Il modello idrologico scelto è in sintesi un **modello di simulazione dell'evento critico** avente le seguenti caratteristiche:

- dati di pioggia da L.S.P.P.;
- durata critica determinata con procedimento iterativo in modo da massimizzare il valore della portata al colmo;
- riduzione del tasso di pioggia in base alla superficie del bacino sotteso e della durata dello scroscio secondo la formulazione di Raudkivi (1970);
- ietogramma costante;
- stima dell'infiltrazione mediante metodo SCS-CN assumendo il valore CN (II) relativo allo stato iniziale di bacino mediamente imbibito;
- IUH del SCS con tempo di ritardo (*Lag time*) valutato mediante la formula di Mockus:

$$t_L = 0,342 \frac{L^{0,8}}{s^{0,5}} \left( \frac{1000}{CN} - 9 \right)^{0,7}$$

Dove: L = lunghezza dell'asta principale prolungata fino al dislivvio (Km):

s = pendenza media del bacino (%);

CN = *Curve Number*.

Calcolato il tempo di ritardo ( $t_L$ ), si è potuto calcolare il tempo di corrivazione ( $t_c$ ) pari a:

$$t_c = \frac{t_L}{0,6}$$

Il tempo di corrivazione ( $t_c$ ) è il tempo che impiega una goccia di pioggia che cade nel punto idraulicamente più distante per raggiungere la sezione di chiusura del bacino. La definizione del tempo di corrivazione consente di spiegare perché la piena si verifica proprio se l'evento meteorico ha una durata almeno pari al tempo di corrivazione dato che, in questo caso, tutta la superficie scolante contribuisce ai fini del deflusso superficiale.

## 7. Analisi idraulica: metodologia utilizzata

### 7.1 Modello Idraulico Utilizzato

La modellazione dei fenomeni di allagamento e di transito sono state eseguite utilizzando il software di calcolo americano HEC-RAS del U.S. Army Corps of Engineers (USACE). In particolare, la modellazione idraulica è stata eseguita secondo uno schema monodimensionale in moto permanente mediante HEC-RAS 4.1.0. Le leggi di riempimento di ciascun settore (relazioni quota-volume immagazzinato) sono ottenute a partire dal modello digitale del terreno (D.T.M.) reso disponibile dalla Regione Puglia.

Il programma integra le equazioni di Saint Venant tramite lo schema implicito alle differenze finite di Preismann e Cunge. Si forniscono di seguito alcuni aspetti concettuali, rimandando, per una completa descrizione del codice di calcolo, alla documentazione tecnica fornita a corredo del programma e consultabile on line.

### 7.2 Moto Permanente

In moto permanente, HEC-RAS risolve il problema della individuazione del livello del pelo libero della corrente in una assegnata sezione nelle seguenti ipotesi di base:

- moto gradualmente variato;
- flusso monodimensionale.

Sezioni particolari in cui non risulti localmente valida l'ipotesi di graduale variazione del moto (ponti, traverse, etc.) vengono tuttavia modellate attraverso l'adozione di formulazioni empiriche o integrali. L'unità elementare del sistema fisico, composta da un volume idrico di controllo posto tra due generiche sezioni trasversali del corso d'acqua, è governata dal principio della conservazione dell'energia, assunto descrivibile tramite le seguenti due equazioni semplificate:

$$WS_2 + \frac{\alpha_2 + V_2^2}{2g} = WS_1 + \frac{\alpha_1 + V_1^2}{2g} + h_e \quad (7.2.1)$$

$$h_e = L\bar{S}_f + C \left| \frac{\alpha_2 + V_2^2}{2g} - \frac{\alpha_1 + V_1^2}{2g} \right| \quad (7.2.2)$$

dove:

- i pedici 1 e 2 indicano le corrispondenti sezioni;
- $WS_2$  e  $WS_1$  livelli del pelo libero alle estremità del tratto [m];
- $V_2^2$  e  $V_1^2$  velocità quadratiche medie [m<sup>2</sup>/s<sup>2</sup>];
- $\alpha_2$  e  $\alpha_1$  coefficienti ponderali dei termini cinetici;
- $g$  accelerazione di gravità [m/s<sup>2</sup>];
- $h_e$  perdite di carico totali [m];
- $L$  distanza media pesata sulle portate tra le due sezioni [m], i.e.
- $$L = \frac{L_{lo} * \bar{Q}_{lo} + L_{mch} * \bar{Q}_{mch} + L_{ro} * \bar{Q}_{ro}}{\bar{Q}_{lo} + \bar{Q}_{mch} + \bar{Q}_{ro}}$$
- $\bar{Q}_{ij}$  portata media nel tratto elementare nelle golene o nel canale [m<sup>3</sup>/s];
- $\bar{S}_f$  gradiente medio delle perdite di carico per attrito [m/m];
- $C$  coefficiente di dissipazione energetica per espansione o contrazione.

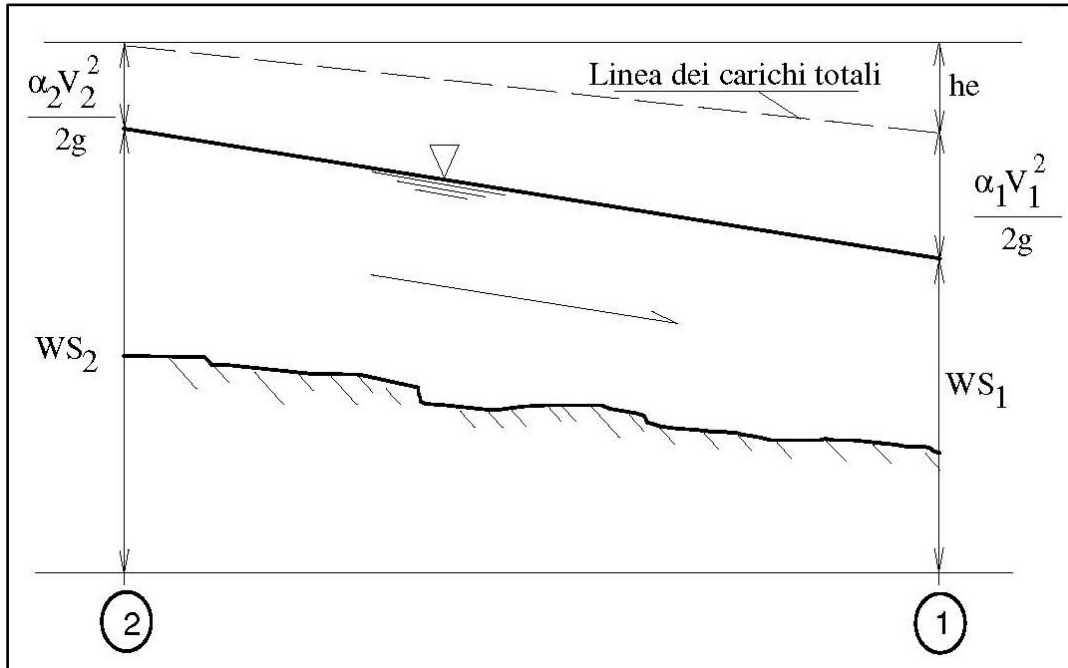


Figura 9 - Rappresentazione in termini energetici dell'equilibrio di volume idrico elementare

La sezione di deflusso è supposta suddivisibile in tre ambiti primari in cui risulta applicabile l'ipotesi di distribuzione uniforme delle velocità, i.e. l'alveo principale e due zone golenali. I termini di perdita di carico media per ciascun tratto elementare, sia concentrata ( $\alpha$ ) sia distribuita ( $S_f$ ), vengono calcolati utilizzando la seguente definizione della capacità di deflusso (portata per unità di pendenza motrice  $1/2$ ), indipendentemente per ciascun ambito della sezione (si omettono per brevità i pedici):

$$K = \frac{A \cdot R^{2/3}}{n} \quad (7.2.3)$$

dove:

- $K$  capacità di deflusso nell'ambito [ $m^3/s$ ];
- $n$  coefficiente di scabrezza di Manning [ $s/m^{1/3}$ ];
- $R$  raggio idraulico dell'ambito [ $m$ ];
- $A$  area della sezione bagnata dell'ambito [ $m^2$ ].

In funzione del regime della corrente vengono utilizzate diverse stime del gradiente di carico per attrito medio sul tratto (media aritmetica, geometrica, armonica, ..). In particolare, per i profili di corrente lenta è stato prevalentemente utilizzata la media semplice ponderata sulla capacità di deflusso:

$$\overline{S_f} = \left( \frac{Q_1 + Q_2}{K_1 + K_2} \right)^2 \quad (7.2.4)$$

Per i carichi cinetici vale invece la seguente espressione (il pedice  $t$  indica la totalità della sezione):

$$\alpha = \frac{A_t^2 * \left[ \frac{K_{lb}^3}{A_{lb}^2} + \frac{K_{mch}^3}{A_{mch}^2} + \frac{K_{rb}^3}{A_{rb}^2} \right]}{K_t^3} \quad (7.2.5)$$

coefficienti di contrazione C sono stati assunti generalmente pari a 0,1÷0,3 per le sezioni a variazioni ordinarie, per le contrazioni e le espansioni, rispettivamente. Le scabrezze equivalenti sono computate per media pesata su perimetro bagnato, sia per quelle di ambito che di intera sezione di deflusso. Le transizioni attraverso lo stato critico della corrente, nel caso dei risalti idraulici e del passaggio attraverso ponti, vengono assunte governate dall'equazione semplificata della quantità di moto applicata al tratto elementare di canale (X è la direzione di deflusso, 1 e 2 sono le sezioni di estremità):

$$P_1 - P_2 + W_x - F_f = Q\rho\Delta V_x \quad (7.2.6)$$

dove:

- $P_1$  forza idrostatica [N];
- $W_x$  forza peso della massa idrica compresa nel tratto [N];
- $F_f$  forza di attrito complessivamente agente sul tratto [N];
- $Q$  portata in transito [m<sup>3</sup>/s];
- $\rho$  densità dell'acqua [Ns<sup>2</sup>/m<sup>4</sup>];
- $\Delta V_x$  variazione di velocità media tra le sezioni, in direzione X [m/s].

Gli sforzi tangenziali sul perimetro bagnato vengono calcolati secondo la formulazione di moto uniforme e la quantità di moto corretta con coefficienti empirici di letteratura.

Gli elementi geometrici principali da inserire nel modello idraulico sono le sezioni ordinarie, quelle cioè in cui non è presente un manufatto che interferisca con la corrente alterandone "localmente" ed in maniera significativa lo stato energetico (ad es. ponti, traverse, salti di fondo, tombini, bruschi restringimenti, etc.). I principali attributi delle sezioni ordinarie sono:

- limiti del canale principale;
- scabrezza;
- argini;
- limiti delle aree "inefficaci".

Per quanto riguarda i manufatti trasversali, invece, le sezioni che complessivamente caratterizzano ogni struttura sono 4. Le numero 2 e 3 rappresentate in Figura 12 definiscono le sezioni di monte e valle sul ponte, mentre le 1 e 4 individuano i limiti di perturbazione locale indotti dal manufatto per effetto della riduzione della sezione di deflusso e/o delle perdite di carico concentrate. Quest'ultime vanno poste ad una distanza dalla struttura tale che il flusso non risenta della presenza della struttura stessa; ciò dovrebbe essere determinato attraverso una indagine sul campo durante gli eventi di piena. Stante l'impossibilità di procedere nella maggioranza dei casi a tale indagine diretta, generalmente si fa ricorso al criterio di porre la sezione trasversale di monte n.4 ad una distanza pari a circa una volta la larghezza media della costrizione laterale causata dalle spalle del ponte, mentre la sezione trasversale n.1 è posta ad una distanza leggermente maggiore e ricavabile empiricamente in funzione del restringimento di sezione, della pendenza del corso d'acqua e delle scabrezze del canale e delle golene (vedi tabella 5.1 Hydraulic Reference Manual di HEC-RAS). Le perdite di carico in prossimità dei ponti sono costituite da due componenti: quella delle perdite di carico immediatamente a valle [monte] della struttura per effetto dell'allargamento [restringimento] della sezione, e quella delle perdite di carico che si realizzano per effetto della struttura stessa. Quest'ultima comprende sia le normali perdite per attrito che quelle specifiche dovute ad eventuali pile in alveo. Il deflusso attraverso il ponte può avvenire a pelo libero, in pressione, a stramazzo per sormonto dell'impalcato o in

condizioni ibride tra le precedenti. Ciascun regime viene modellato adottando specifiche equazioni. Le transizioni attraverso le possibili condizioni di moto, in relazione alla portata e all'energia totale della corrente, sono schematicamente descritte in Figura 11.

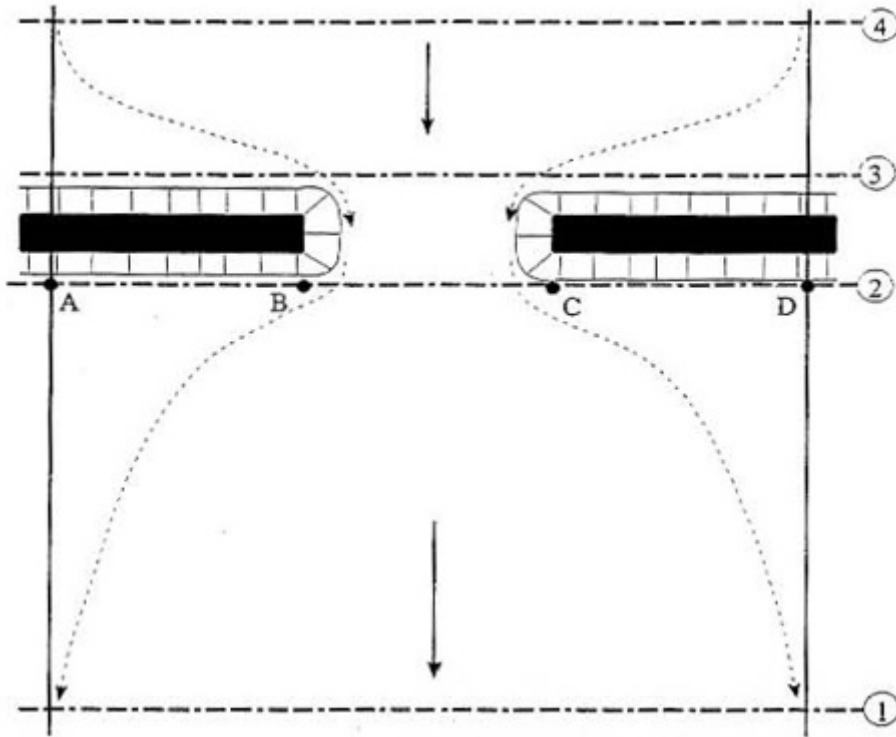


Figura 10 – Schema della discretizzazione longitudinale nell'intorno di un ponte

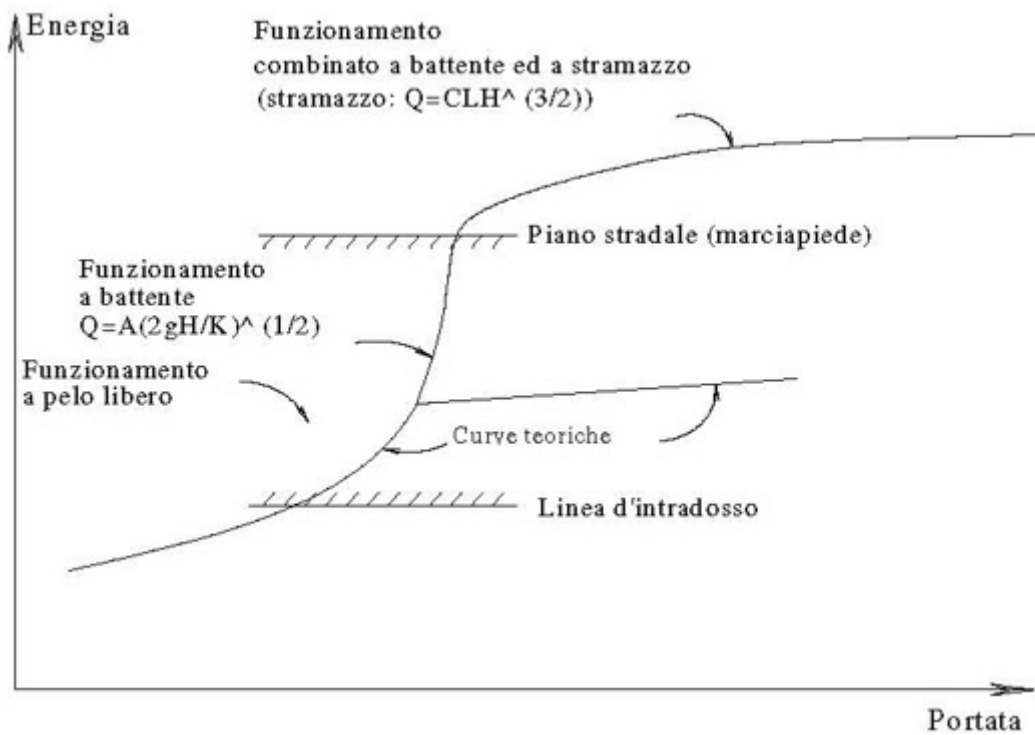


Figura 11 – Andamento della portata in presenza di un ponte al crescere del carico totale a monte

### 7.3 Moto Vario

In moto vario, invece, le equazioni di continuità e del moto utilizzate da HEC-RAS assumono rispettivamente la seguente espressione:

$$\frac{\partial A}{\partial t} + \frac{\partial \phi Q}{\partial x_c} + \frac{\partial [(1-\phi)Q]}{\partial x_f} = 0 \quad (7.3.1)$$

$$\frac{\partial Q}{\partial t} + \frac{\partial \left( \frac{\phi^2 * Q^2}{A_c} \right)}{\partial x_c} + \frac{\partial \left[ \frac{(1-\phi)^2 * Q^2}{A_f} \right]}{\partial x_f} + gA_c \left[ \frac{\partial z}{\partial x_c} + S_{fc} \right] + gA_f \left[ \frac{\partial z}{\partial x_f} + S_{ff} \right] = 0 \quad (7.3.2)$$

in cui:

$$Q_c = \phi * Q$$

$$\phi = \frac{K_c}{K_c + K_f}$$

ed i pedici *c* ed *f* si riferiscono rispettivamente al *main channel* ed alle *floodplains* (Figura 12).

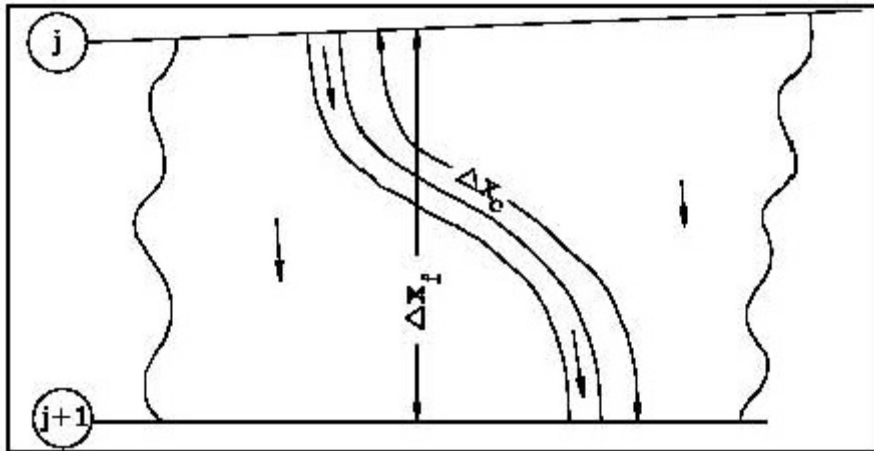


Figura 12 - Distanze misurate lungo il main channel e le foodplain

HEC-RAS utilizza generalmente il modello completo delle equazioni di De Saint Venant. La soluzione numerica di tali equazioni in regime di corrente lenta è basata su un metodo alle differenze finite di tipo implicito a quattro punti, noto in letteratura come *box scheme*. Dalla discretizzazione alle differenze finite delle equazioni del moto applicate ad un tratto di corso d'acqua e dall'applicazione delle condizioni al contorno, risulta un sistema lineare di N equazioni in N incognite, con N pari a 2 volte il numero di sezioni in cui è stato suddiviso il corso d'acqua meno le sezioni in cui sono state assegnate le condizioni al contorno. Tale sistema deve essere risolto ad ogni successivo istante di calcolo. Il sistema di equazioni lineari viene risolto con metodo iterativo, utilizzando l'algoritmo skyline specificatamente pensato per la soluzione dei problemi di moto vario nelle reti a pelo libero. Nel caso di corrente mista lenta o veloce HEC-RAS utilizza la tecnica local partial inertia (L.P.I.), per cui si passa gradualmente dalla soluzione delle equazioni complete del moto alla soluzione del modello parabolico delle equazioni del moto vario. Il modello parabolico viene applicato dal programma soltanto nei tratti di corso d'acqua in cui si ha un numero di Froude maggiore di un valore di soglia definibile dall'utente. Il modello matematico riesce

così a garantire una maggiore stabilità di calcolo anche nei tratti interessati da corrente veloce o mista, pur mantenendo un'adeguata accuratezza di calcolo. In particolare, con l'algoritmo LPI, al tendere del numero di Froude ad 1 si applica un coefficiente riduttivo ai termini di inerzia locale e convettiva delle equazioni del moto. Le equazioni del moto vengono così modificate nella forma seguente:

$$\sigma \left[ \frac{\partial Q}{\partial t} + \frac{\partial \beta Q^2}{\partial x} \right] + gA \left( \frac{\partial h}{\partial x} + S_f \right) = 0 \quad (7.3.3)$$

dove:

- $\sigma = F_T - F_r^m$  se  $F_r \leq F_t$
- $\sigma = 0$  se  $F_r > F_t$

con:

- $\sigma$  coefficiente LPI che moltiplica i termini inerziali dell'equazione del moto;
- $F_T$  numero di Froude di soglia per cui  $\sigma = 0$ . (Tra 1 e 2, default = 1);
- $F_r$  numero di Froude;
- $m$  esponente dell'equazione che fornisce il valore di  $\sigma$  (tra 1 e 128, default = 10);
- $h$  quota della superficie del pelo libero;
- $S_f$  pendenza della linea dell'energia.

Quando il numero di Froude è maggiore del valore di soglia  $F_T$ , il coefficiente  $\sigma$  assume valore 0. E' possibile variare sia il valore di  $F_T$  che dell'esponente  $m$ . Al crescere del valore sia di  $F_T$  che di  $m$  diminuisce la stabilità del calcolo, ma ne aumenta l'accuratezza.

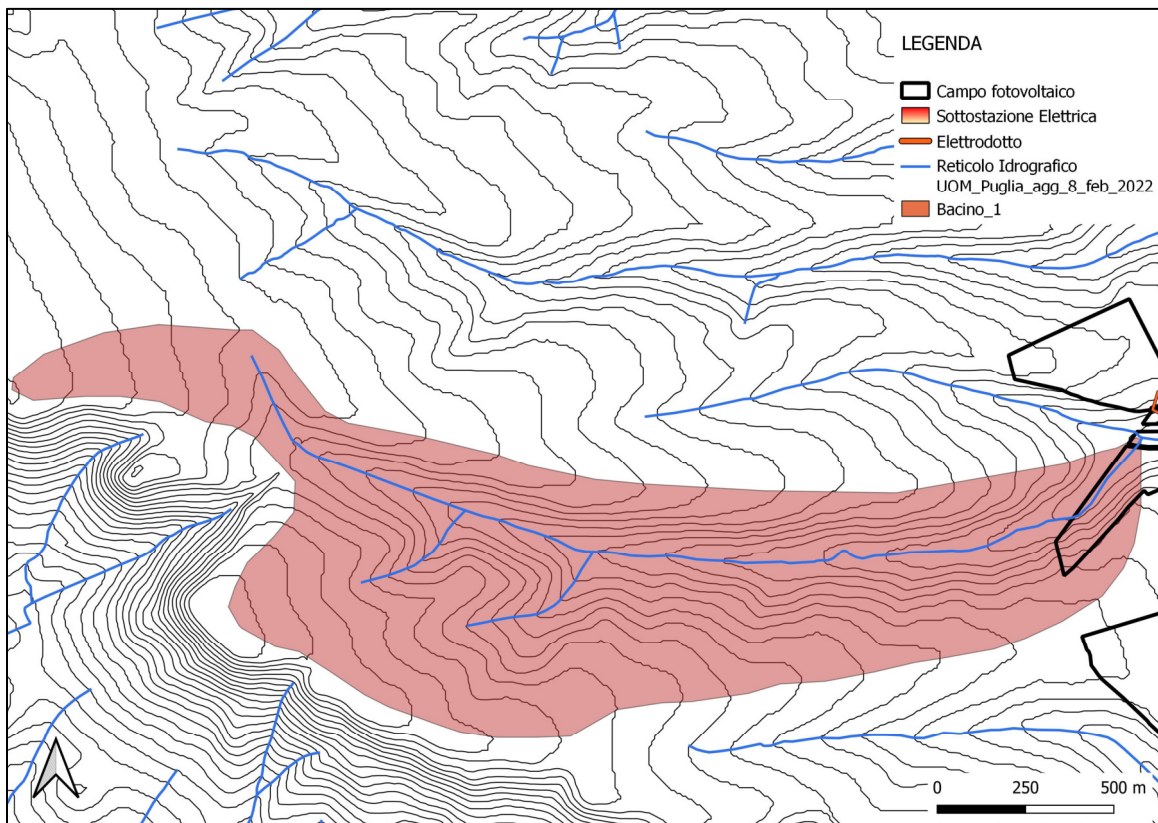
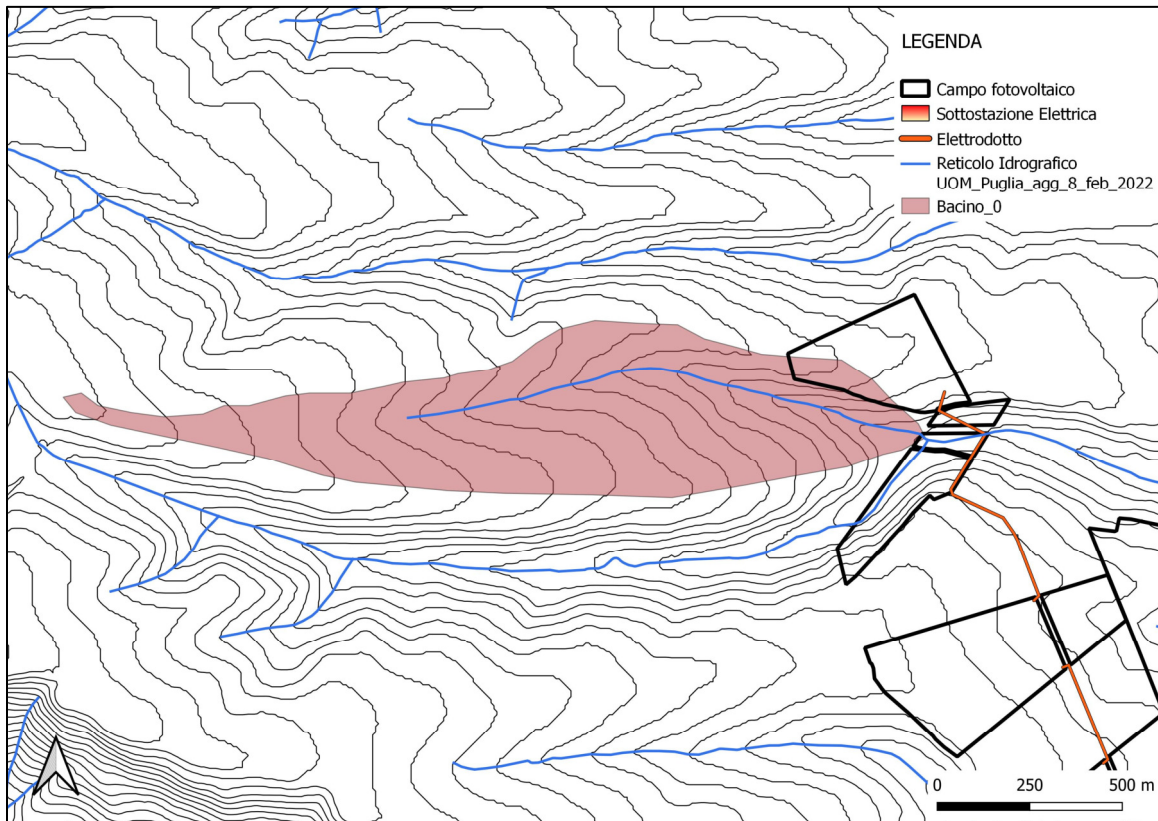
## 8. Caratteristiche morfometriche dei bacini individuati per la simulazione

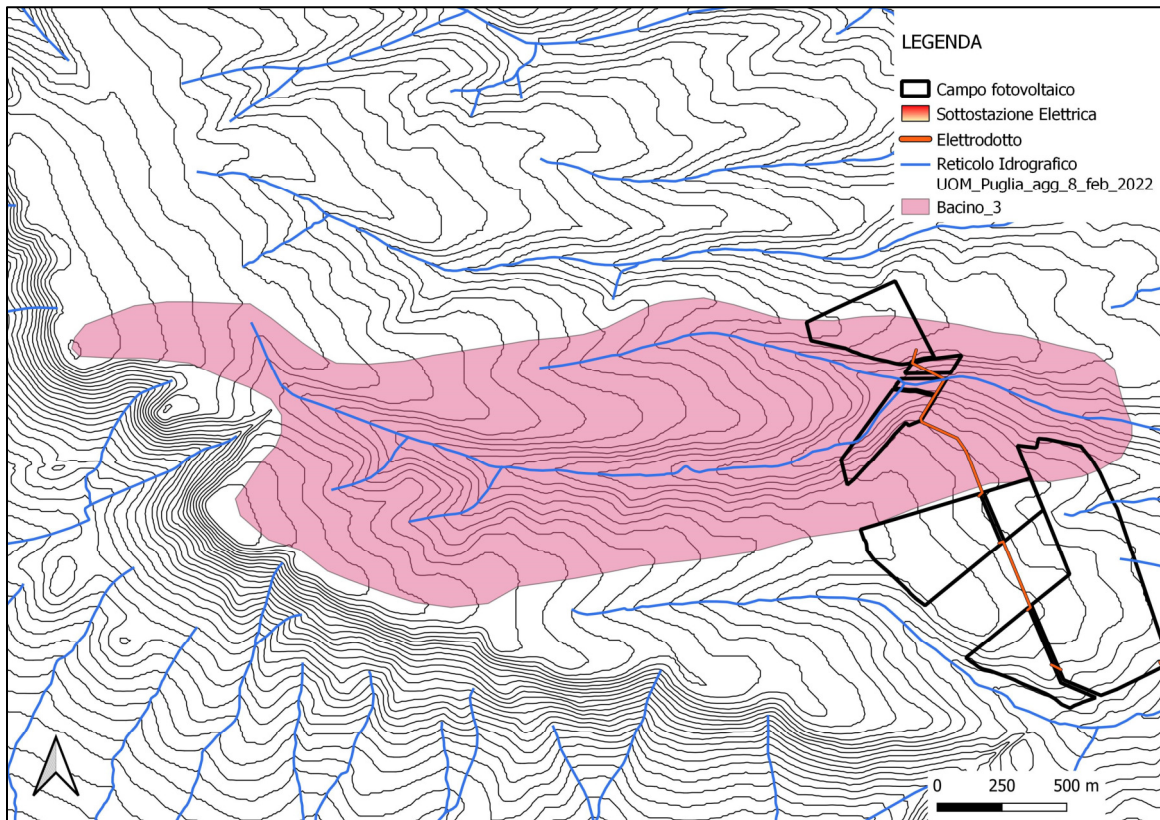
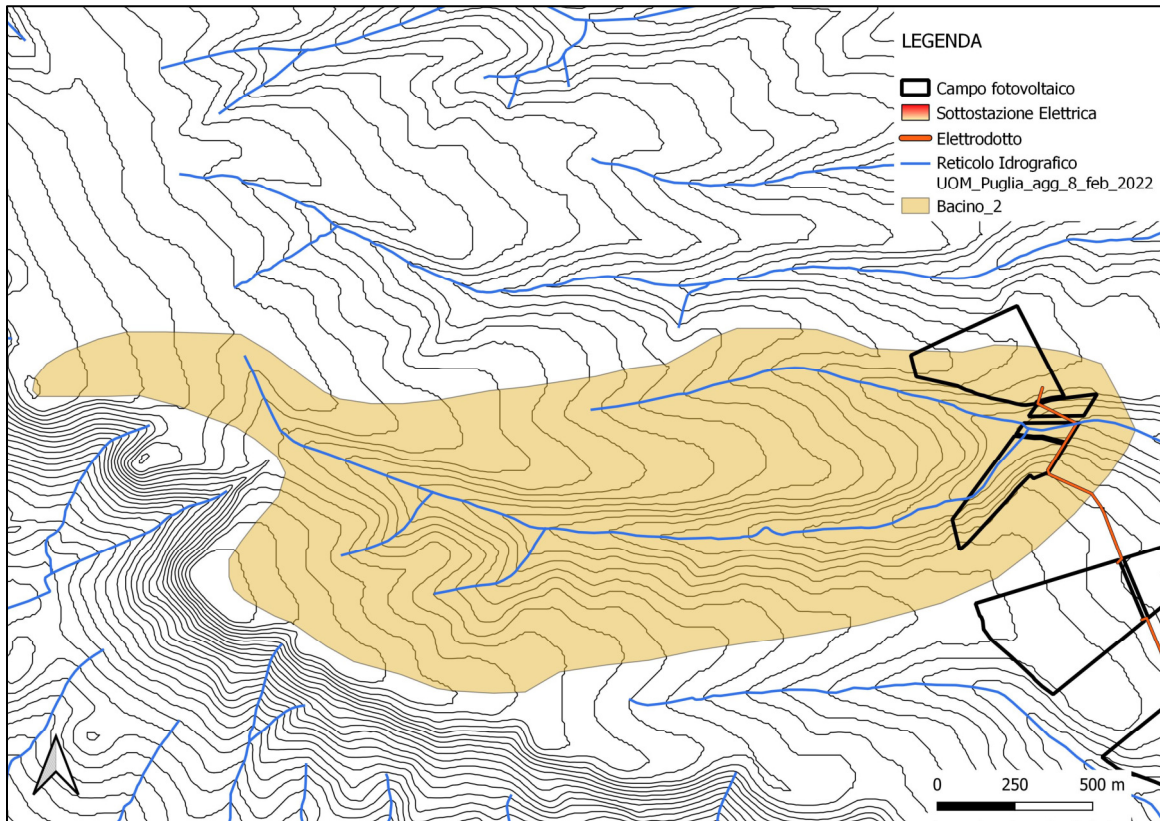
Per la simulazione e la quantificazione delle portate con Tr200 anni sono stati individuati 8 bacini idrografici come rappresentato nelle seguenti immagini.

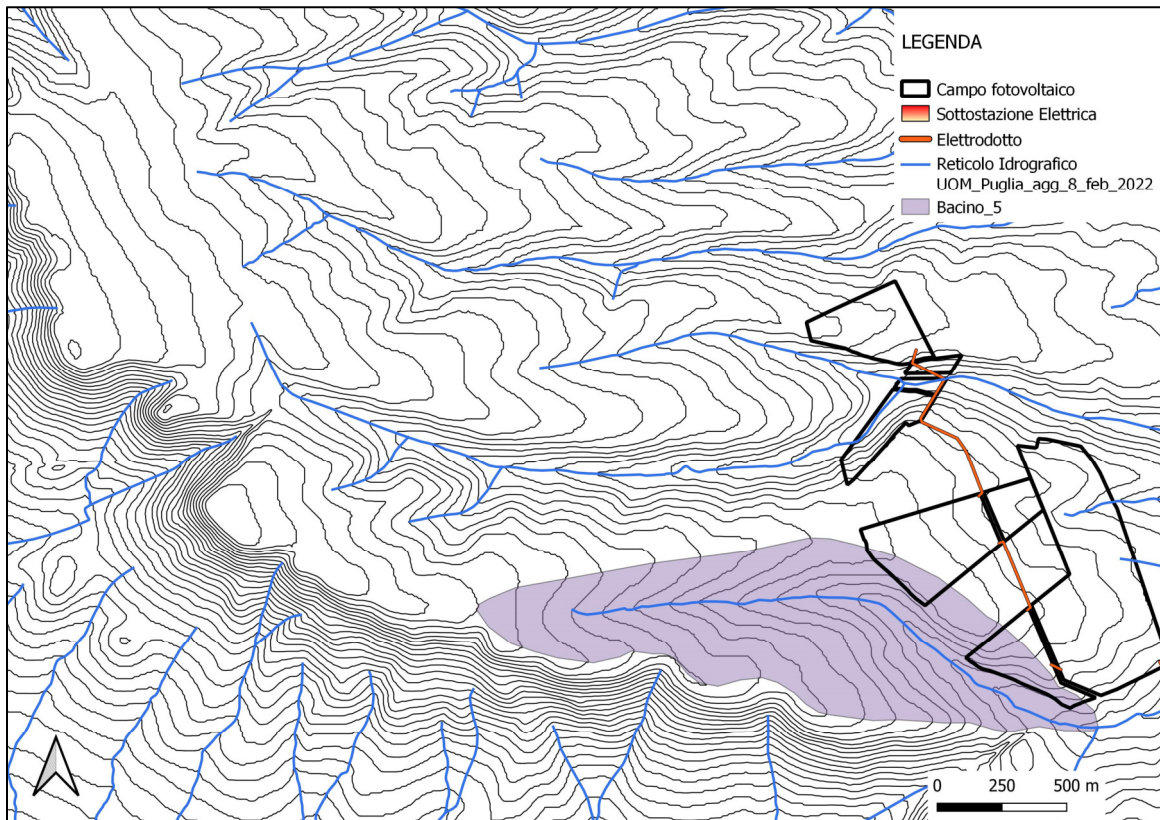
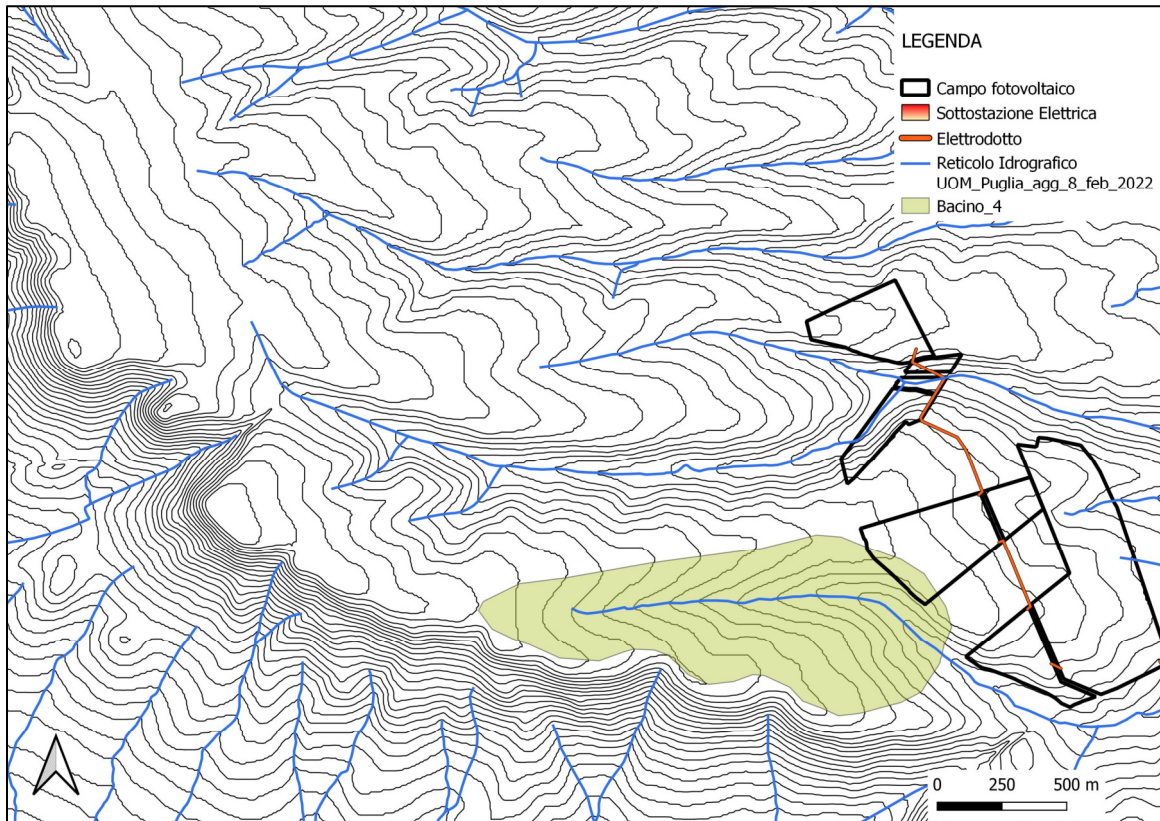
I principali parametri morfometrici sono stati desunti dall'analisi del modello CTR della Regione Puglia, ricavando i parametri utili all'analisi idraulica successiva integrando tali informazioni con rilievi puntuali.

I principali dati morfometrici sono così riassunti nella tabella seguente:

	<b>Bacino 0</b>	<b>Bacino 1</b>	<b>Bacino 2</b>	<b>Bacino 3</b>	<b>Bacino 4</b>	<b>Bacino 5</b>	<b>Bacino 6</b>	<b>Bacino 7</b>
Superficie [kmq]	0.617674	1.680726	2.546419	2.908883	0.773808	1.001700	1.930491	0.305116
Lunghezza percorso idraulico principale [m]	1455	2880	3245	3820	1510	2172	2892	260
Pendenza media bacino [m/m]	0.0382	0.0585	0.0524	0.0522	0.0394	0.042	0.0416	0.0282
Altitudine media bacino [m s.l.m.]	360.81	375.83	368.97	364.14	362.53	356.77	345.93	340.93
Altitudine massima bacino [m s.l.m.]	402	425	425	425	394.44	395	395	356
Altitudine minima bacino [m s.l.m.]	318.91	318.20	312	301.43	330	313.35	298	319







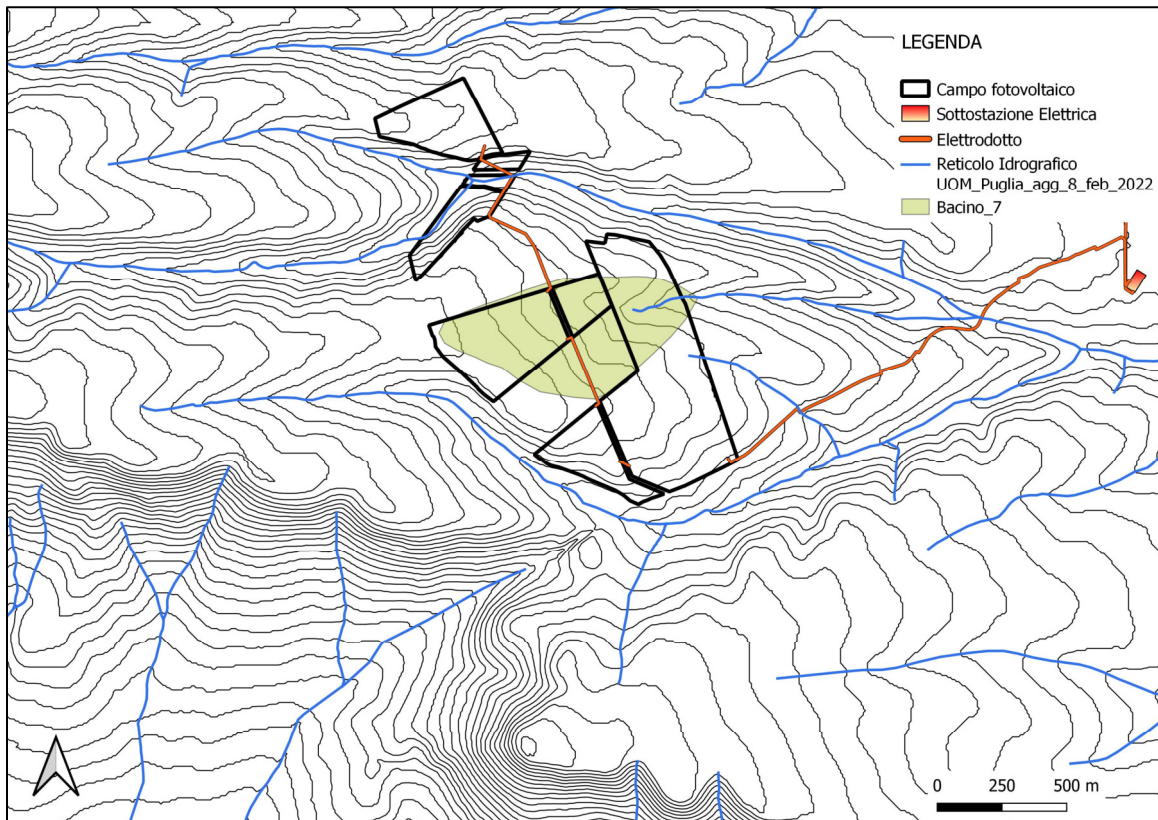
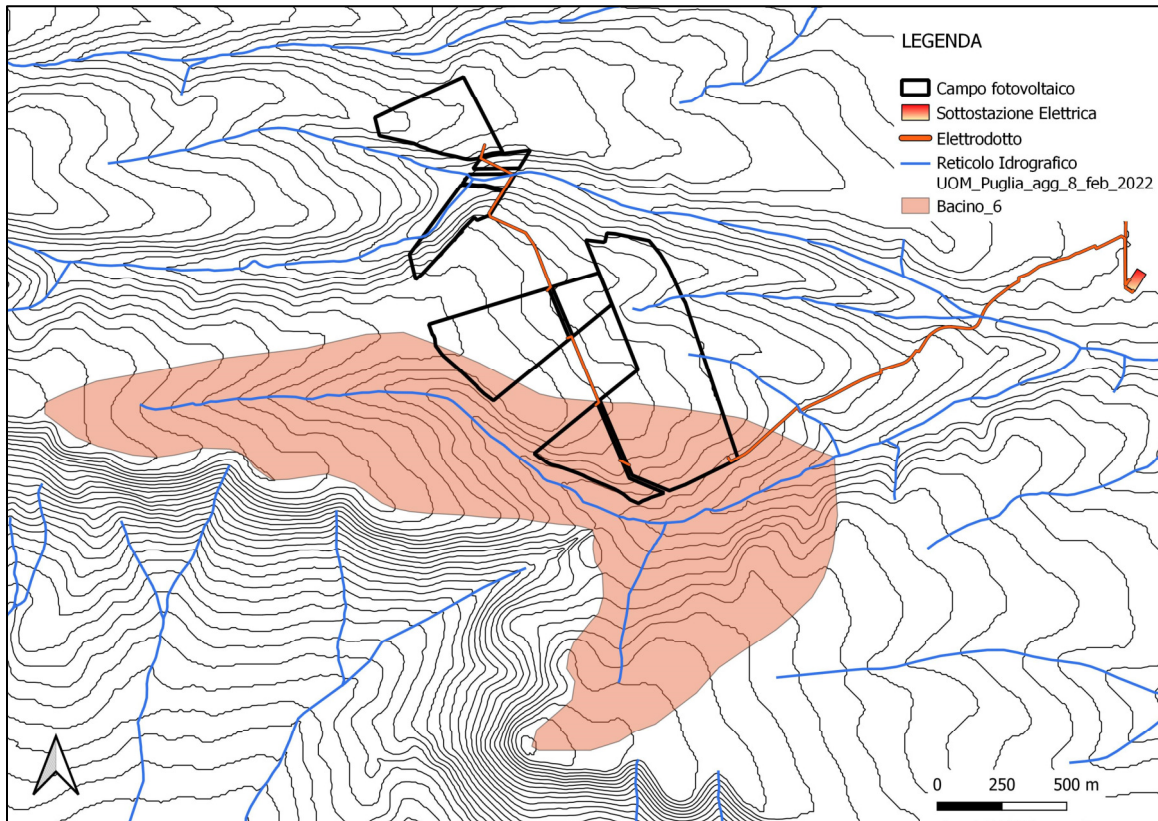


Figura 13 – Bacini idrografici individuati

## 9. Analisi idrologica dei bacini

Per i bacini individuati si riporta nel seguito la tabella con le principali caratteristiche geomorfologiche ed i principali parametri di riferimento utilizzati per la definizione delle portate di progetto.

	Bacino 0	Bacino 1	Bacino 2	Bacino 3	Bacino 4	Bacino 5	Bacino 6	Bacino 7
Superficie [kmq]	0.617674	1.680726	2.546419	2.908883	0.773808	1.001700	1.930491	0.305116
Lunghezza percorso idraulico principale [m]	1455	2880	3245	3820	1510	2172	2892	260
Pendenza media bacino [m/m]	0.0382	0.0585	0.0524	0.0522	0.0394	0.042	0.0416	0.0282
Altitudine media bacino [m s.l.m.]	360.81	375.83	368.97	364.14	362.53	356.77	345.93	340.93
Altitudine massima bacino [m s.l.m.]	402	425	425	425	394.44	395	395	356
Altitudine minima bacino [m s.l.m.]	318.91	318.20	312	301.43	330	313.35	298	319
CN II	78.4353	78.1169	78.3127	78.3195	78	78.0158	78.3831	78.4353
CN III	90.0418	89.8419	89.9649	89.9692	89.7683	89.7783	90.0091	90.0418

Per quanto attiene la stima del CN (Curve Number) da utilizzarsi per il calcolo delle portate di piena, è stato considerato il gruppo idrologico C, ossia un terreno caratterizzato da un grado di permeabilità medio-basso dato dai sedimenti di tipo prevalentemente sabbioso-limoso presenti in tutto il bacino.

La tipologia di copertura vegetale è stata calcolata in relazione al tipo di gruppo in cui era posizionata. L'analisi della distribuzione delle coperture vegetali è sintetizzata nella seguente tabella utilizzata per il calcolo del CN.

Il CN calcolato è il seguente:

CN II = 71.1567

Dal calcolo del CN (II), ovvero in condizioni A.M.C. II (condizioni medie che prevedono precipitazioni comprese tra 35 e 53 mm nei precedenti 5 giorni nel caso del periodo vegetativo e precipitazioni comprese tra 13 e 28 mm nei cinque giorni precedenti nel caso del periodo di riposo vegetativo), ci si è calcolato il fattore di correzione (FIII) per riportare il CN (II) alla condizione più critica CN (III) a favore di sicurezza che prevede condizioni di umidità del suolo antecedenti l'evento di progetto con precipitazioni maggiori di 53 mm di pioggia nei 5 giorni precedenti durante il periodo vegetativo e precipitazioni maggiori di 28 mm di pioggia durante il periodo di riposo vegetativo.

**Ad ogni modo, per il calcolo delle portate di progetto è stato utilizzato in CN III.**

## 10. Determinazione della portata di piena

Per la modellazione idrologica è stata calcolata la portata in varie specifiche porzioni dei vari bacini analizzati, in funzione del tempo di ritorno ( $T_r$ ) pari a 200 anni e nelle sezioni ricavate per la determinazione dell'estensione della piena sono state inserite le specifiche portate calcolate, come di seguito specificato in tabella.

n. Sezione	Q (mc/s) [tr200 anni]	Bacino di riferimento
1701	6.35	0
1621	6.35	0
1547	6.35	0
1465	6.35	0
438	14.23	1
288	14.23	1
174	14.23	1
89	14.23	1
1247	19.77	2
1162	19.77	2
1080	19.77	2
932	19.77	2
739	20.77	3
601	20.77	3
454	20.77	3
264	20.77	3
1852	7.95	4
1741	7.95	4
1632	7.95	4
1536	7.95	4
1346	8.76	5
1182	8.76	5
1038	8.76	5
948	8.76	5
839	8.76	5
640	14.82	6
478	14.82	6
300	14.82	6
232	6.62	7
171	6.62	7
114	6.62	7
50	6.62	7

## 11. Risultati dell'analisi idraulica

Con i dati ottenuti dall'analisi idrologica, si è potuta effettuare una modellazione idraulica con il programma HEC-RAS 6.2.0. Per la costruzione del modello geometrico del bacino è stato utilizzato la CTR della Regione Puglia, da cui sono state estrapolate le curve di livello e ricavate le sezioni trasversali in RAS MAPPER.

La simulazione idraulica è stata realizzata in *steady flow condition* e per ciascuna sezione sono stati ottenuti i dati dei tiranti idrici per tempi di ritorno di 200 anni.

Nelle immagini seguenti si illustrano i risultati della simulazione realizzata con la perimetrazione delle aree inondabili nel tratto interessato dal progetto per tempi di ritorno di 200 anni.



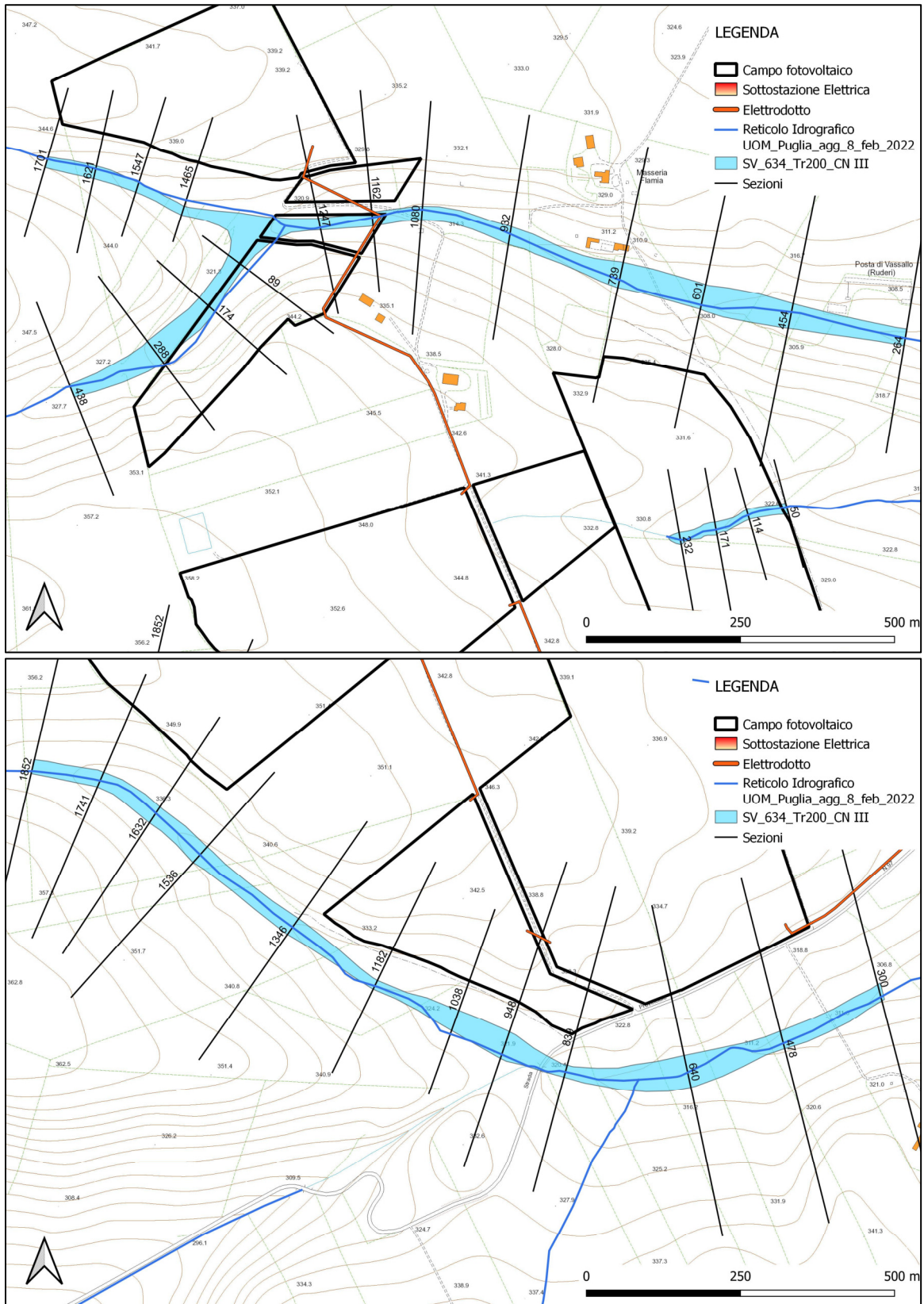
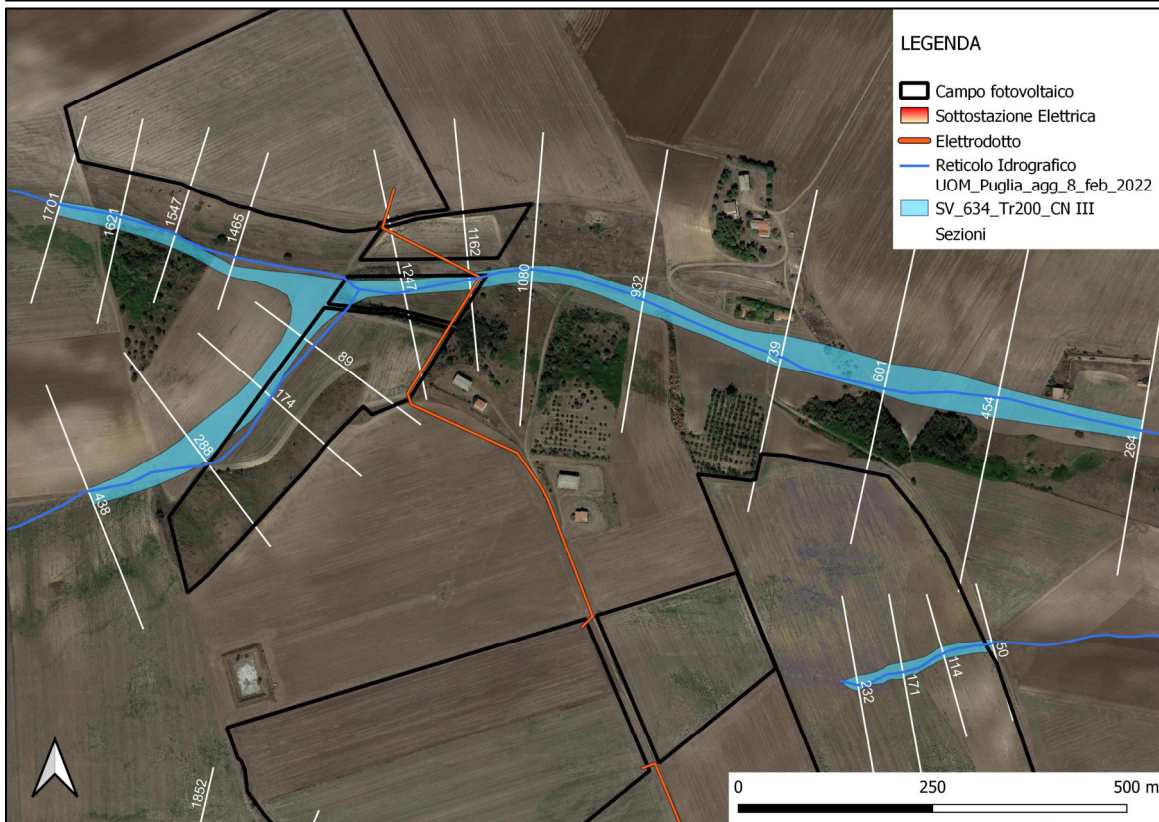
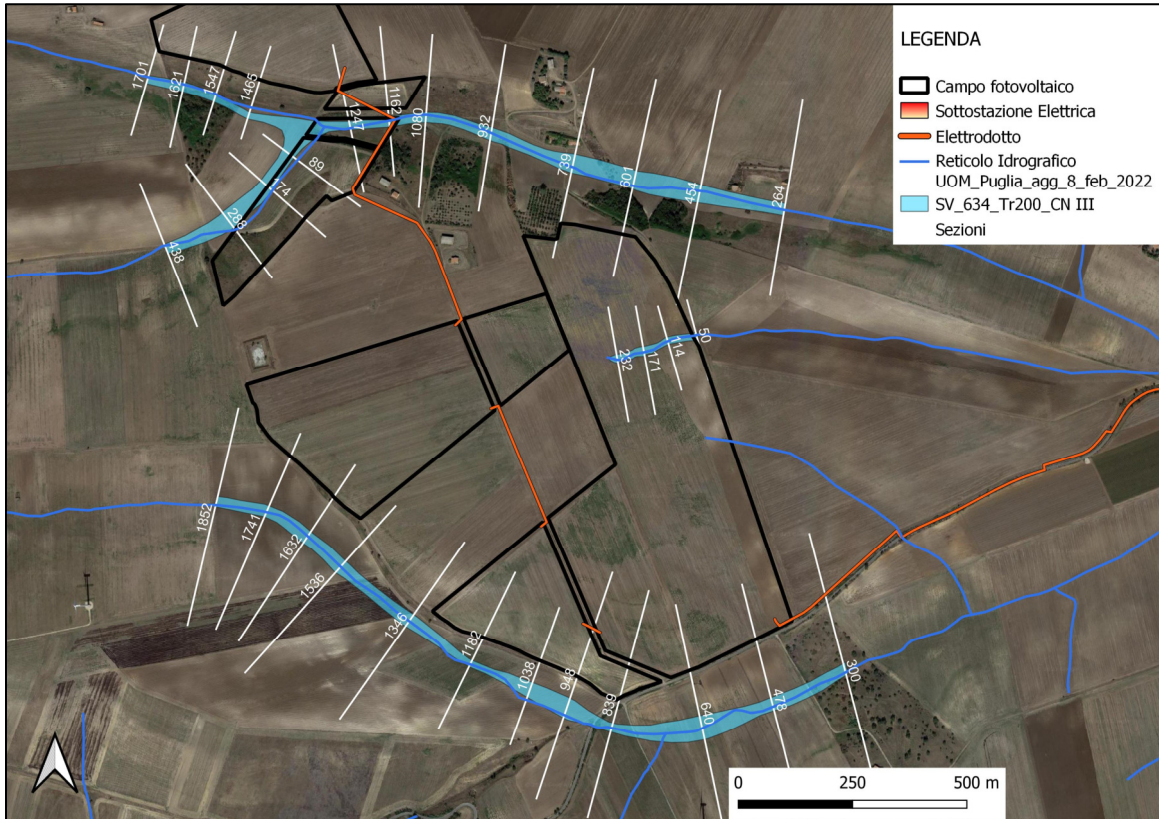


Figura 14 a,b,c – Simulazione con tr 200 anni su base CTR



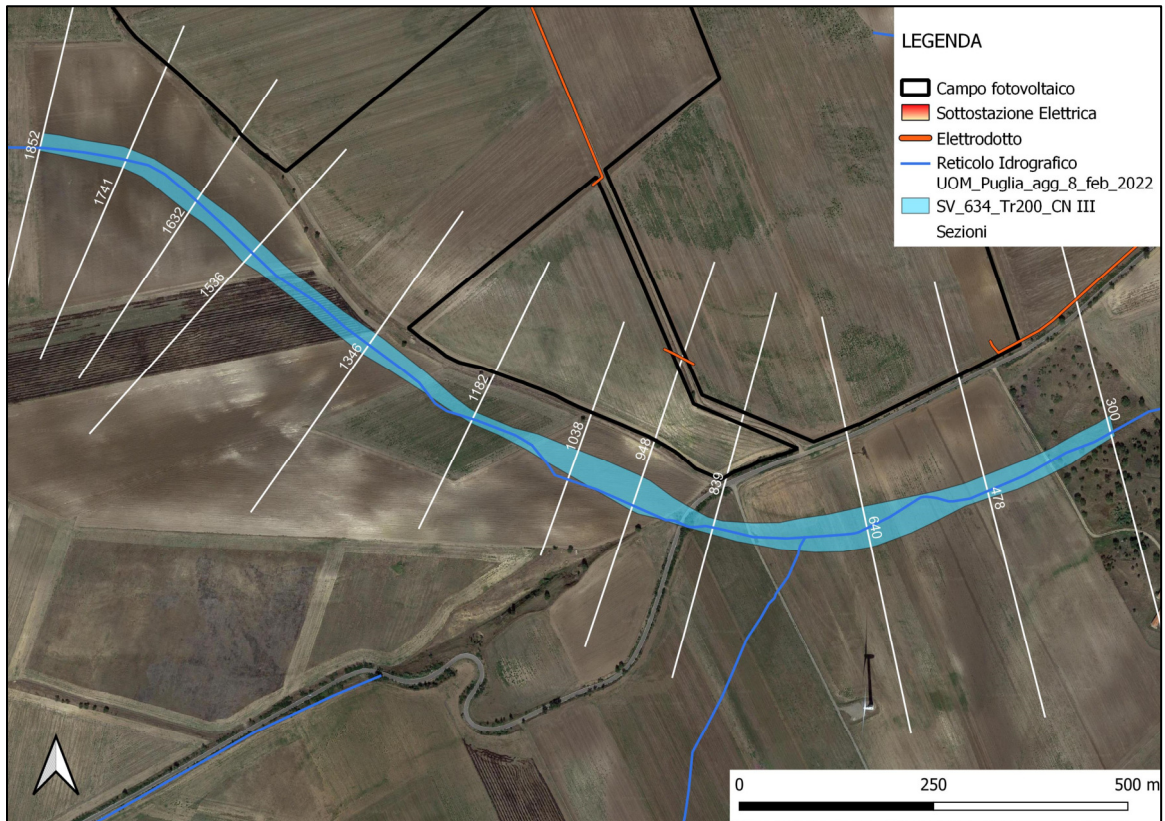


Figura 15 a,b,c – Simulazione con tr 200 anni su base ortofoto

Dall'analisi emerge che alcune zone del lotto non siano in condizioni di sicurezza idraulica, ed in queste aree non saranno installati i pannelli fotovoltaici, che invece saranno installati nelle zone in sicurezza idraulica non interessate dalla piena duecentennale.

### 11.1 Attraversamenti in TOC del Reticolo idrografico

L'altra criticità idraulica del progetto è quella dell'attraversamento dell'elettrodotto dell'alveo di reticoli per il quale è previsto l'utilizzo della TOC.

Nel presente progetto in particolare, sono previsti due attraversamenti con tecnica TOC, il primo poco distante dal campo fotovoltaico mentre il secondo poco prima della sottostazione elettrica (fig. 16).

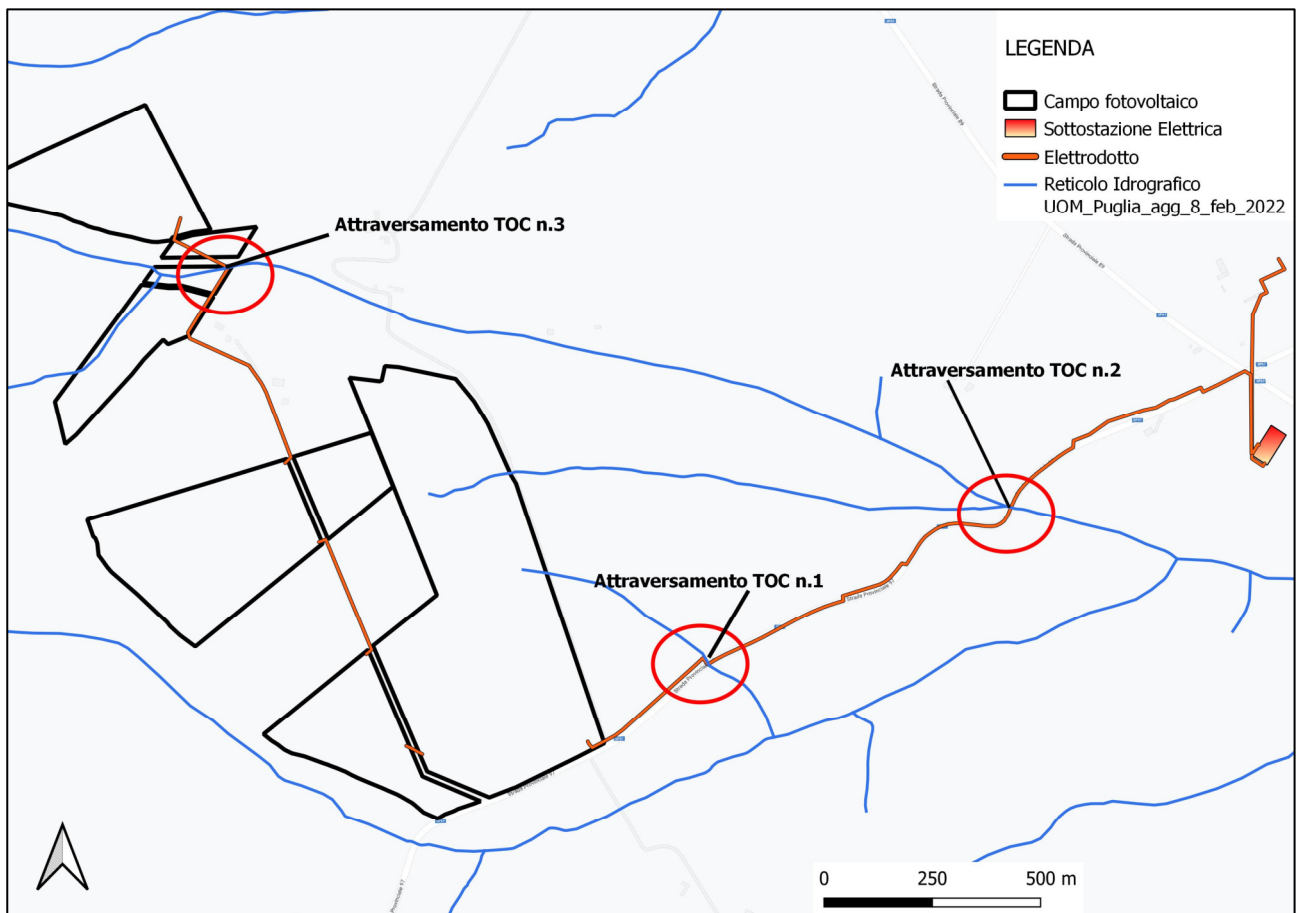


Figura 16 – Punti di attraversamento del reticolo in cui è prevista la TOC

### 11.1.1 Attraversamento n.01

Si tratta di un canale con sponde ed alveo naturali costituito dalle litologie presenti in sito, generalmente sabbiose e subordinatamente ghiaiose, a forma di V.

Nella tabella sono riportate le quote topografiche degli elementi principali e la quota di attestazione dell'attraversamento in TOC, posizionata a circa 2.5 metri dalla quota d'alveo più bassa.

Quota argine destro [ m s.l.m.]	Quota argine sinistro [ m s.l.m.]	Quota d'alveo [ m s.l.m.]	Quota attestazione TOC [ m s.l.m.]
313.5	313.5	311	308.5

Nelle immagini seguenti sono rappresentate: ubicazione della sezione; profilo topografico.

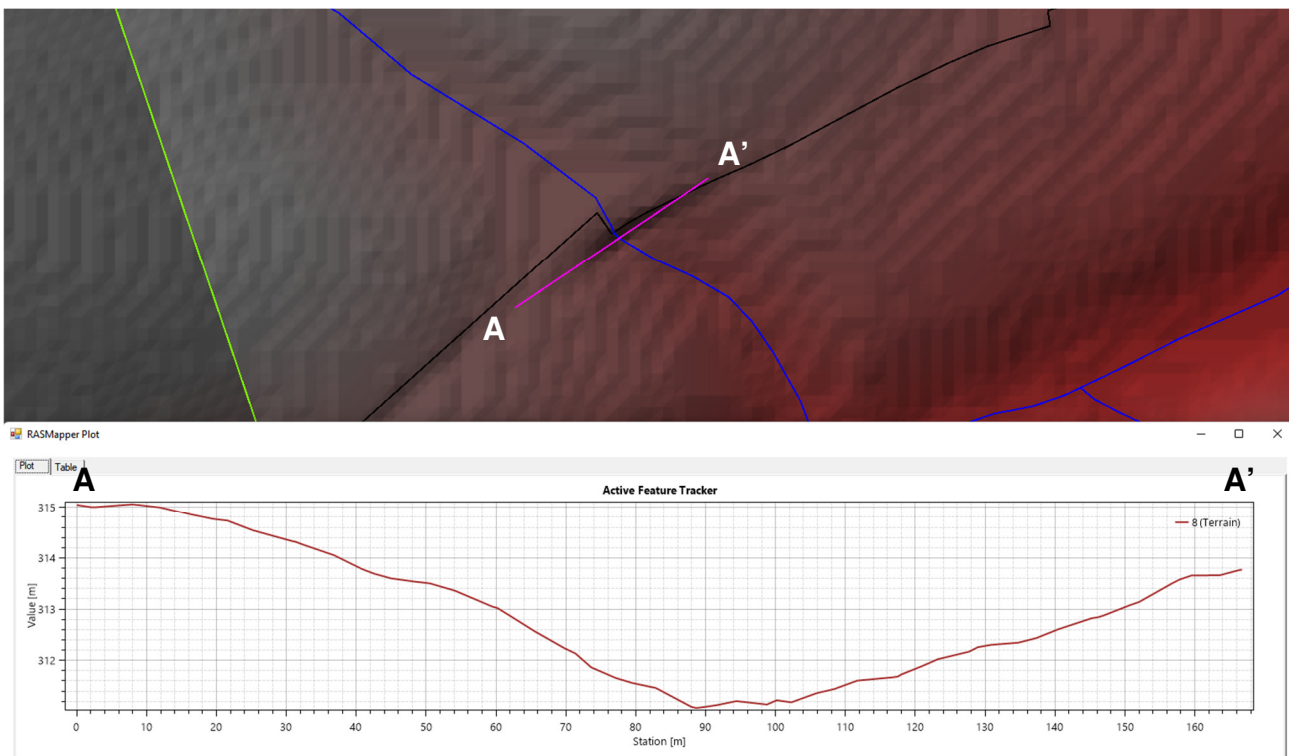


Fig. 17 - Ubicazione e profilo topografico della sezione

### 11.1.2 Attraversamento n.02

Si tratta di un canale con sponde ed alveo naturali costituito dalle litologie presenti in sito, generalmente sabbiose e subordinatamente ghiaiose, a forma di V.

Nella tabella sono riportate le quote topografiche degli elementi principali e la quota di attestazione dell'attraversamento in TOC, posizionata a circa 2.5 metri dalla quota d'alveo più bassa.

Quota argine destro [ m s.l.m.]	Quota argine sinistro [ m s.l.m.]	Quota d'alveo [ m s.l.m.]	Quota attestazione TOC [ m s.l.m.]
292.0	291.5	289.0	286.5

Nelle immagini seguenti sono rappresentate: ubicazione della sezione; profilo topografico.

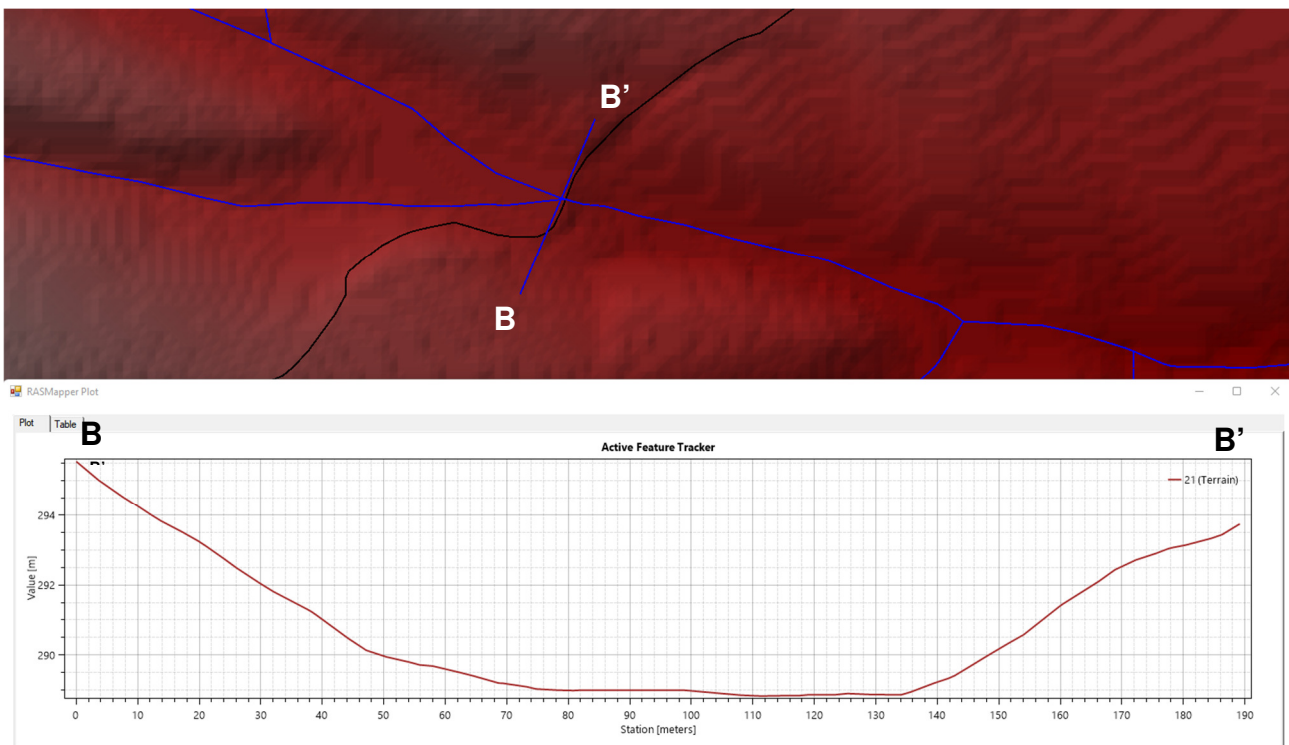


Fig. 18 - Ubicazione e profilo topografico della sezione.

### 11.1.3 Attraversamento n.03

Il terzo attraversamento interseca un canale con sponde ed alveo naturali costituito dalle litologie presenti in sito, generalmente sabbiose e subordinatamente ghiaiose, a forma di V molto svasata, dove risulta difficile. Nella tabella sono riportate le quote topografiche degli elementi principali e la quota di attestazione dell'attraversamento in TOC, posizionata a circa 2.5 metri dalla quota d'alveo più bassa.

Quota argine destro [ m s.l.m.]	Quota argine sinistro [ m s.l.m.]	Quota d'alveo [ m s.l.m.]	Quota attestazione TOC [ m s.l.m.]
327	329	315	312.5

Nelle immagini seguenti sono rappresentate: ubicazione della sezione; profilo topografico.

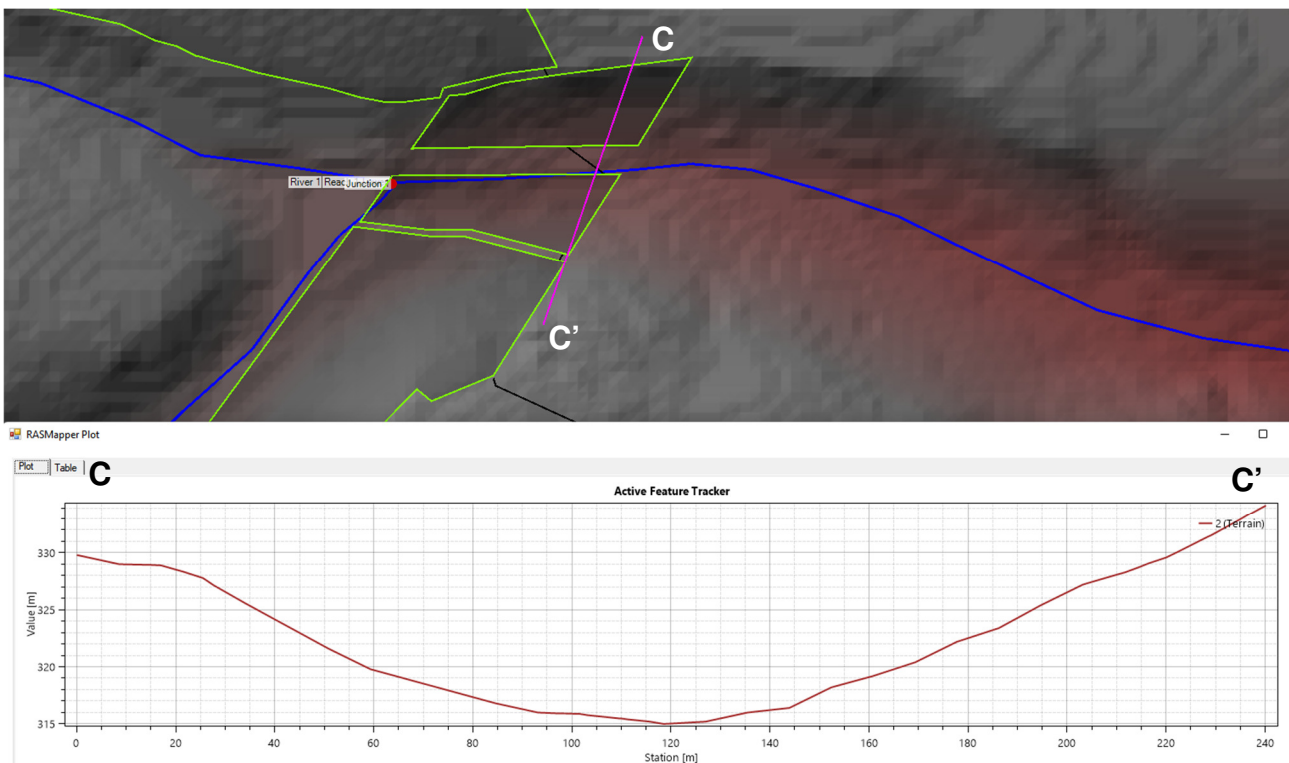


Fig. 19 - Ubicazione e profilo topografico della sezione.

## 12. Conclusioni

Il presente studio idrologico-idraulico è stato realizzato per la verifica delle condizioni di sicurezza idraulica in relazione al progetto di realizzazione dell'impianto SV634. Per la definizione delle aree potenzialmente inondabili, le valutazioni di carattere idrologico ed idraulico sono state eseguite secondo quanto prescritto dalle indicazioni tecniche riportate nella relazione di Piano del PAI Puglia, e nel presente studio sono state articolate nelle seguenti fasi:

- *Fase 1:* individuazione dei bacini idrografici di riferimento entro cui ricade l'area di progetto; georeferenziazione degli elementi ad esso connessi, individuazione delle criticità e pianificazione dei rilievi da effettuarsi;
- *Fase 2:* analisi idrologica applicando le indicazioni delle Norme Tecniche di Attuazione del PAI;
- *Fase 3:* determinazioni dei parametri morfometrici del bacino idrografico e determinazione dei coefficienti CN in condizione II e III mediante l'analisi della carta litologica e dell'uso del suolo dei terreni ricadenti nel bacino idrografico;
- *Fase 4:* determinazione della Portata di piena con tempi di ritorno di 200 anni;
- *Fase 5:* sviluppo ed elaborazione del modello idrologico ed idraulico per lo specifico caso di studio;
- *Fase 6:* sintesi dei risultati ottenuti ed elaborazione della cartografia specifica.

**Dall'analisi emerge che alcune zone del lotto non siano in condizioni di sicurezza idraulica, ed in queste aree non saranno installati i pannelli fotovoltaici, che invece saranno installati nelle zone in sicurezza idraulica non interessate dalla piena duecentennale.**

Per quanto concerne il cavidotto a servizio dell'impianto, completamente interrato per l'intero sviluppo del suo tracciato, saranno osservati i seguenti accorgimenti:

1. Lo scavo sarà eseguito a lotti di lunghezza limitata per ridurre al minimo i tempi in cui lo scavo risulta aperto;
2. Il riempimento sarà realizzato con gli stessi materiali rinvenuti dallo scavo;
3. Nella fase di riempimento sarà ripristinata l'orografia presente *ante operam* al fine di non modificare le attuali condizioni di deflusso superficiale delle acque;
4. In corrispondenza di attraversamenti di corsi d'acqua la profondità di posa del cavidotto sarà attestata a 2.5 metri dalla quota minima dell'alveo (attraversamento n.01, n.02 e n.03 del paragrafo 11.1);
5. Tale profondità di attestazione del cavidotto sarà mantenuta anche in corrispondenza dei tratti del tracciato in aree a pericolosità idraulica.

Le suddette modalità operative per la realizzazione del cavidotto si ritengono idonee ad assicurare un elevato grado di sicurezza in fase di realizzazione dell'opera ed il ripristino dell'orografia *ante operam* non permetterà l'aumento della pericolosità a valle perché le condizioni di deflusso superficiale delle acque saranno preservate e modificate solo ed esclusivamente nel corso, temporalmente limitato, della realizzazione dello scavo e la posa del cavidotto.

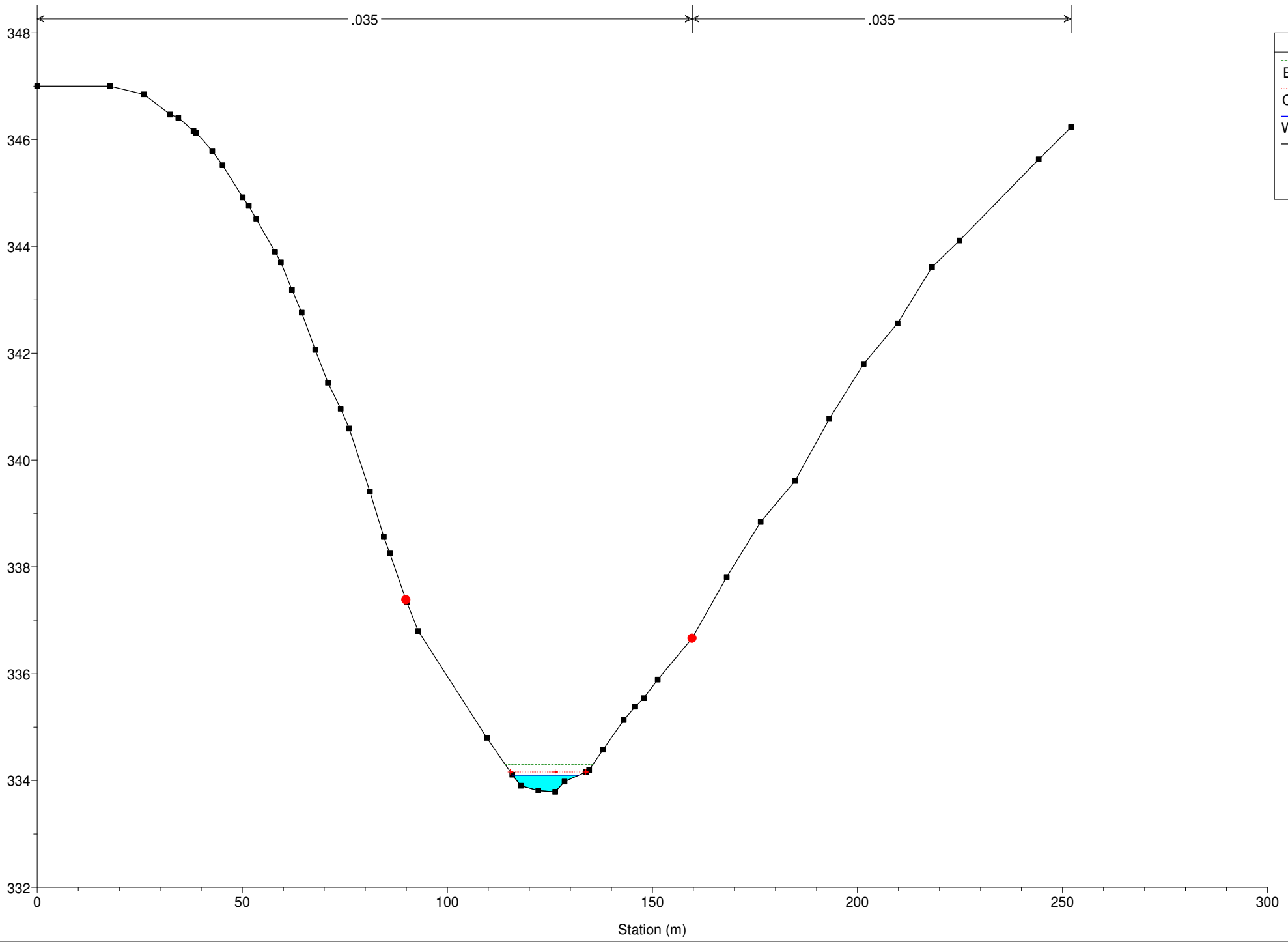
Alberobello, 02.12.2022

Dott. Geol. Giorgio De Giorgio



Tucci\_Flamia\_01 Plan: Plan 01 11/30/2022

River = River 1 Reach = Reach 1 RS = 1701

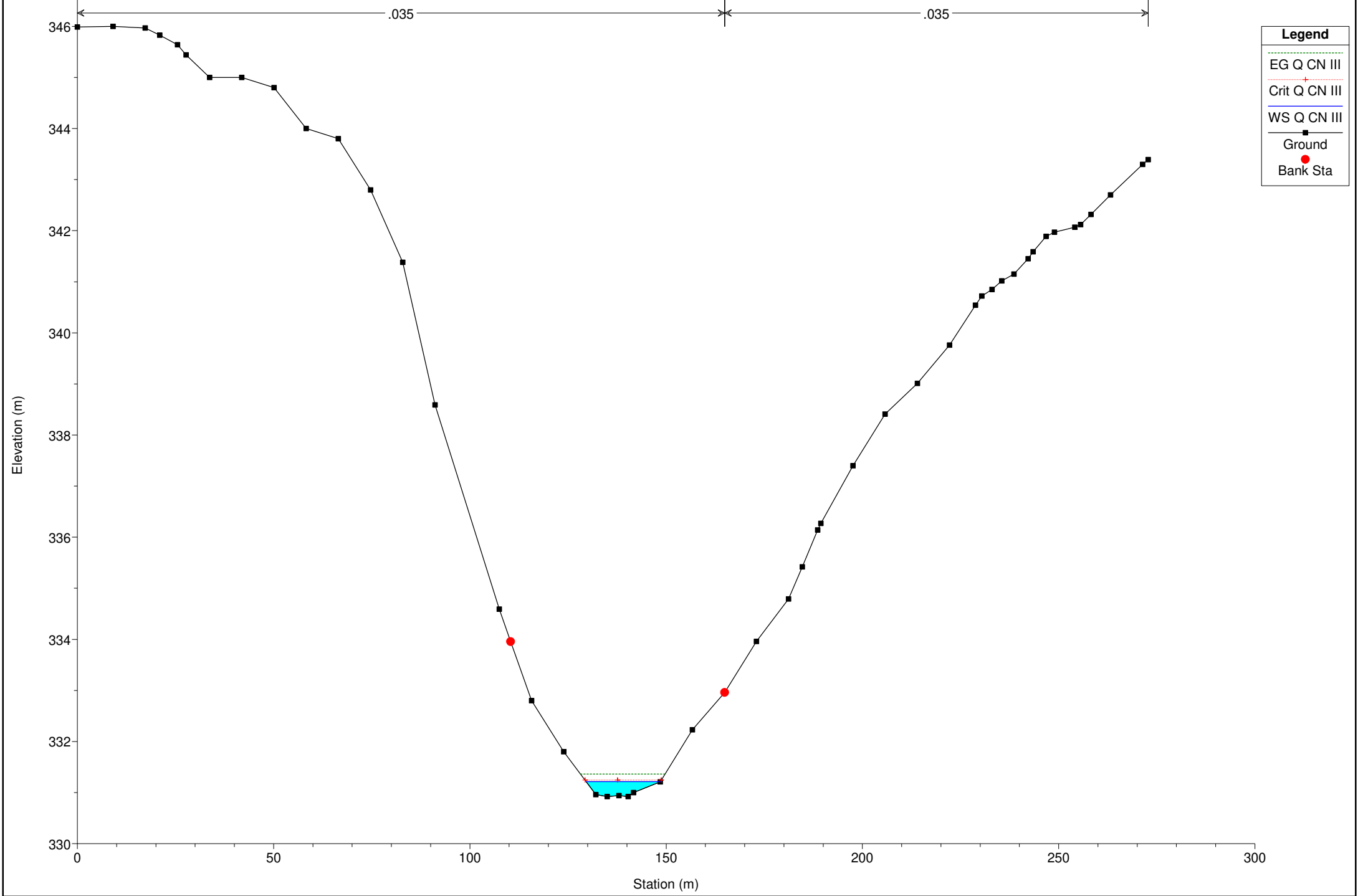


**Legend**

- EG Q CN III
- Crit Q CN III
- WS Q CN III
- Ground
- Bank Sta

Tucci\_Flamia\_01 Plan: Plan 01 11/30/2022

River = River 1 Reach = Reach 1 RS = 1621

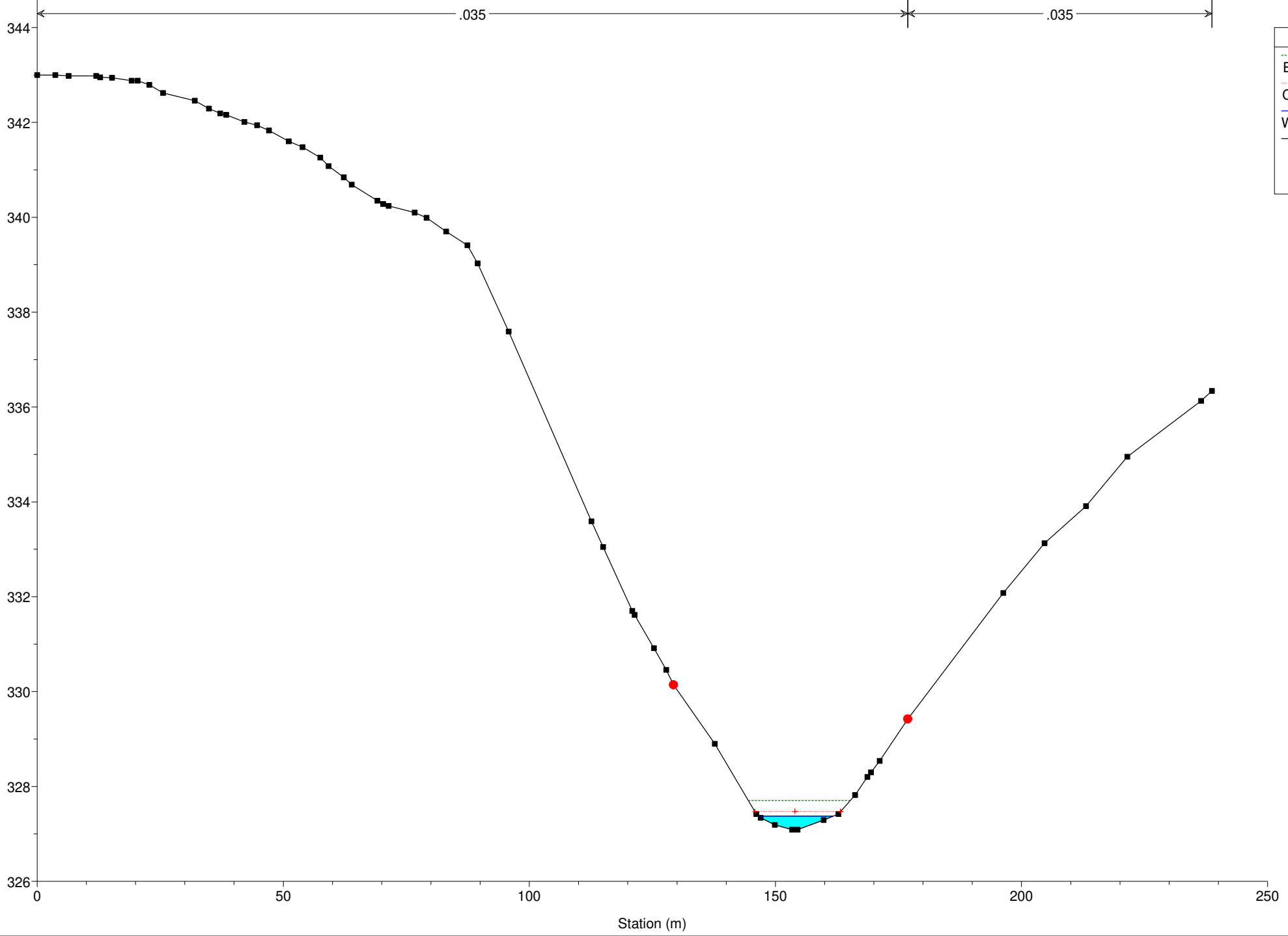


**Legend**

- EG Q CN III
- Crit Q CN III
- WS Q CN III
- Ground
- Bank Sta

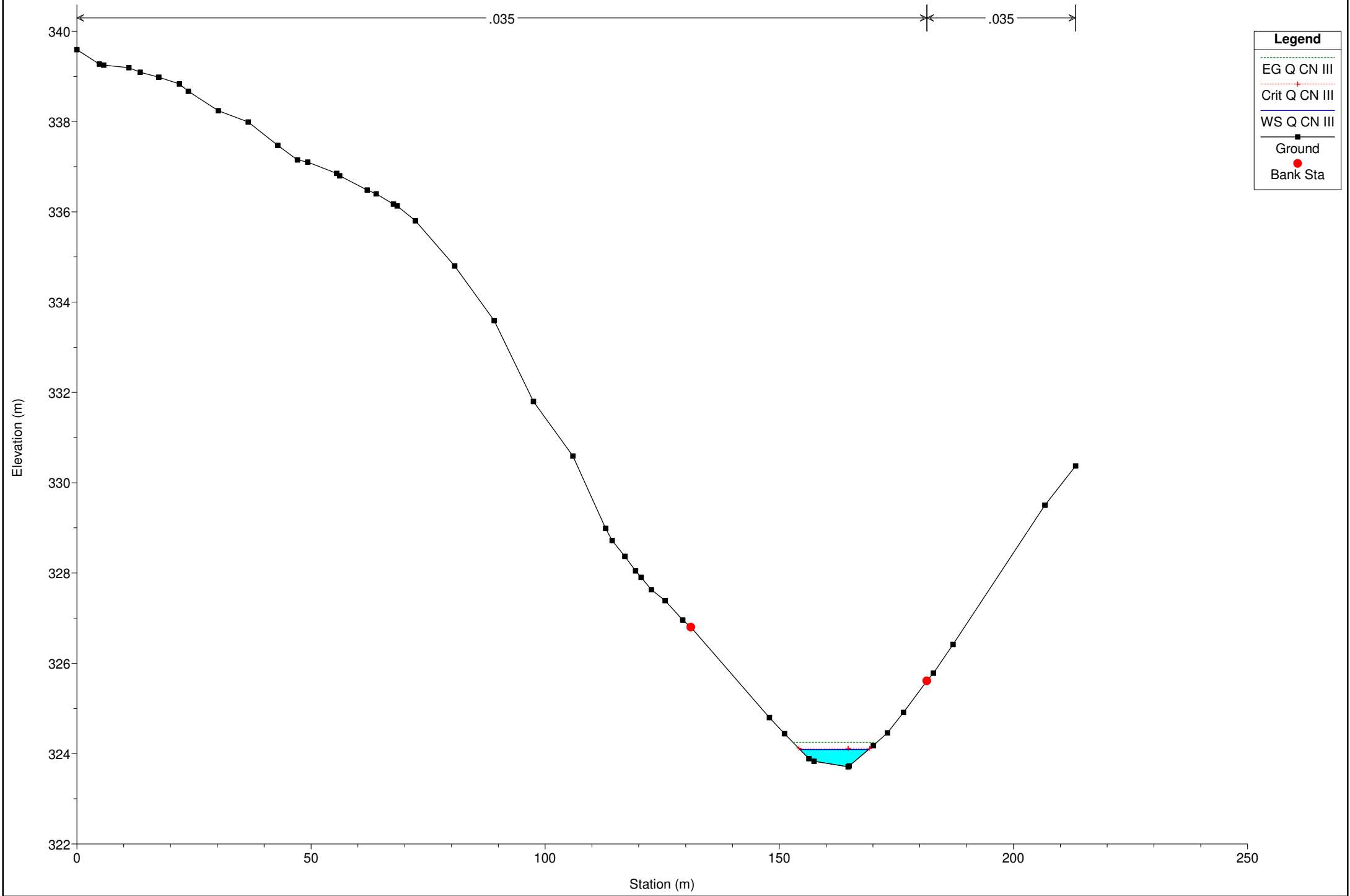
Tucci\_Flamia\_01 Plan: Plan 01 11/30/2022

River = River 1 Reach = Reach 1 RS = 1547



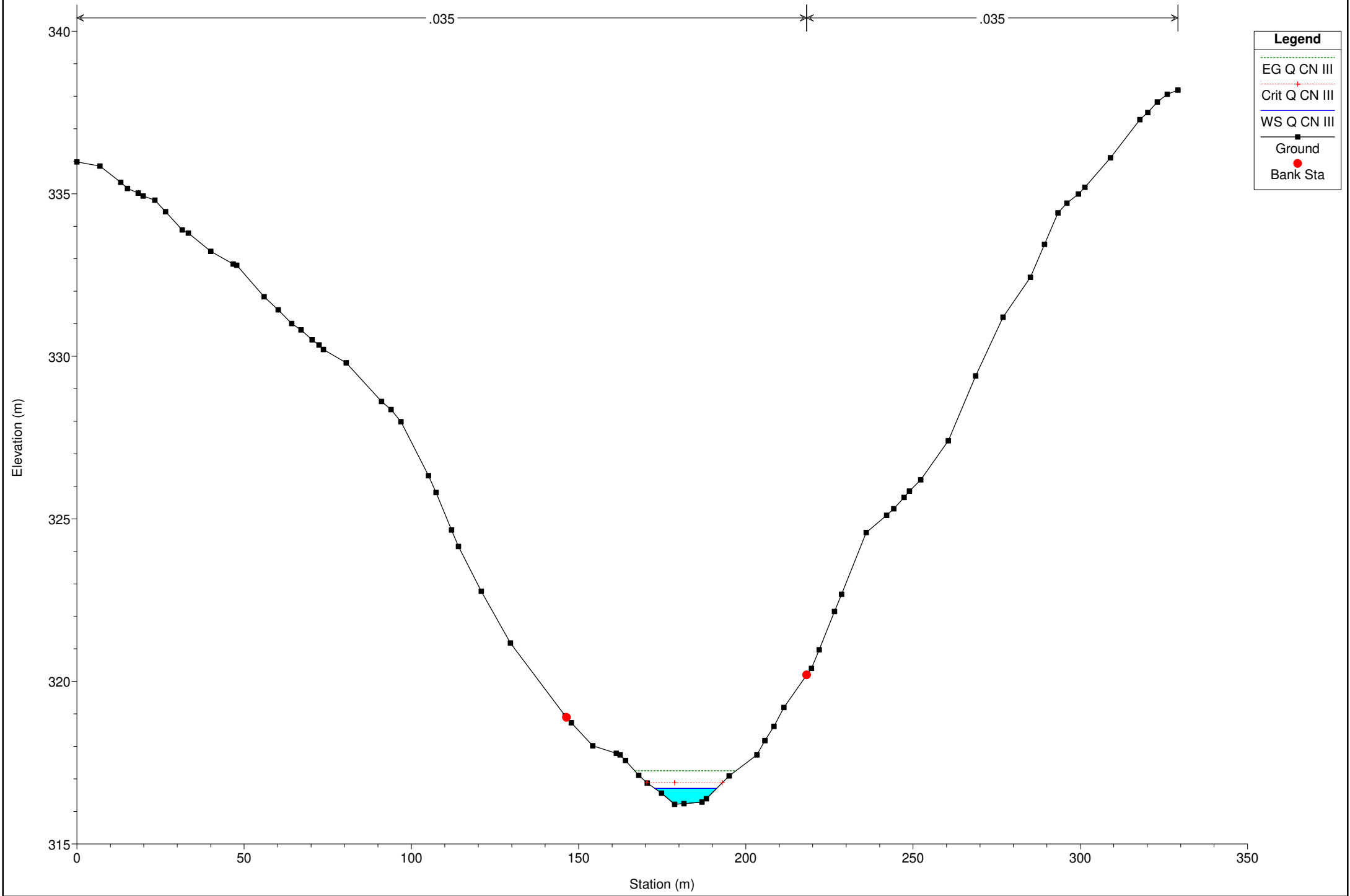
**Legend**

- EG Q CN III
- Crit Q CN III
- WS Q CN III
- Ground
- Bank Sta



**Legend**

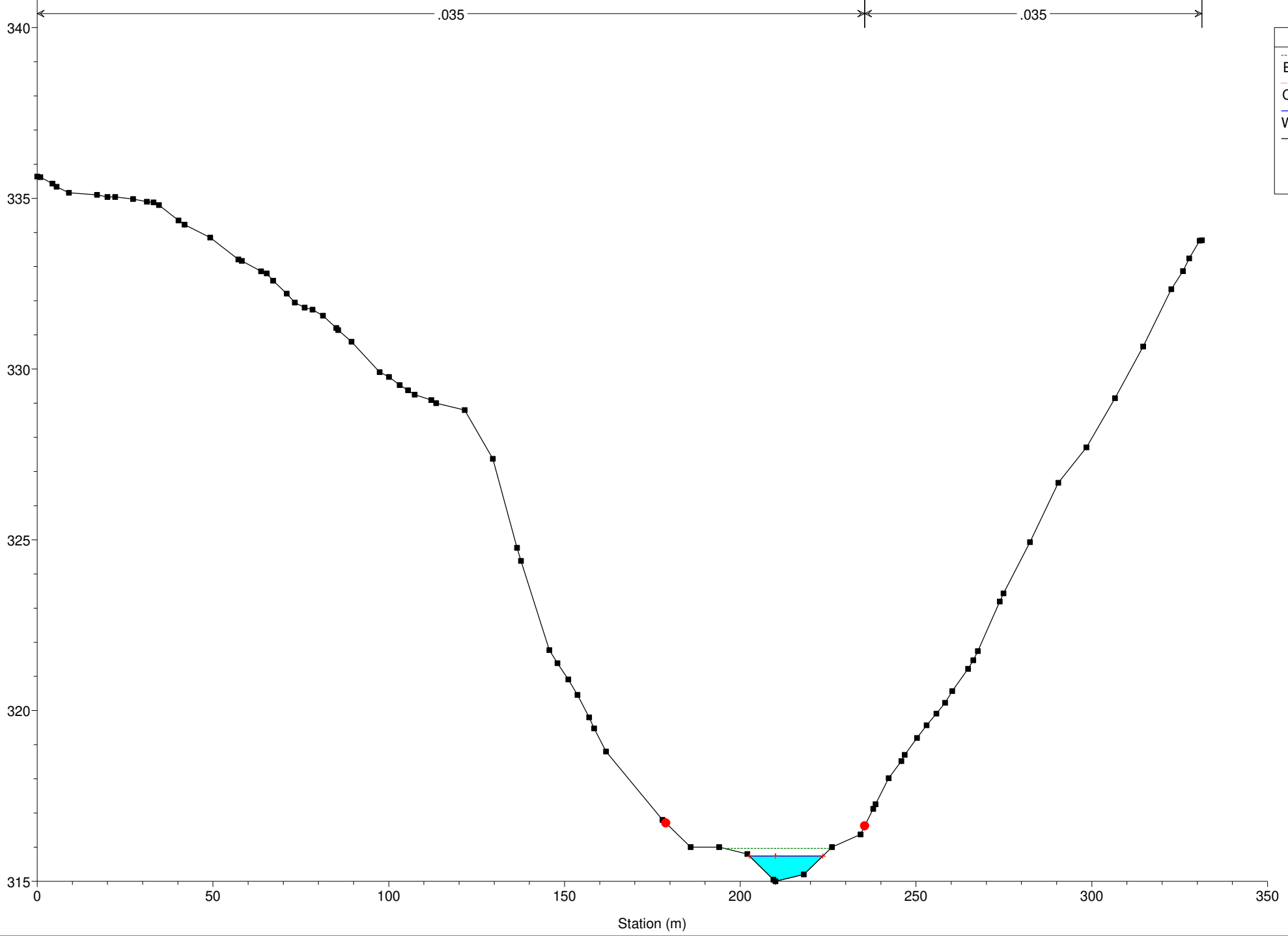
- EG Q CN III
- Crit Q CN III
- WS Q CN III
- Ground
- Bank Sta



**Legend**

- EG Q CN III
- Crit Q CN III
- WS Q CN III
- Ground
- Bank Sta

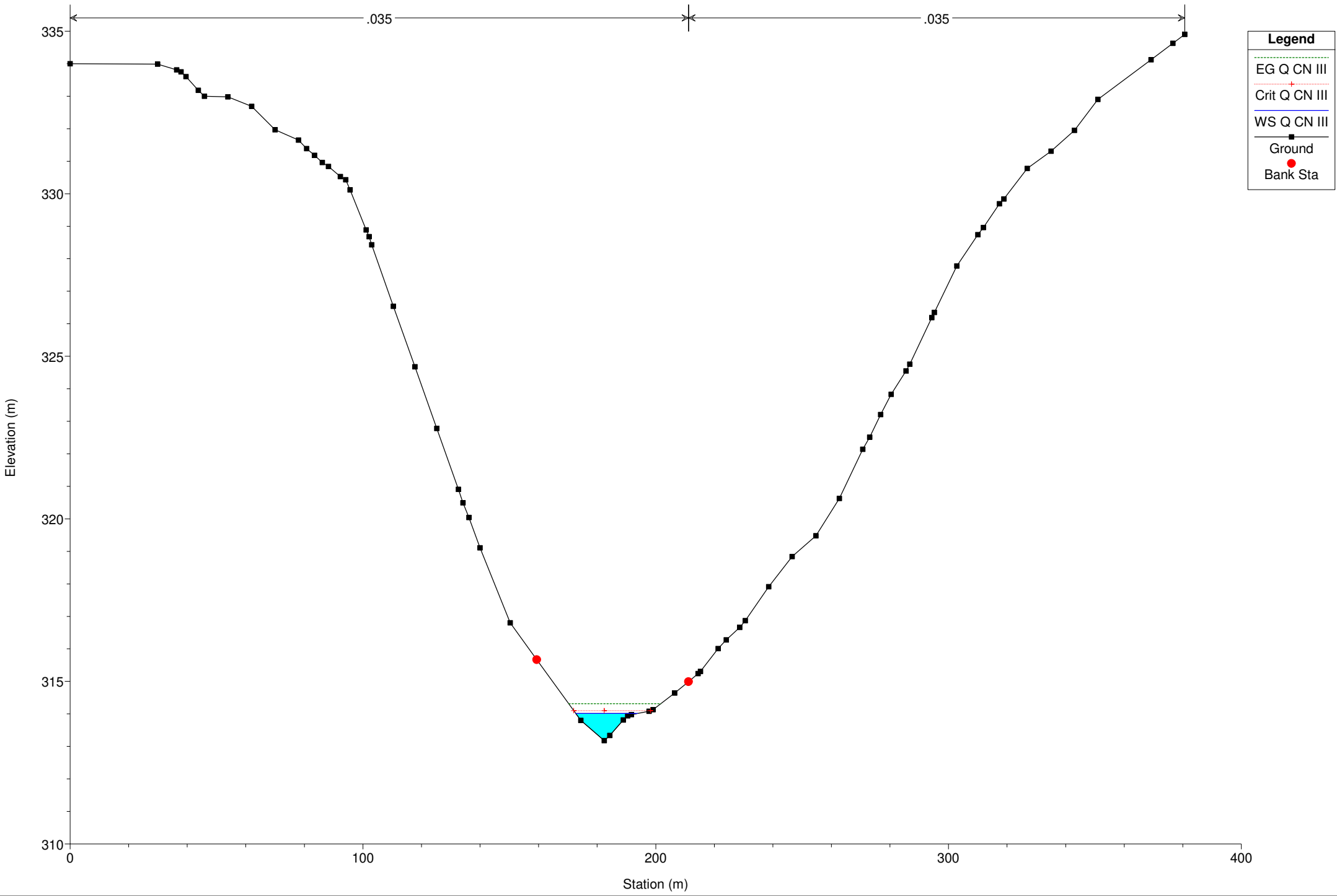
Tucci\_Flamia\_01 Plan: Plan 01 11/30/2022  
River = River 1 Reach = Reach 1-Lower RS = 1162



**Legend**

- EG Q CN III
- Crit Q CN III
- WS Q CN III
- Ground
- Bank Sta

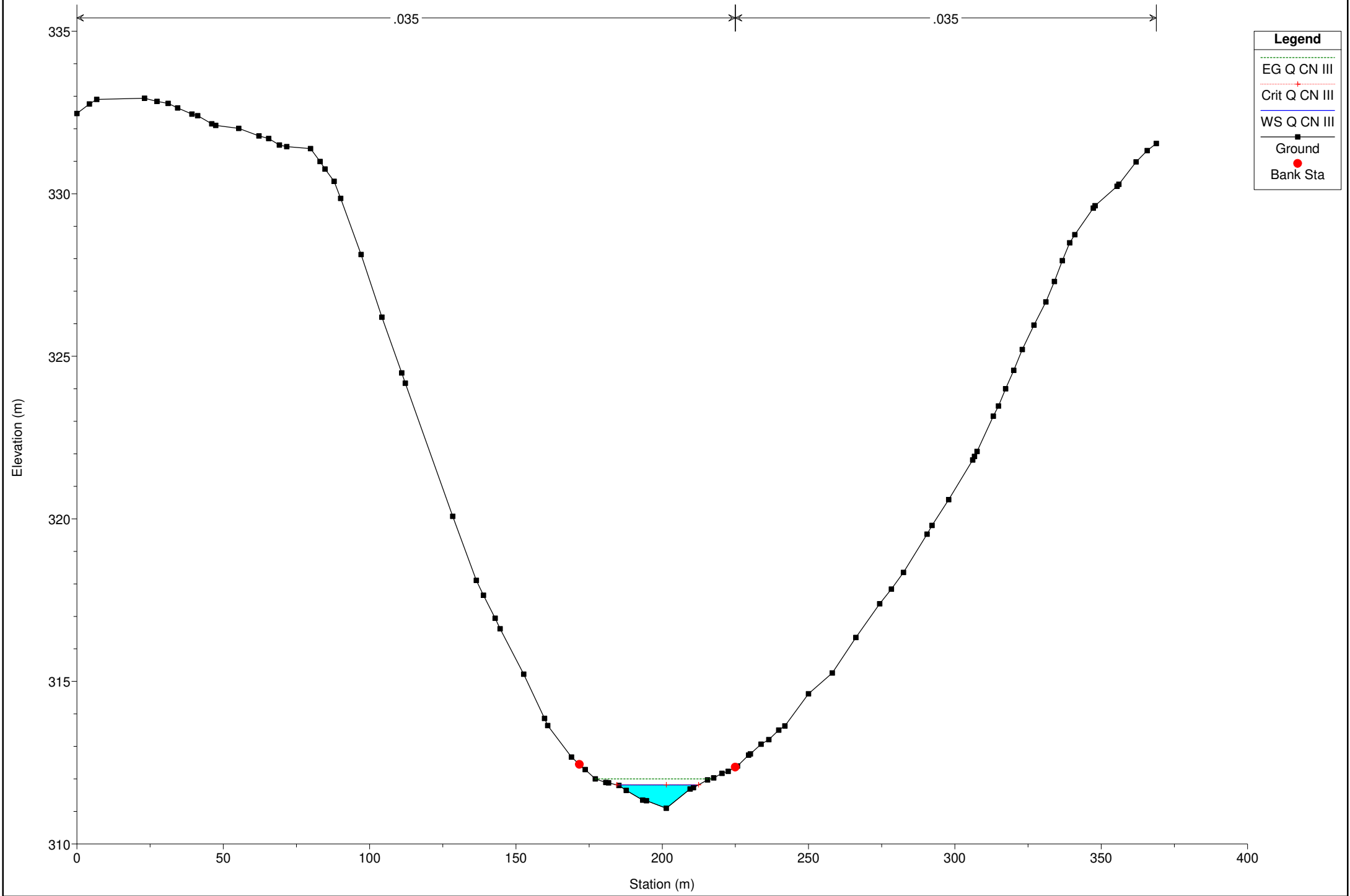
Tucci\_Flamia\_01 Plan: Plan 01 11/30/2022  
River = River 1 Reach = Reach 1-Lower RS = 1080



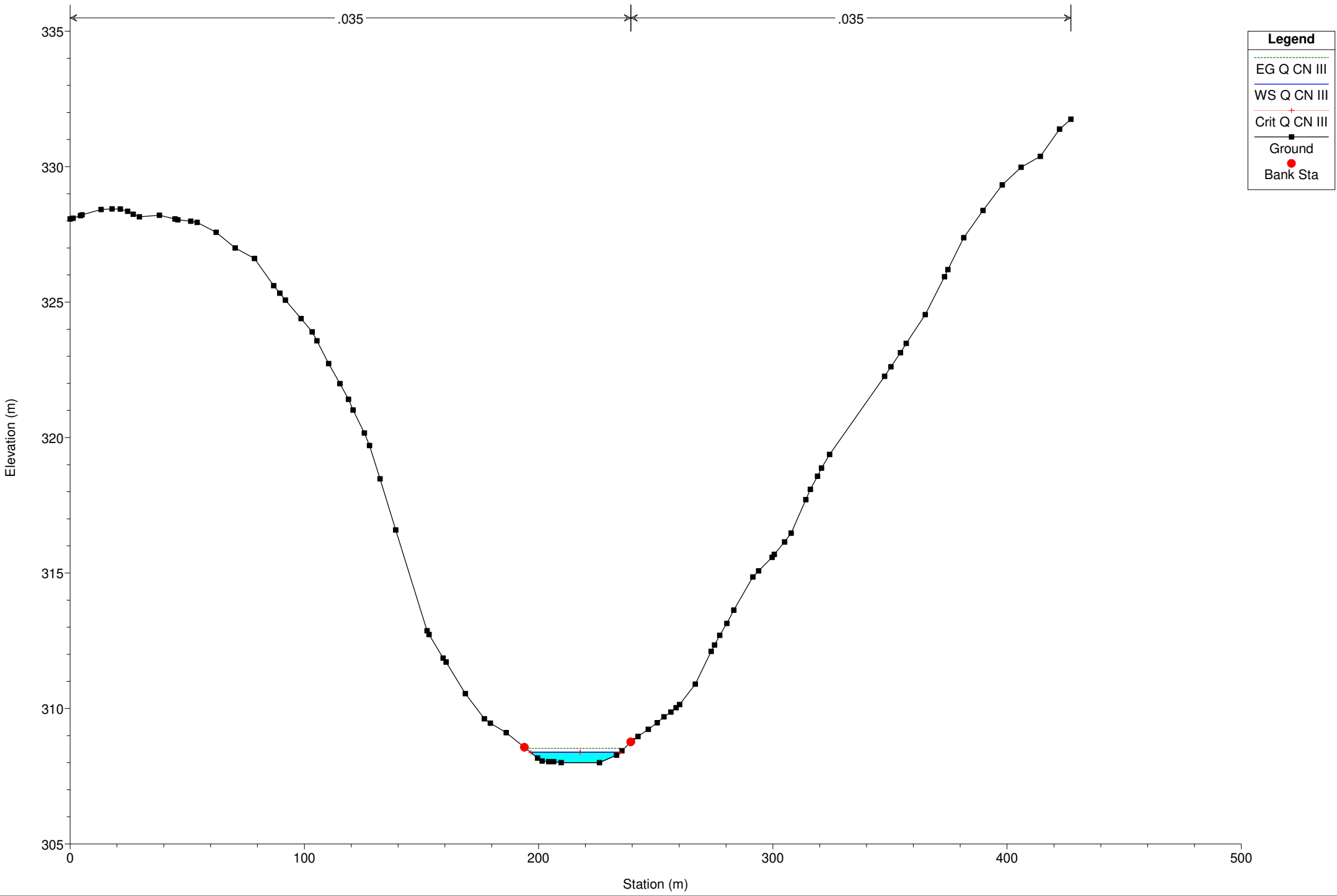
**Legend**

- EG Q CN III
- Crit Q CN III
- WS Q CN III
- Ground
- Bank Sta

Tucci\_Flamia\_01 Plan: Plan 01 11/30/2022  
River = River 1 Reach = Reach 1-Lower RS = 932



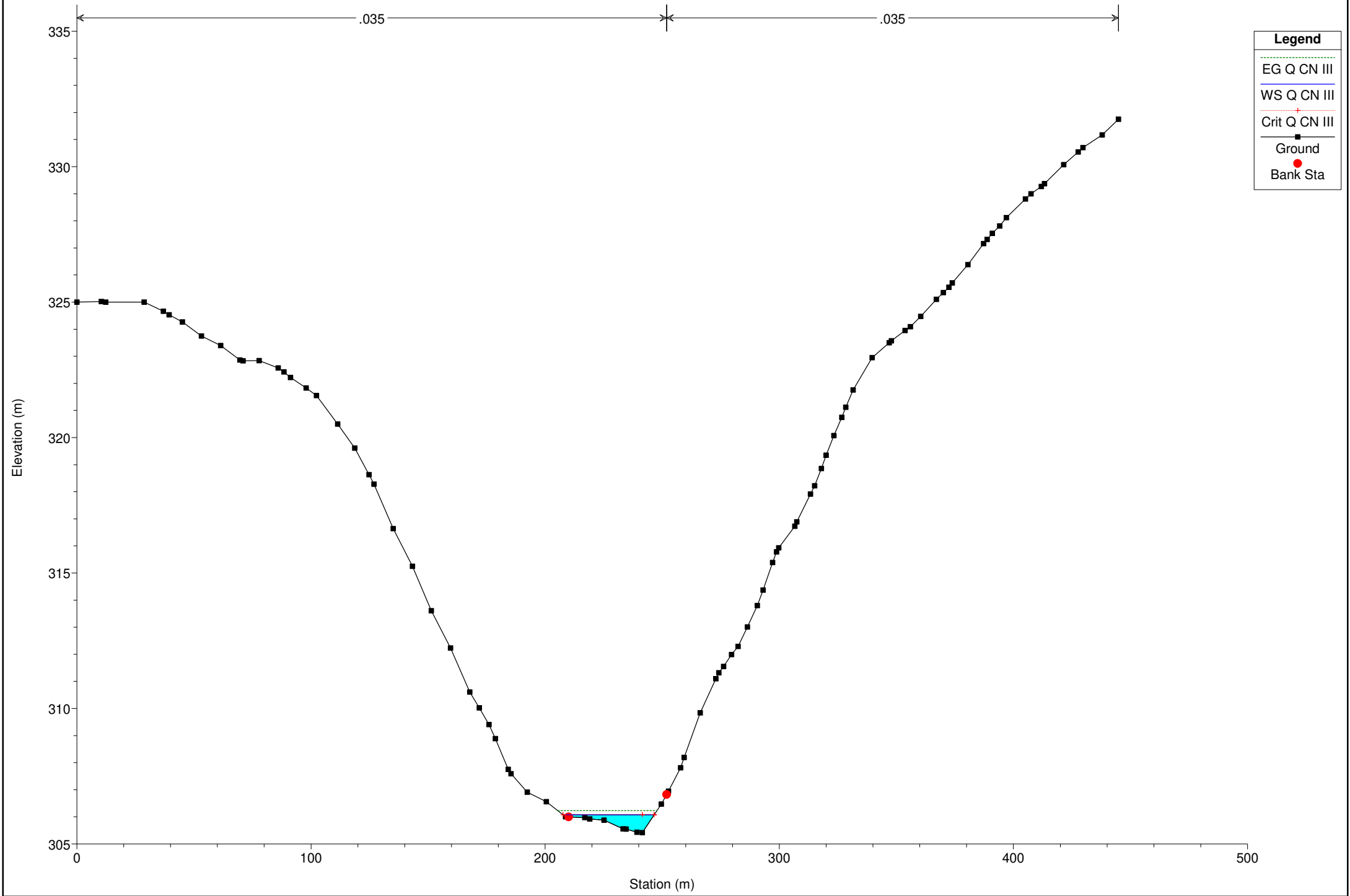
Tucci\_Flamia\_01 Plan: Plan 01 11/30/2022  
River = River 1 Reach = Reach 1-Lower RS = 739



**Legend**

- EG Q CN III
- WS Q CN III
- Crit Q CN III
- Ground
- Bank Sta

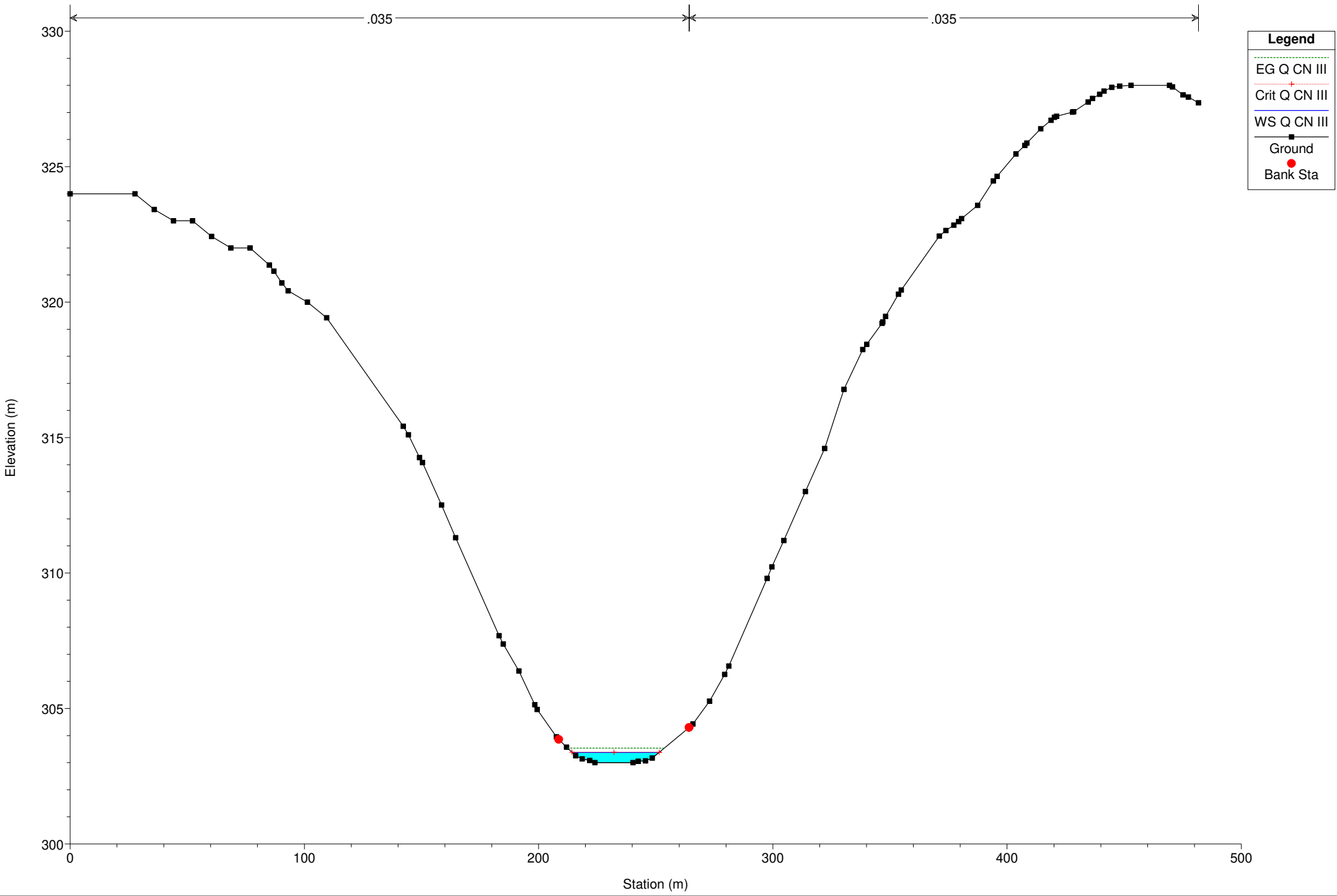
Tucci\_Flamia\_01 Plan: Plan 01 11/30/2022  
River = River 1 Reach = Reach 1-Lower RS = 601

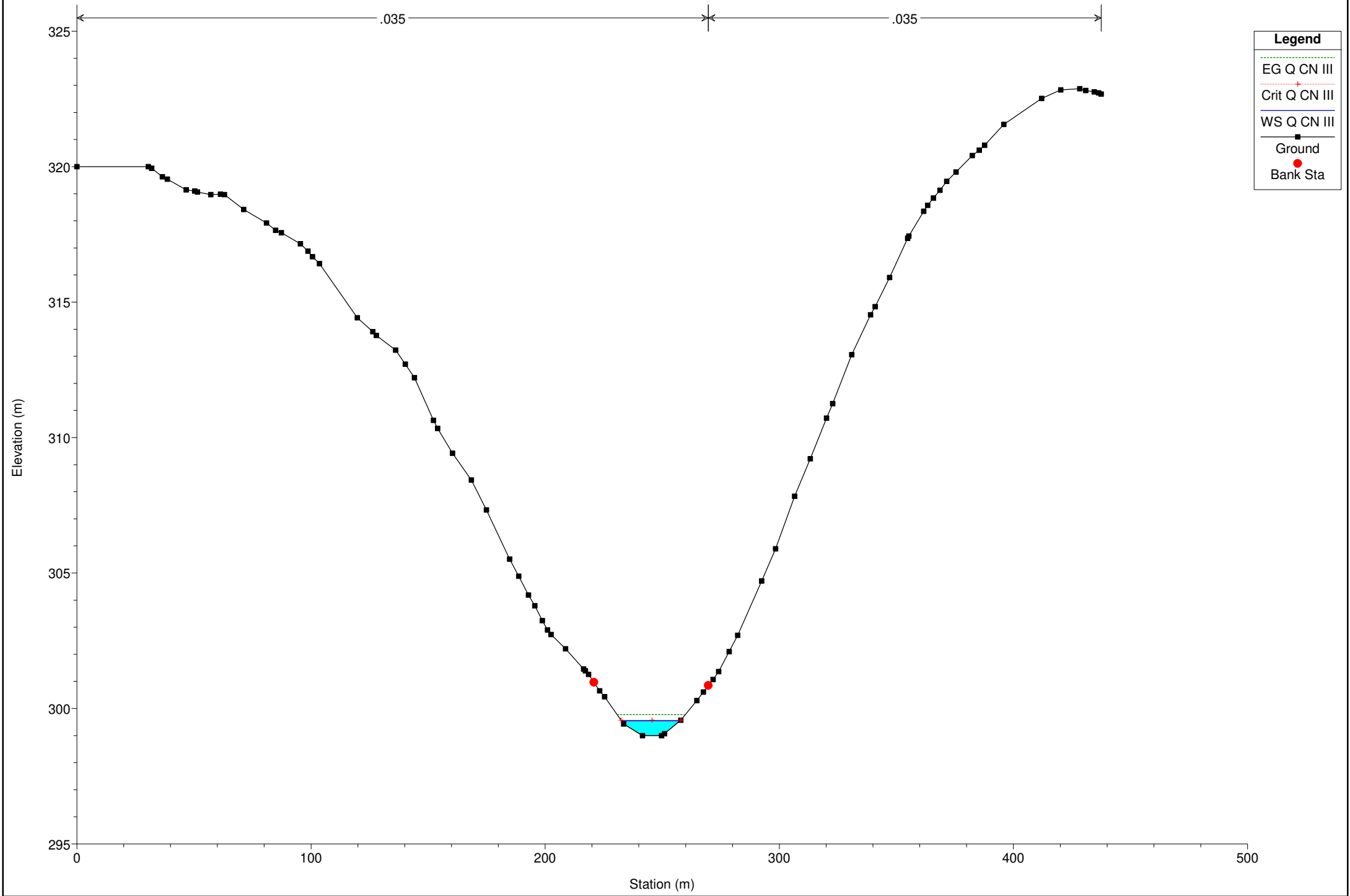


**Legend**

- EG Q CN III
- WS Q CN III
- Crit Q CN III
- Ground
- Bank Sta

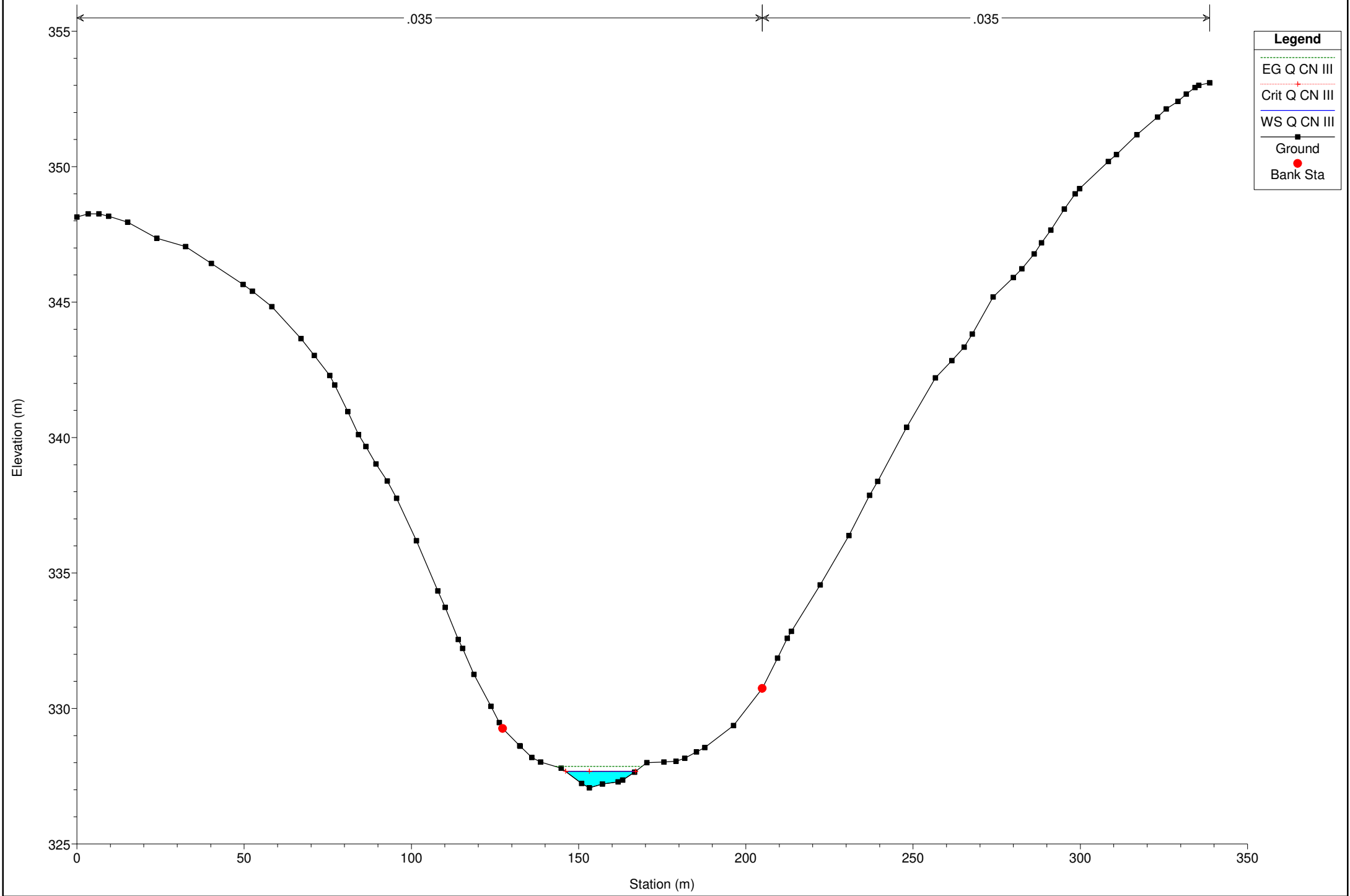
Tucci\_Flamia\_01 Plan: Plan 01 11/30/2022  
River = River 1 Reach = Reach 1-Lower RS = 454





Tucci\_Flamia\_01 Plan: Plan 01 11/30/2022

River = River 2 Reach = Reach 2 RS = 438

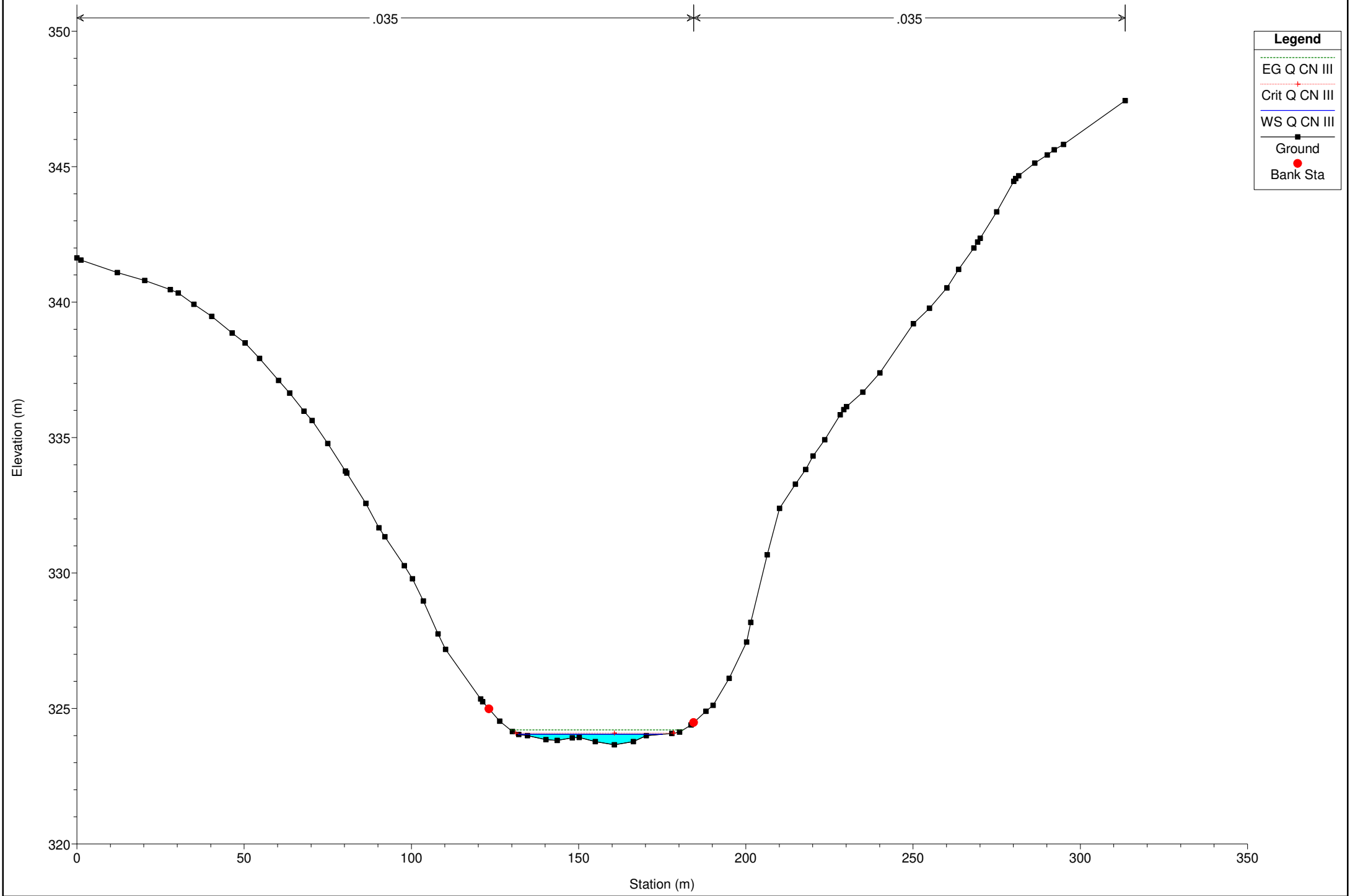


**Legend**

- EG Q CN III
- Crit Q CN III
- WS Q CN III
- Ground
- Bank Sta

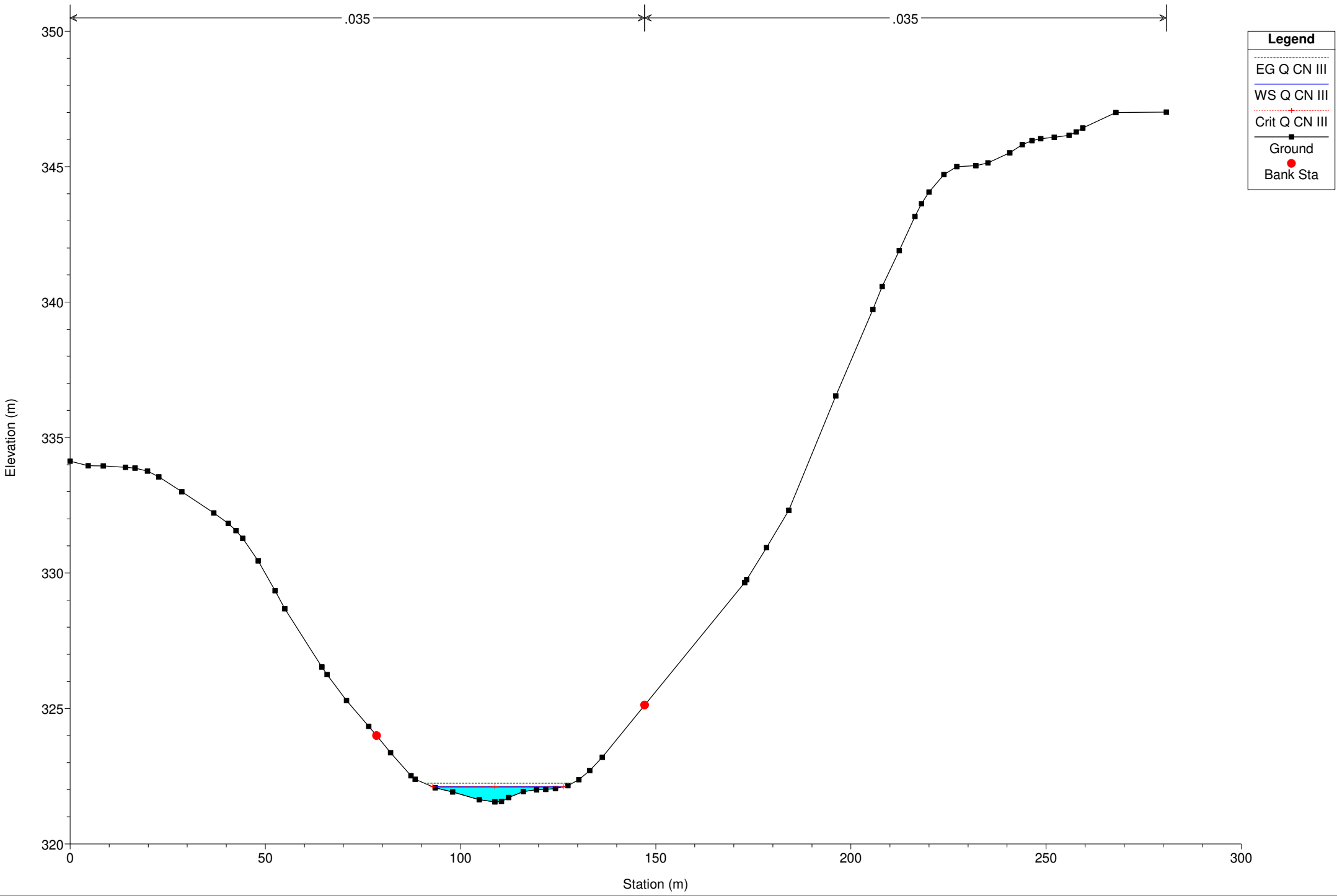
Tucci\_Flamia\_01 Plan: Plan 01 11/30/2022

River = River 2 Reach = Reach 2 RS = 288



Tucci\_Flamia\_01 Plan: Plan 01 11/30/2022

River = River 2 Reach = Reach 2 RS = 174

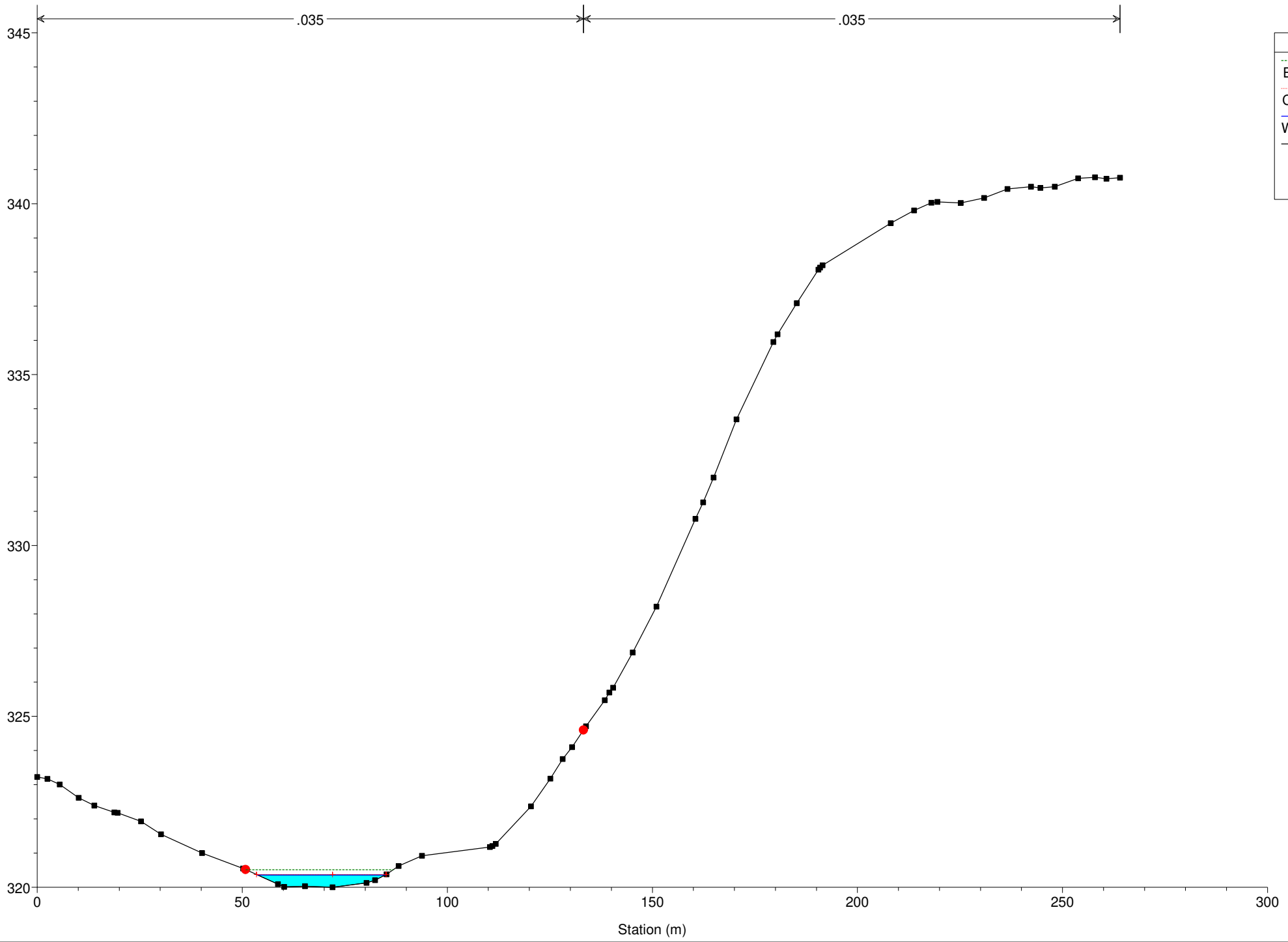


**Legend**

- EG Q CN III (dashed green line)
- WS Q CN III (solid blue line)
- Crit Q CN III (dotted red line)
- Ground (solid black line with square markers)
- Bank Sta (red circle)

Tucci\_Flamia\_01 Plan: Plan 01 11/30/2022

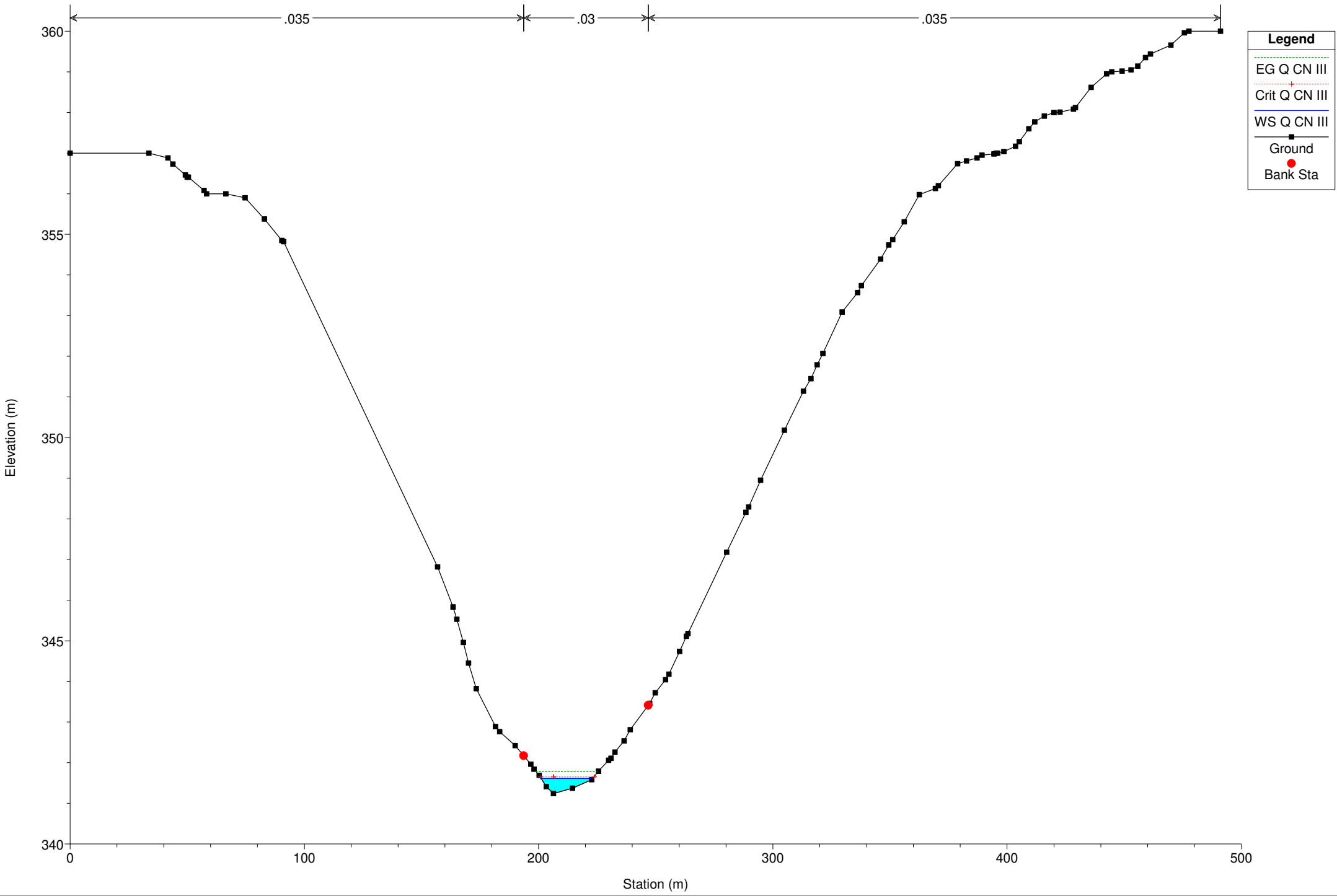
River = River 2 Reach = Reach 2 RS = 89



**Legend**

- EG Q CN III
- Crit Q CN III
- WS Q CN III
- Ground
- Bank Sta

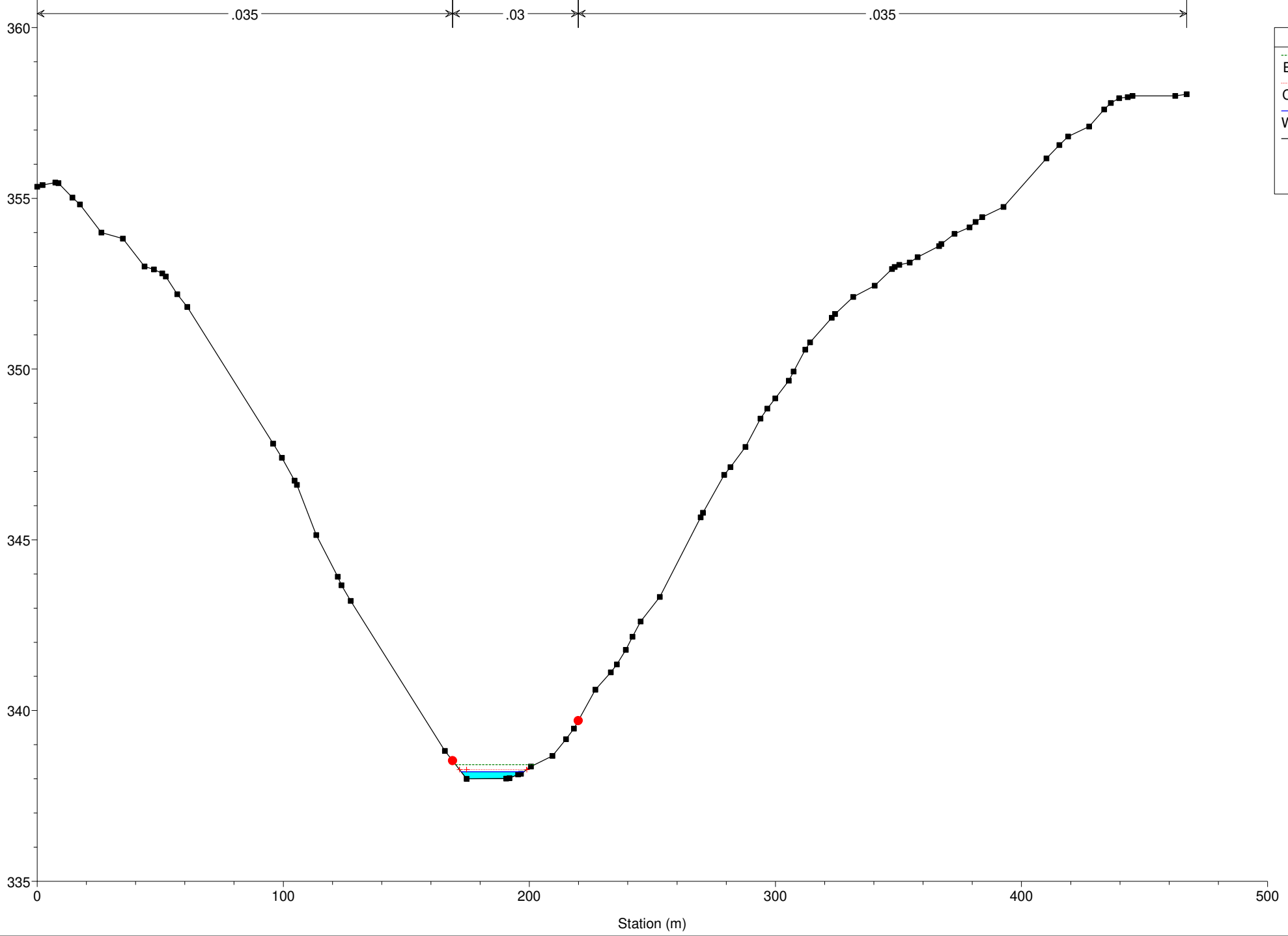
Tucci\_Flamia\_01 Plan: Plan 01 11/30/2022  
River = River 3 Reach = Reach 3 RS = 1852



**Legend**

- EG Q CN III
- Crit Q CN III
- WS Q CN III
- Ground
- Bank Sta

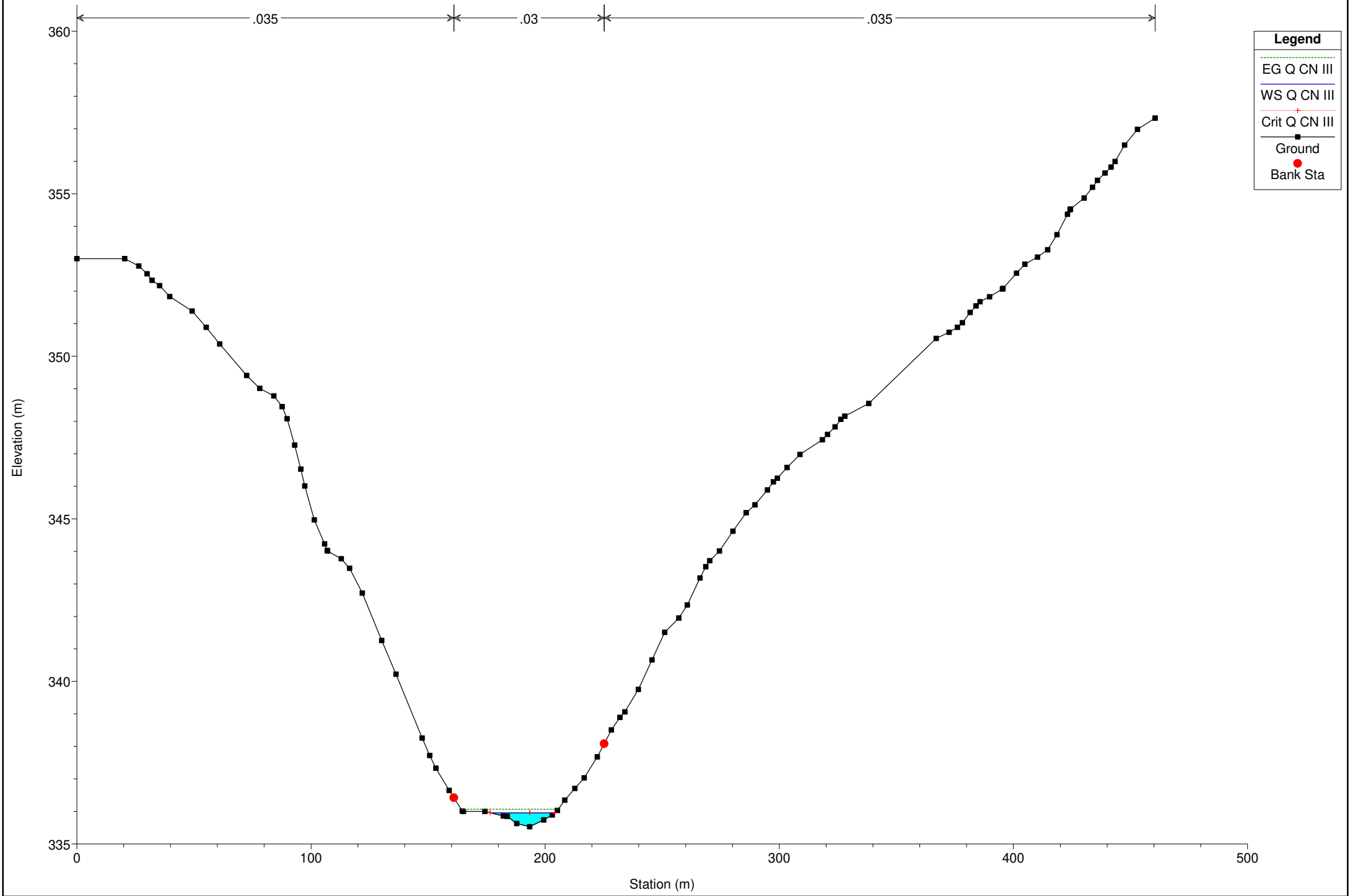
Tucci\_Flamia\_01 Plan: Plan 01 11/30/2022  
River = River 3 Reach = Reach 3 RS = 1741



**Legend**

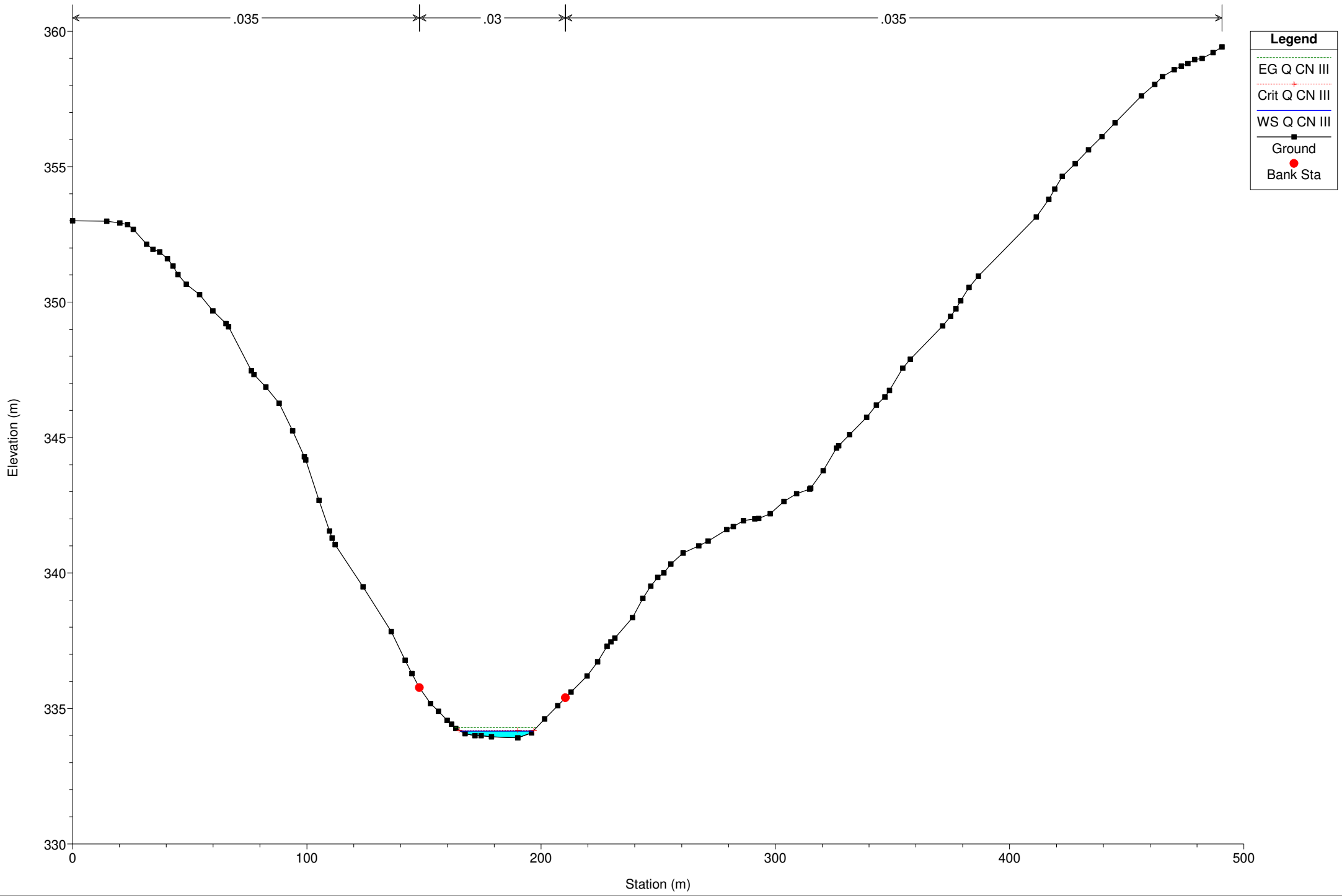
- EG Q CN III (dotted green line)
- Crit Q CN III (dotted red line)
- WS Q CN III (solid blue line)
- Ground (black squares)
- Bank Sta (red circle)

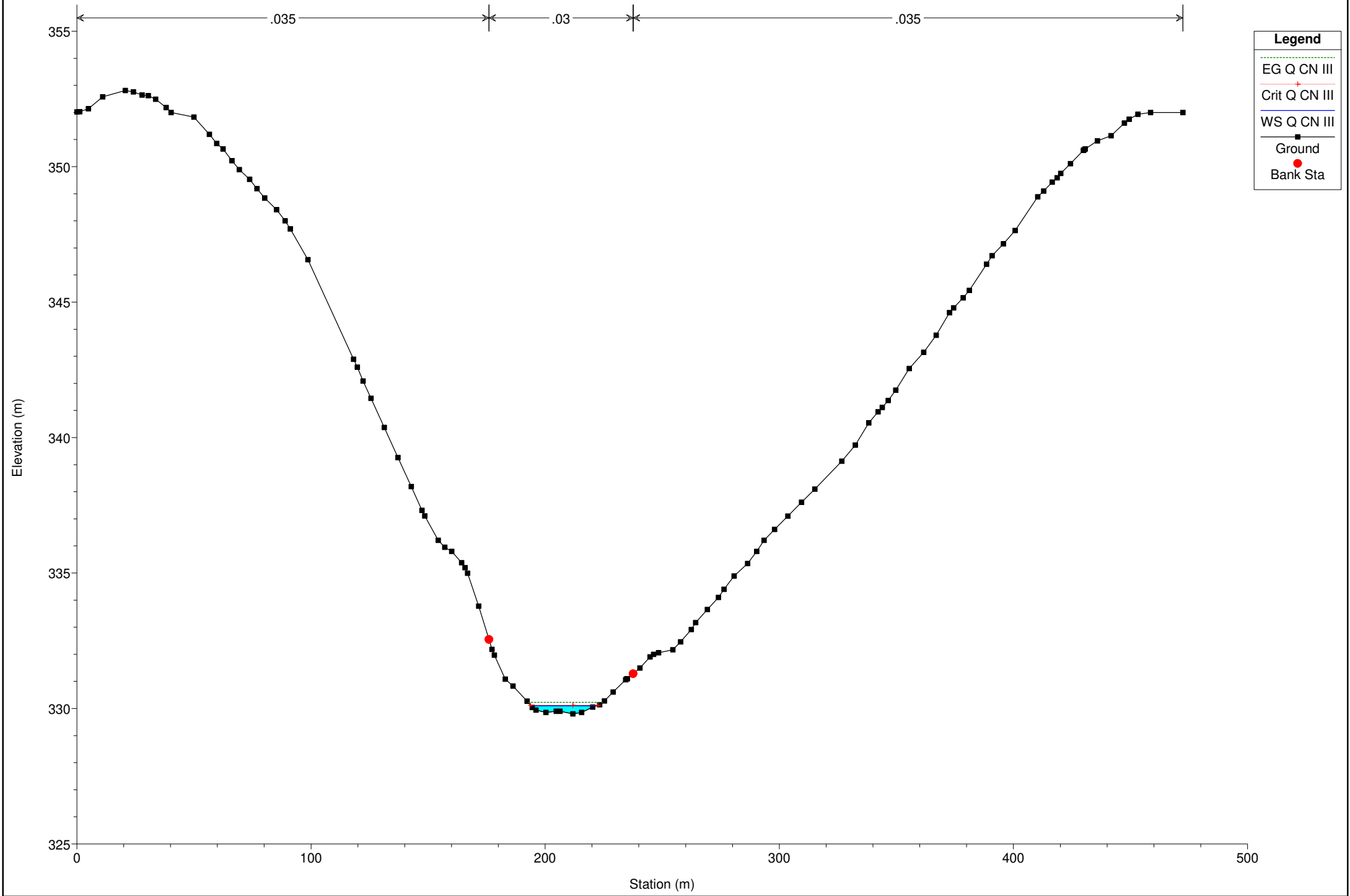
Tucci\_Flamia\_01 Plan: Plan 01 11/30/2022  
River = River 3 Reach = Reach 3 RS = 1632



Tucci\_Flamia\_01 Plan: Plan 01 11/30/2022

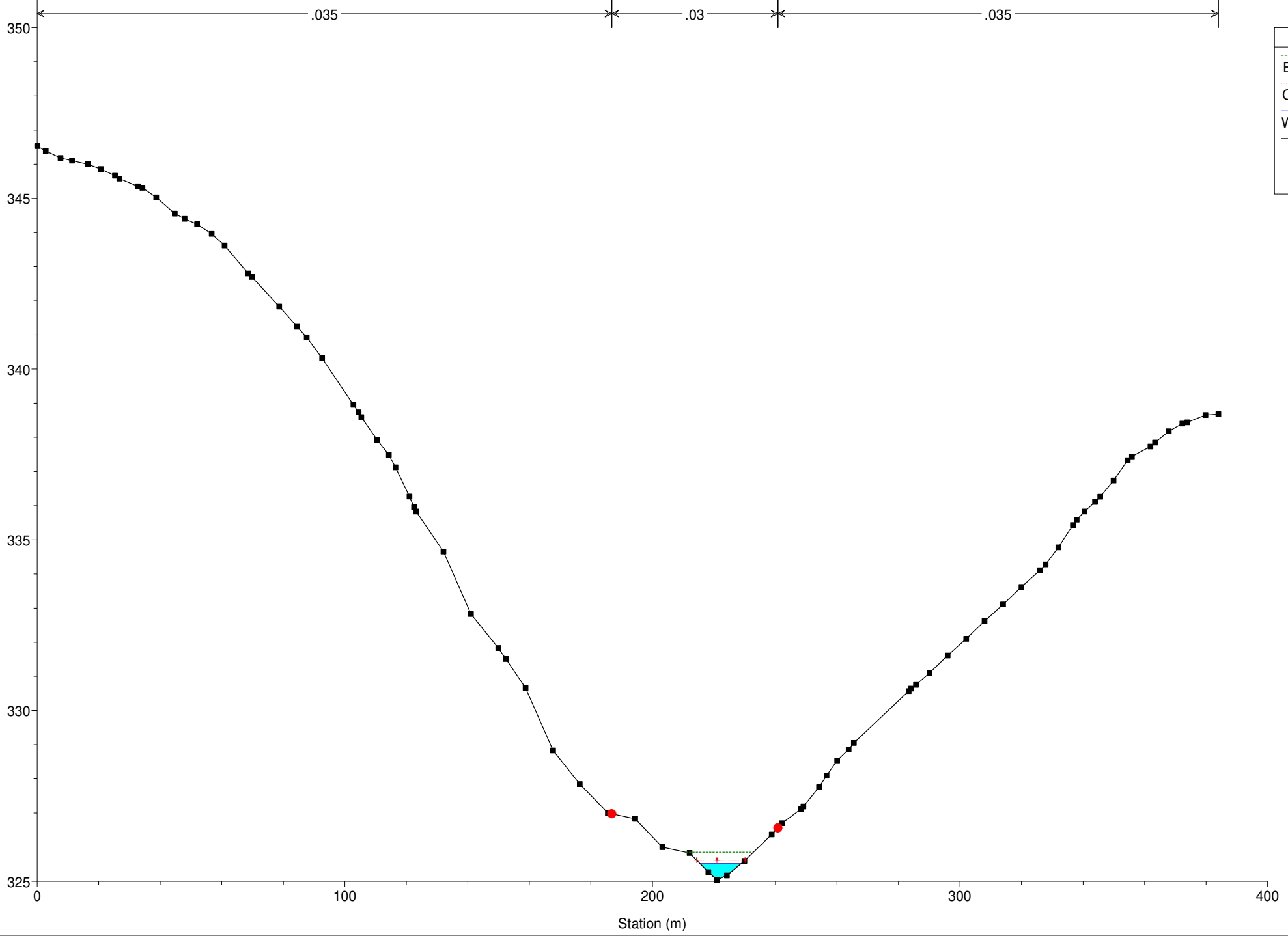
River = River 3 Reach = Reach 3 RS = 1536





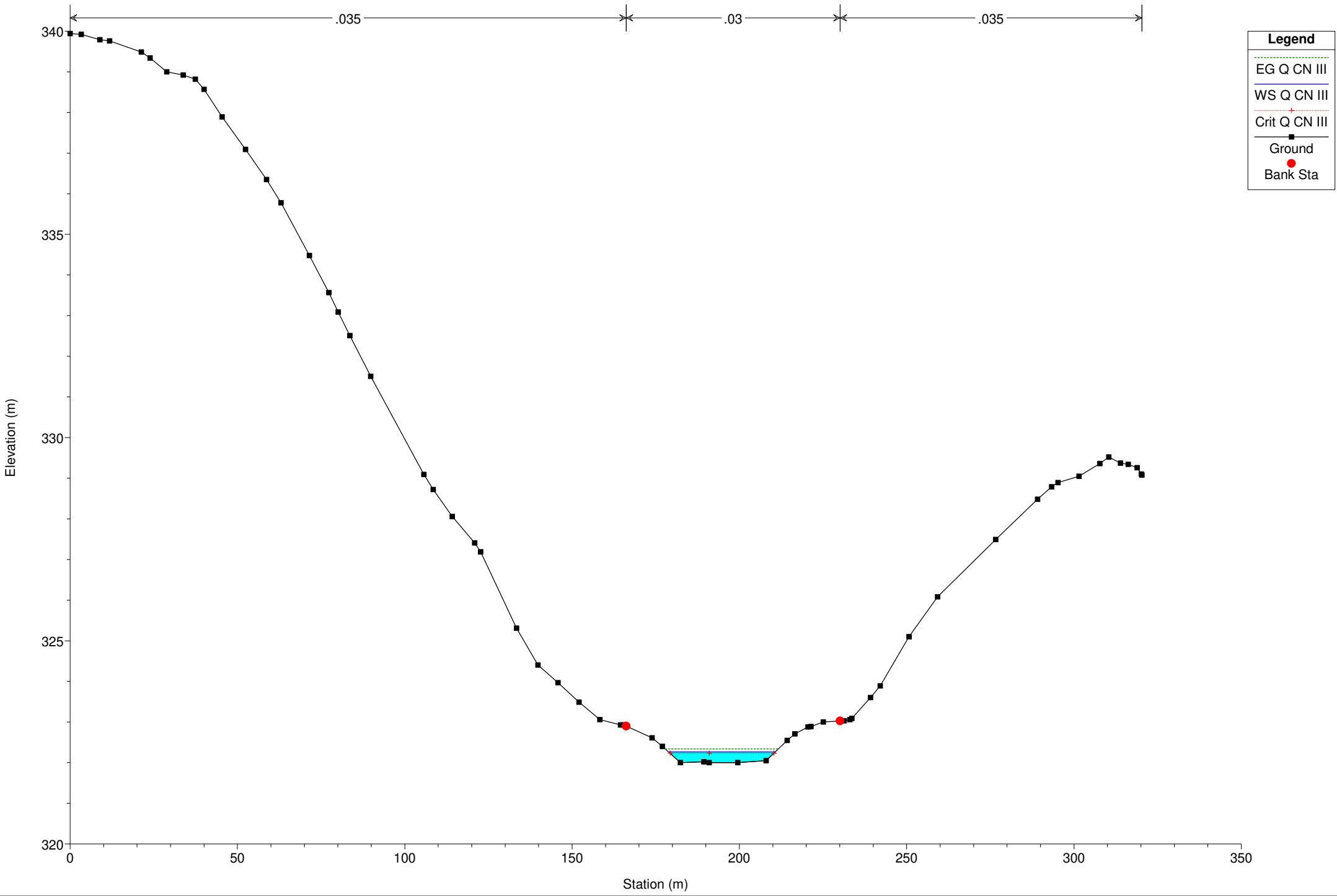
Tucci\_Flamia\_01 Plan: Plan 01 11/30/2022

River = River 3 Reach = Reach 3 RS = 1182



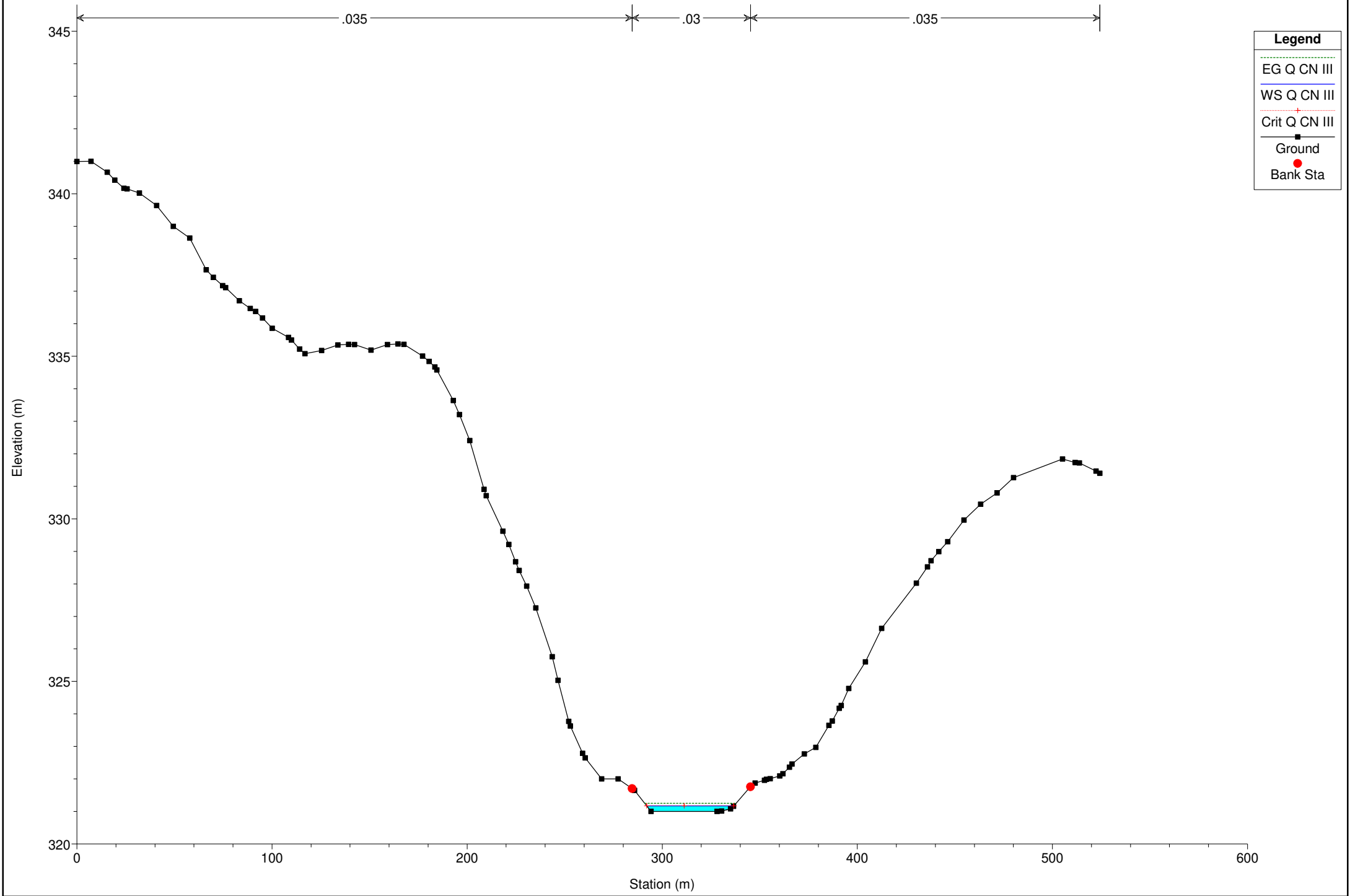
**Legend**

- EG Q CN III
- Crit Q CN III
- WS Q CN III
- Ground
- Bank Sta



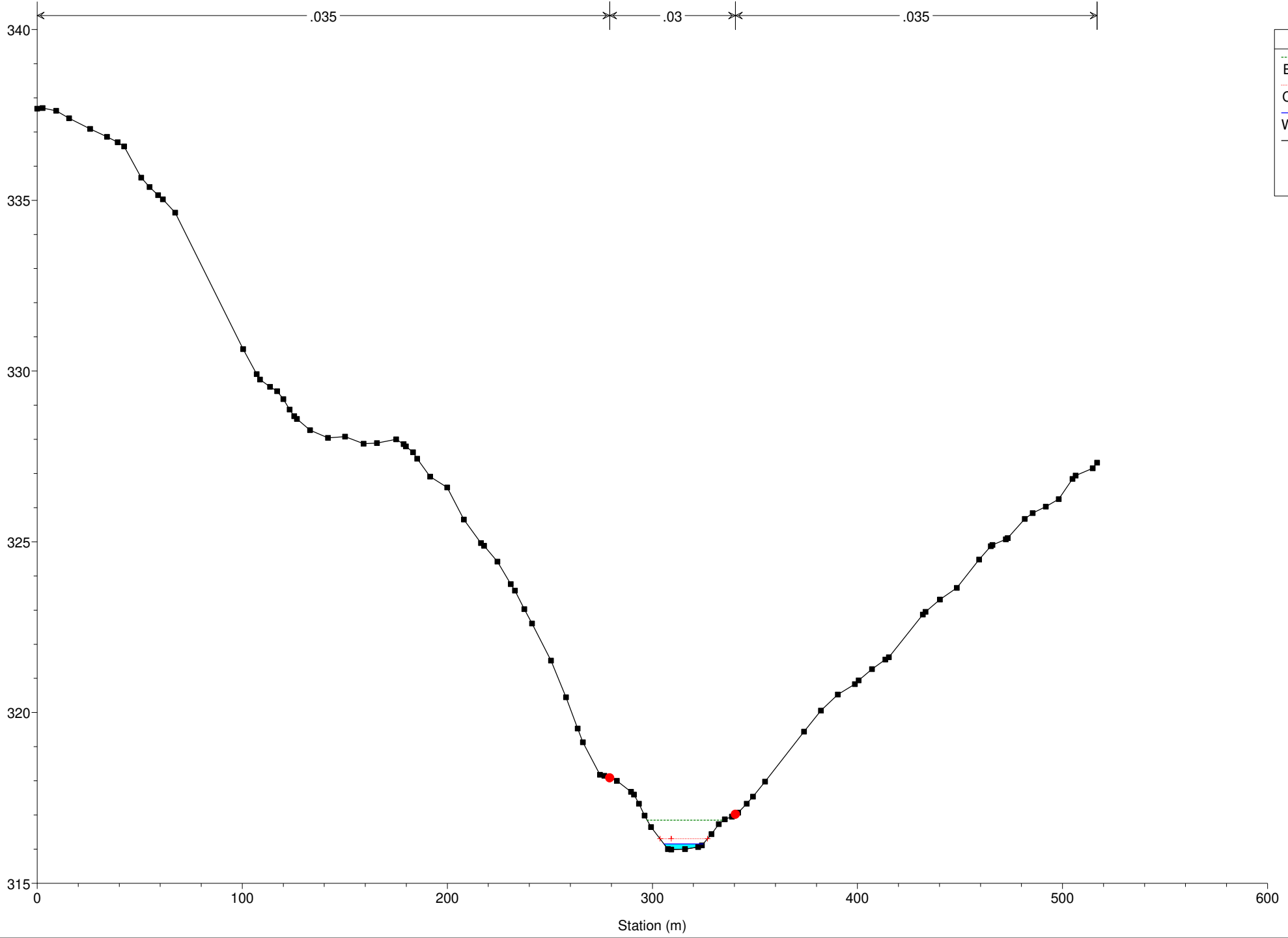
**Legend**

- EG Q CN III
- WS Q CN III
- Crit Q CN III
- Ground
- Bank Sta



Tucci\_Flamia\_01 Plan: Plan 01 11/30/2022

River = River 3 Reach = Reach 3 RS = 839

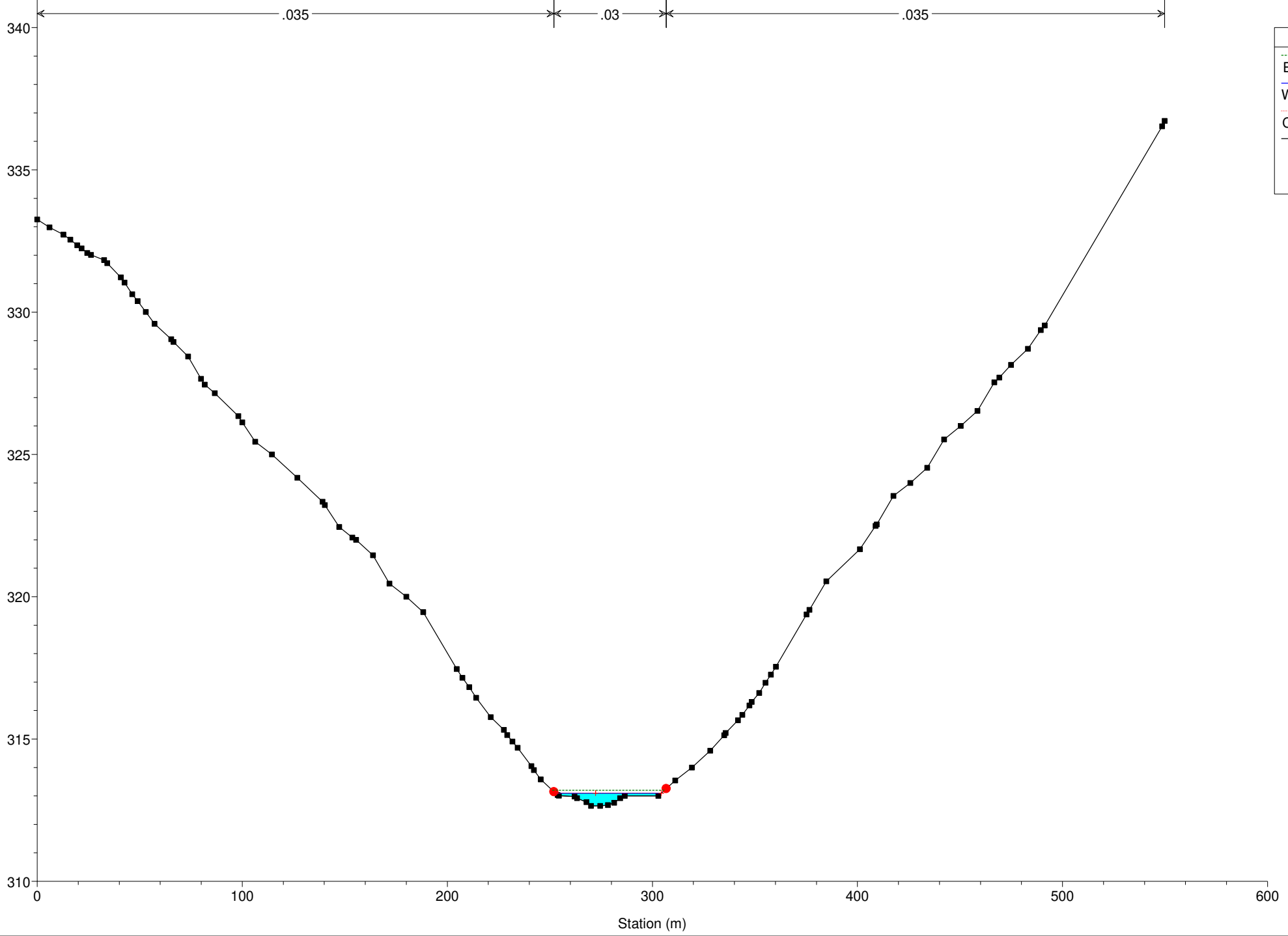


**Legend**

- EG Q CN III
- Crit Q CN III
- WS Q CN III
- Ground
- Bank Sta

Tucci\_Flamia\_01 Plan: Plan 01 11/30/2022

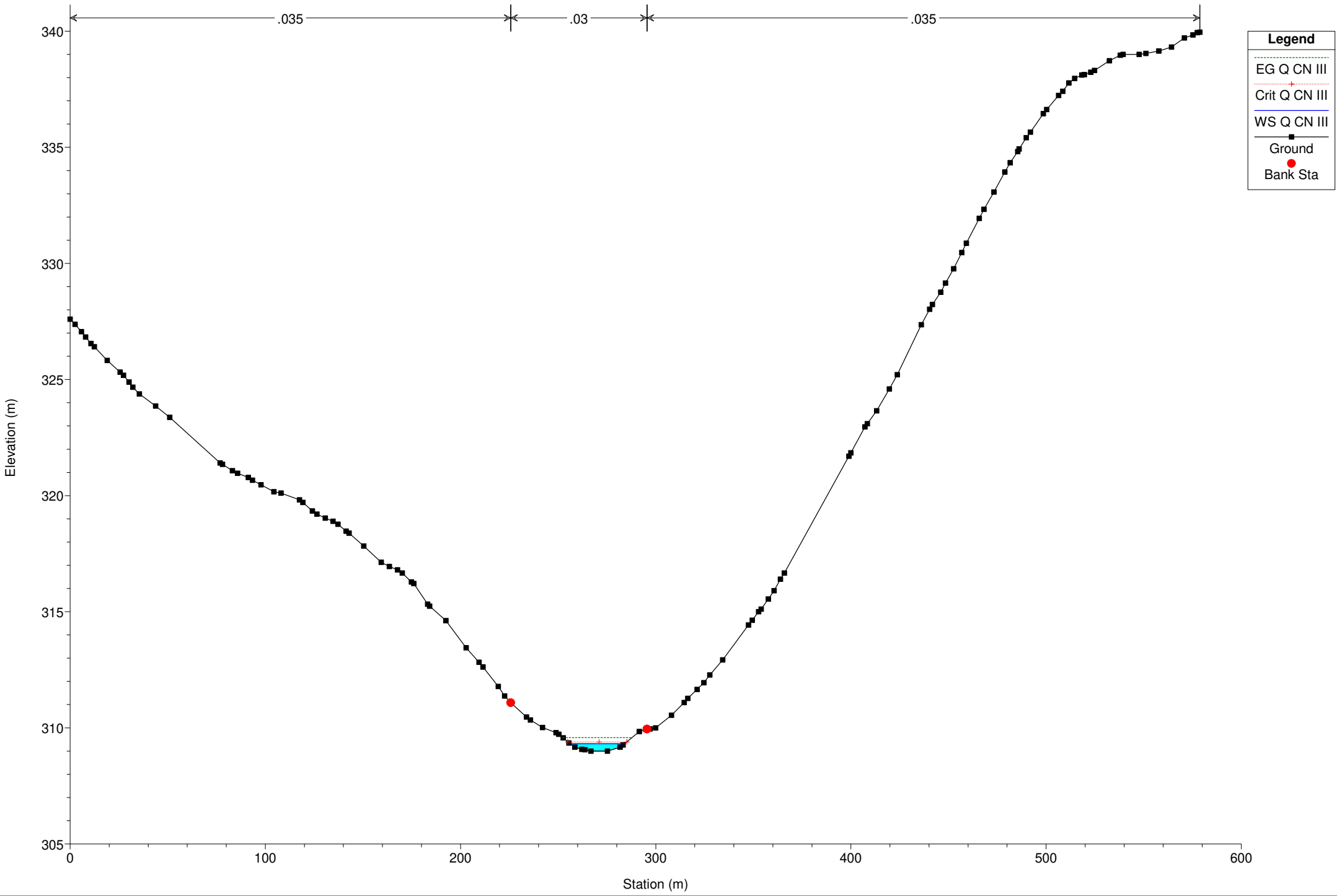
River = River 3 Reach = Reach 3 RS = 640



**Legend**

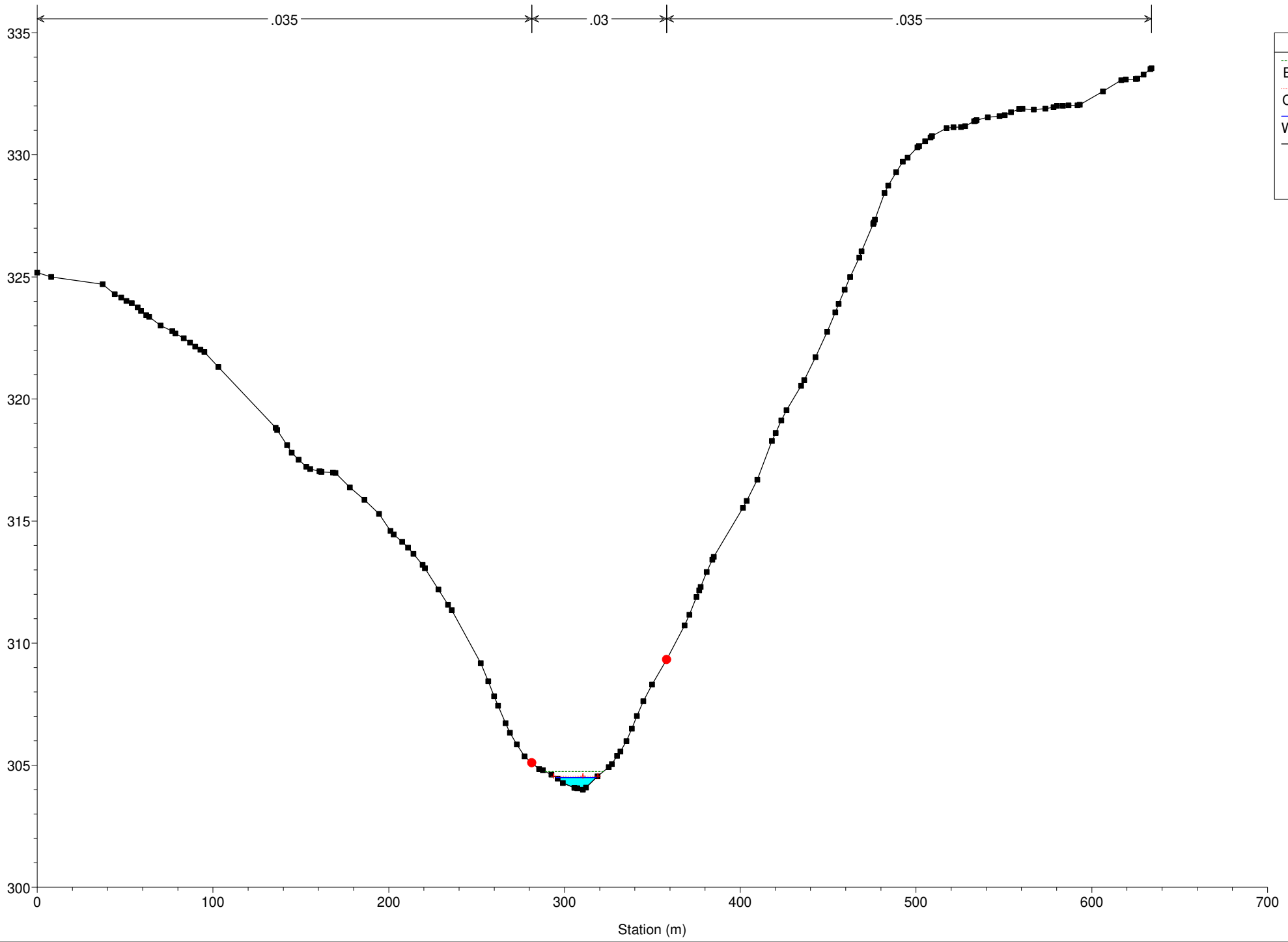
- EG Q CN III
- WS Q CN III
- Crit Q CN III
- Ground
- Bank Sta

Tucci\_Flamia\_01 Plan: Plan 01 11/30/2022  
River = River 3 Reach = Reach 3 RS = 478



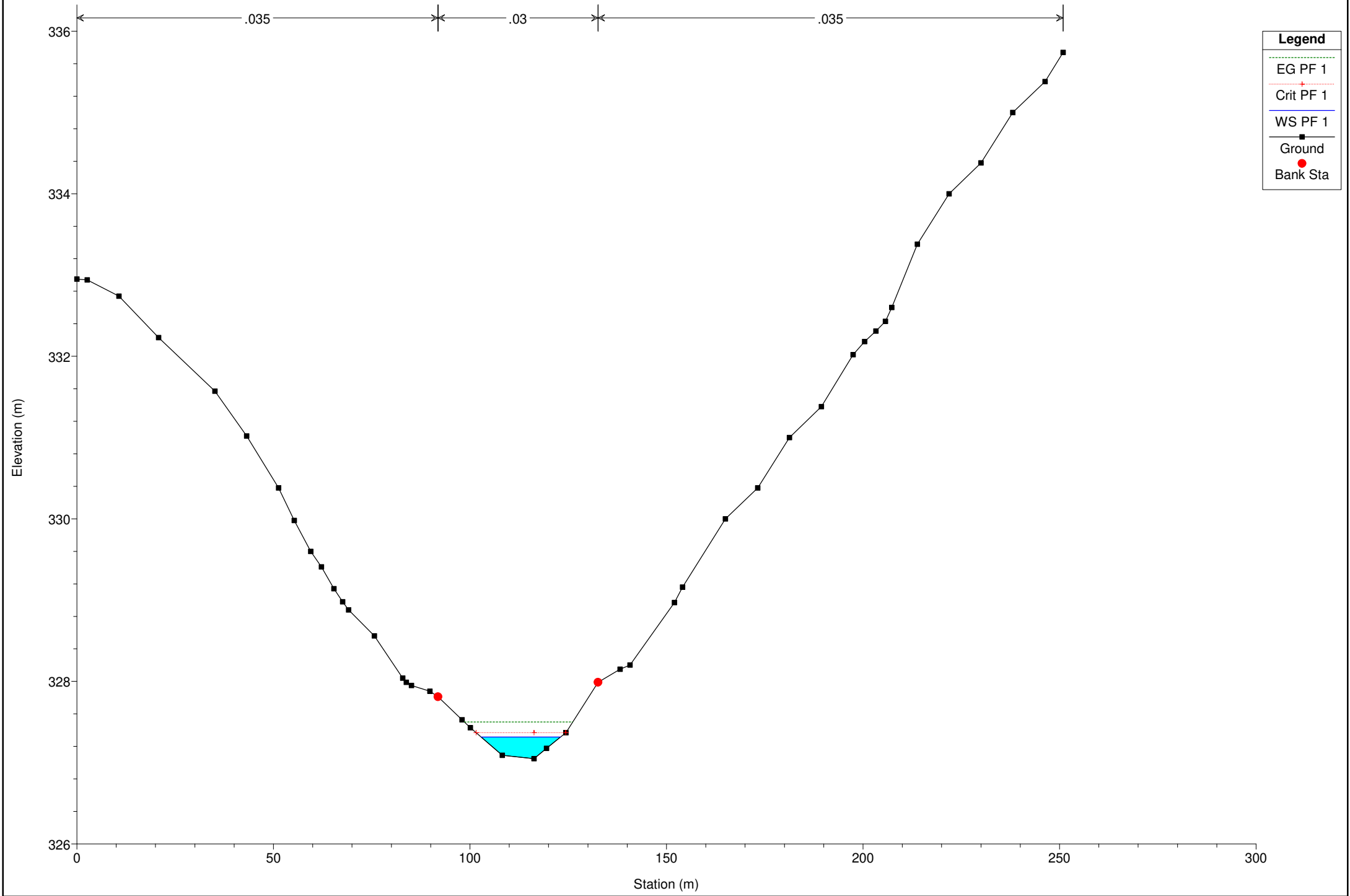
Tucci\_Flamia\_01 Plan: Plan 01 11/30/2022

River = River 3 Reach = Reach 3 RS = 300



**Legend**

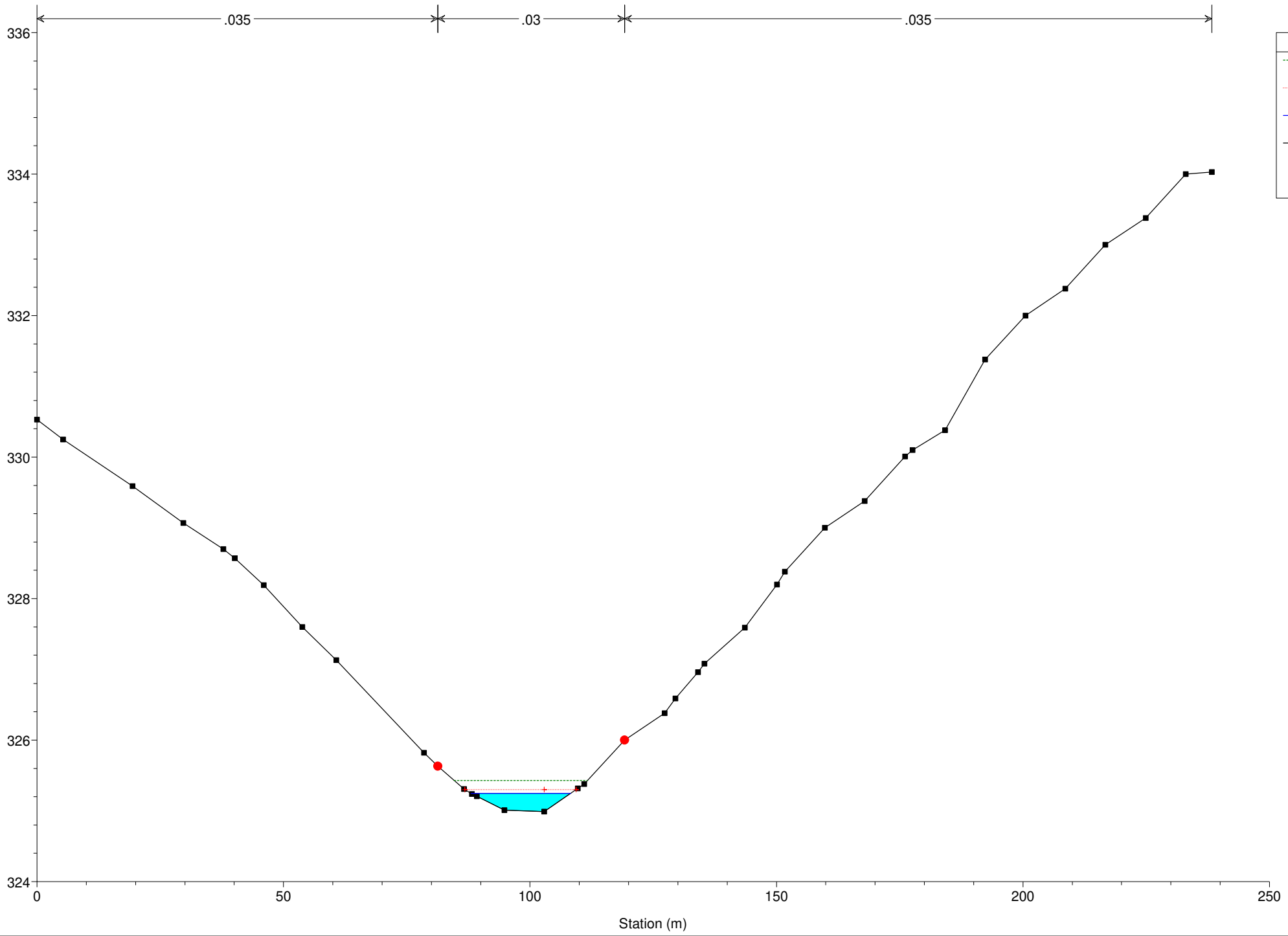
- EG Q CN III
- Crit Q CN III
- WS Q CN III
- Ground
- Bank Sta



**Legend**

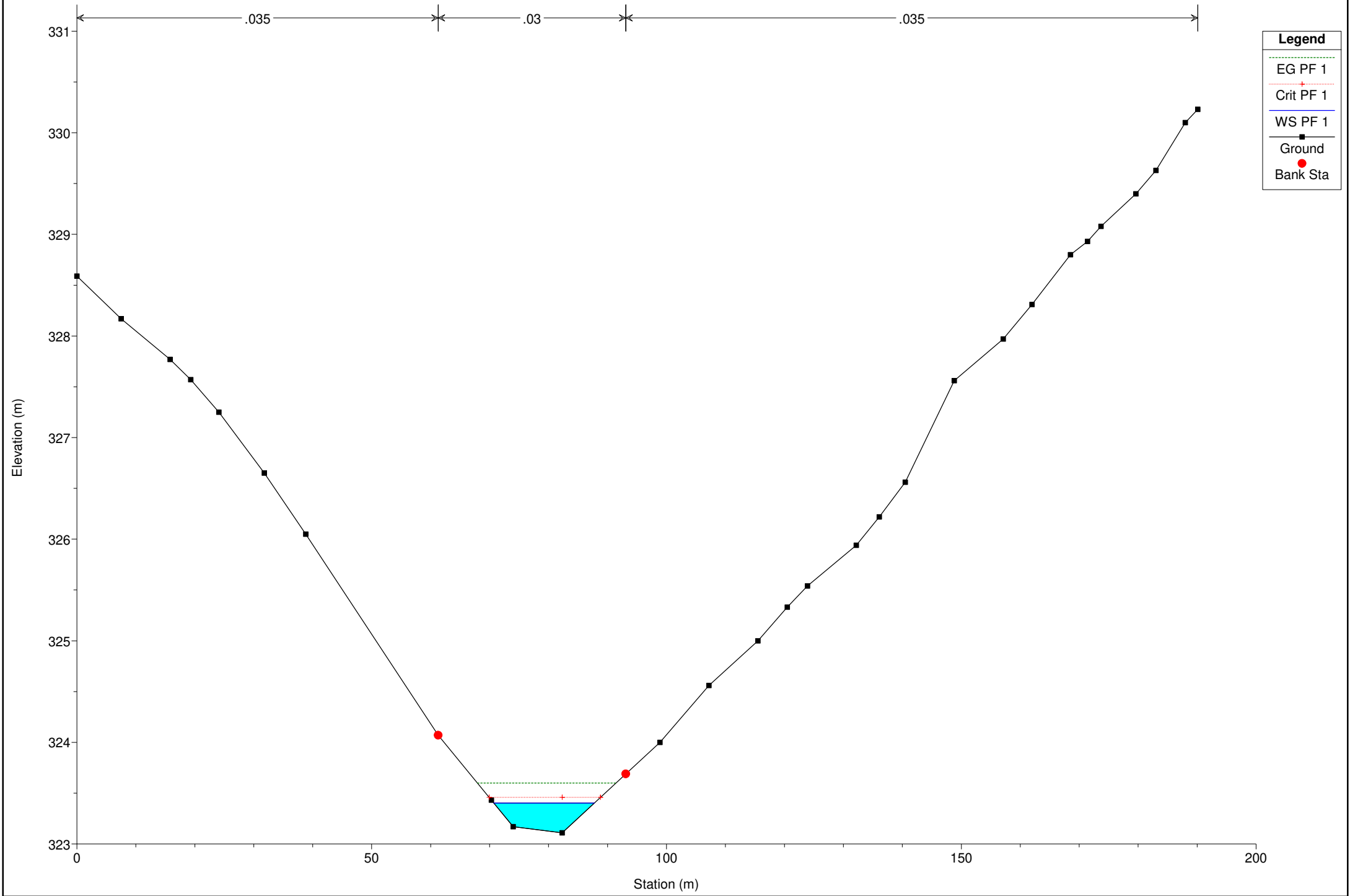
- EG PF 1
- Crit PF 1
- WS PF 1
- Ground
- Bank Sta

Tucci Bacino 7 Plan: Plan 01 12/2/2022  
River = River 1 Reach = Reach 1 RS = 171



**Legend**

- EG PF 1
- Crit PF 1
- WS PF 1
- Ground
- Bank Sta



**Legend**

- EG PF 1 (dotted green line)
- Crit PF 1 (dotted red line)
- WS PF 1 (solid blue line)
- Ground (solid black line with square markers)
- Bank Sta (red dot)

Tucci Bacino 7 Plan: Plan 01 12/2/2022  
River = River 1 Reach = Reach 1 RS = 50

Legend	
EG PF 1	
Crit PF 1	
WS PF 1	
Ground	
Bank Sta	

